

Vol.17 No.3 2001

Journal of Japanese Society of Pediatric Radiology

# 日本小児放射線学会雑誌



特集/小児腹部腫瘍の画像診断と放射線治療

原著論文

症例報告

日小放誌 J.J.S.P.R.

日本小児放射線学会



# Journal of Japanese Society of

# Pediatric Radiology



### Edited by

Ehiichi Kohda, M.D. Noriko Aida, M.D.

Teruyoshi Amagai, M.D. Kazuteru Kawasaki, M.D.

Hiroyuki Kobayashi, M.D. Masato Takase, M.D.

# **CONTENTS**

Special Articles Diagnostic imaging and radiation therapy t	for children with abdominal tumor
Introduction ·····	······ Kimio Kanegawa ·····3
1. Imaging Diagnosis of Pediatric Abdominal Tumor	
-liver, gall bladder, pancreas, intestine-	····· Masanori Nishikawa ·····4
2. Diagnostic Imaging for Pediatric Radiation Oncology · · · · · · · ·	Hidekazu Masaki ·····12
3. Nuclear Medicine for Pediatric Abdominal Tumors	······ Chio Okuyama, et al. ·····25
4. Imaging Characteristics of Abdominal Tumor	
—Adrenal Gland and Genitourinary Tract— ·····	···· Shunsuke Nosaka, et al. ·····33
State of the Art	
Evaluation of Impalpable Testis with MRA Imaging	
	····· Yoshiharu Satoh, et al. ·····47
Case Report	
Percutaneous Cystgastrostomy and Balloon Dilatation for a Ped	iatric Patient with
Pancreatic Pseudocyst—A case report—	···· Osamu Miyazaki et al ·····52



# 日本小児放射線学会雑誌

Journal of
Japanese Society of Pediatric Radiology



# 目 次

特集 小児腹部腫瘍の画像診断と放射線治療
特集を企画するにあたって
2. 小児放射線治療のための画像診断 正木英一12
3. 小児腹部腫瘍の核医学診断
4. 小児腹部腫瘍の画像診断一副腎・泌尿生殖器一野坂俊介,他33
原 著 論 文 MRAを用いたImpalpable testisの部位診断法
<b>症 例 報 告</b> バルーン拡張併用経皮経胃嚢胞ドレナージが有用であった膵仮性嚢胞の 1 例
日本小児放射線学会雑誌投稿規定

# 小児腹部腫瘍の画像診断と放射線治療 Diagnostic imaging and radiation therapy for children with abdominal tumor

### 特集を企画するにあたって

金川公夫 兵庫県立こども病院 放射線科

Kimio Kanegawa Department of Radiology, Kobe Children's Hospital

小児の腹部腫瘍は比較的よく遭遇する疾患で あり、画像診断が診断や治療法の選択に重要な 役割を果たしている。超音波検査が第一選択の 検査法として行われ、さらにCT、MRIといっ た非侵襲的検査で腫瘍の情報が詳しくわかるよ うになり、血管造影はinterventionの目的以外 にはほとんど行われなくなるなど、術前検査の 適応も変化してきた。核医学検査ではMIBGシ ンチグラフィの登場で神経芽腫の診断や治療効 果判定を容易に行うことが可能になった。また、 今後、造影MRAがある程度、血管造影の代役 を果たす可能性や腫瘍の抗癌剤耐性の把握に有 用な99mTc-MIBIの小児への応用などの新しい技 術も期待される。放射線治療においても粒子線 治療が成人では施行されつつあり、いずれ小児 にも広く応用されることになると思われ、新し い局面を迎えつつある。

今回, 小児腹部腫瘍の画像診断を再整理する ために特集を企画した。小児腹部腫瘍の画像診 断はいくつかの教科書に記載されているが、超 音波検査, CT, MRIについては詳しく記載さ れていても、核医学や放射線治療に関する画像 診断まで記載されているものはほとんどないた め、これらの項目を含めた特集にした。

腹部腫瘍の画像診断、核医学診断、放射線治 療のための画像診断について、4人のエキスパー トの先生方に御執筆をお願いした。腹部腫瘍の 画像診断では超音波検査、CT、MRIを中心にし て、各疾患の画像所見の特徴を、大阪府立母子 総合医療センター放射線科の西川正則先生と国 立小児病院放射線科の野坂俊介先生に、核医学 診断では腹部腫瘍に用いられるシンチグラフィ の適応とその限界を京都府立医科大学放射線科 の奥山智緒先生に,放射線治療のための画像診 断については放射線治療を行うのに必要な画像 診断と治療効果判定について国立小児病院の正 木英一先生に御執筆いただいた。

画像診断の方法は施設に応じてかなりばらつ きがあるようである。非侵襲的で必要最小限の 検査を行うことが重要であるが、検査法の適応 とその限界について知っておき、適切な検査を 選択する必要がある。しかし、放射線科医でも 超音波検査、CT、MRIはよく知っているが、核 医学や放射線治療は苦手と言う人もおり、主治 医になる小児科や小児外科の先生方がこれらす べての適応や限界を知ることは容易ではない。 そのような時に今回の特集を見て、日常診療に 役立てていただければと思う。

# 小児腹部腫瘍の画像診断と放射線治療

# 1. 小児腹部腫瘤の画像診断一肝・胆・膵・消化管

### 西川正則

大阪府立母子保健総合医療センター 放射線科

### Imaging Diagnosis of Pediatric Abdominal Tumor -liver, gall bladder, pancreas, intestine-

### Masanori Nishikawa

Department of Radiology, Osaka Medical Center and Research Institute for Maternal and Child Health

### Abstract

The purpose of this paper is to provide an overview of the imaging diagnosis of the pediatric abdominal tumor, especially in liver, bile duct, pancreas, and GI tract.

Most abdominal tumor in children are first identified by palpation of a mass. Ultrasound, CT, and MRI are useful in evaluation of the origin, morphology, tissue characteristics and the extent of the masses. The frequency of the tumor, patient age, and the specific tumor marker are useful to limit the number of the differential diagnostic possibilities. The role of the imaging diagnosis is not only to differentiate the diagnosis of the tumors but also to evaluate the extension of the tumor.

Keywords: Abdominal mass, Children, Imaging diagnosis

### はじめに

この稿では小児の腹部腫瘤のうち、肝臓、胆 嚢, 膵臓領域および消化管領域の腫瘤について, 超音波検査(US), CT, MRIを中心とした画像 診断について、概論を述べる.

腫瘤性病変の画像診断は、通常まず原発臓器 の目安がつけられ、各原発臓器別に頻度の高い 順に、各腫瘍の特徴的な画像所見の合致を探し ていく作業が行われる. 以下, 各原発臓器別に 画像診断・鑑別診断を述べる.

### 肝臓腫瘍の画像診断

### 1) 各肝臓腫瘍の特徴

肝臓原発腫瘍は約2/3が悪性で、通常はhepatoblastomaあるいはhepatocellular carcinomaであ る. fibrolamellar hepatocellular carcinomaや undifferentiated (embryonal) sarcomaはまれ である。

Hepatoblastomaは 3 歳以下, hepatocellular carcinomaは 5 歳以降に多い1). 両者の画像で の鑑別は困難である.

いずれも肝内に単発あるいは多発性に発生し、 US上は不均一なエコー輝度を示す充実性腫瘤と して認められる. CT上は単純では低濃度を呈し、 造影剤投与後,動脈相では増強され、門脈・静 脈相では不均一な低濃度の腫瘤として描出され る (Fig.1). 線維性の偽被膜がhepatocellular carcinomaでみられることがある. 石灰化は hepatoblastomaの40%に、hepatocellular carcinomaの 5~10%に認められる。MRIでは T1WIで不均一な低信号、T2WIで不均一な高信 号を呈する. それぞれの画像で腫瘍内部の出血 や壊死に相当する修飾がみられる.

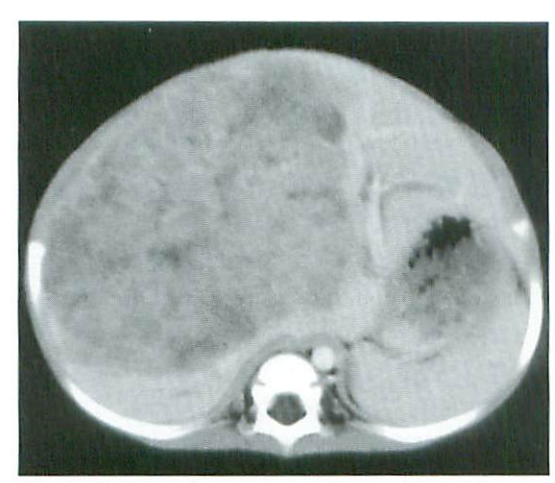


Fig.1 Hepatoblastoma, a 1-year-old girl Enhanced CT shows inhomogeneous mass in the right hepatic lobe.

腫瘍マーカーの  $\alpha$ -fetoproteinは, hepatoblastoma 060~70% c. hepatocellular carcinoma の50%で上昇がみられる.

基礎疾患として、hepatoblastomaはBeckwith-Wiedemann syndrome, fetal alcohol syndrome, hemihypertrophyなどに、hepatocellular carcinomaはB型肝炎をはじめとする慢性肝疾患 (type I 糖原病、シスチン症、高チロシン血症、 ウィルソン病, alpha-1-antitrypsin deficiency, 胆道閉鎖症, giant cell hepatitis) に合併する ことが知られている.

Fibrolamellar hepatocellular carcinomaは, 通 常5歳以降で、若年成人に多くみられ、診断時 の平均年齢は23~28歳である. 単純CTでは低 濃度、MRIではT1WIで低信号、T2WIでは高信 号を示す比較的均一な腫瘍で、造影剤では種々 の程度の増強効果を示す。中心部に線維性の central scarが30~45%にみられ、同部に石灰化 がよくみられる (40~55%). Central scarは MRIではT1WI, T2WIともに低信号にみえる. α-fetoproteinは上昇せず、明らかな基礎疾患も 知られていない.

Undifferentiated (embryonal) sarcomalt, 境界明瞭な低濃度の腫瘤で内部に隔壁構造や. エンハンスされる充実部分などが認められる.

良性腫瘍は、肝臓腫瘍の約1/3を占め、mesenchymal originとepithelial originに大別され

る. mesenchymal originではhemangioendothelioma, cavernous hemangioma, mesenchymal hamartomaが挙げられ, epithelial originでは, FNH (focal nodular hyperplasia), adenoma, cvstなどが挙げられる.

これらのなかでは血管原性のものが最も多く 認められる.

Hemangioendotheliomaは生後 6 ヵ月以内に その85%以上が、うっ血性心不全や肝腫大、貧 血、閉塞性黄疸、Kasabach-Merritt syndrome などで発見される。約半数に皮膚の血管腫を合 併している. 肝内に単発あるいは多発性にみら

USでは種々のエコーパターンを呈し、血流 増加のため腹腔動脈・肝動脈は拡張し、それ以 下の大動脈の径は小さくなる.動静脈短絡が多 いと肝静脈も拡張する。単純CTでは低濃度を 呈し、約半数に石灰化を認める、造影剤投与後 は辺縁から中心部に経時的に徐々に造影される パターンが特徴的である (Fig.2). 小さい腫瘤 は均一に造影されるが、大きい腫瘤では中心部 には壊死部分や血栓化した部分が認められ、こ の部分は造影されない、MRIでは、T1WIで低 信号, T2WI で強い高信号を示し、内部の壊死、 血栓化, 石灰化などは種々の信号を示す. 99mTc-HSA を用いたシンチグラムでは腫瘍部に 持続的な集積を認め、診断に有用である。この 腫瘍の自然経過は、最初は増大するが、1歳~ 1 歳半頃のうちに退縮傾向を示すようになると 言われている.

Cavernous hemangiomaはより年長児にみら れる. USでは、境界明瞭な均一な高輝度を示 すことが多く、変性や血栓化、線維化などに 伴って不均一になったり、低輝度になったりす る. また、内部の血流状態により経時的にその エコー輝度が変化することも知られている. 単 純CTでは低濃度を示し、MRIではT1WIで低信 号, T2WI では強い高信号を示す、造影剤投与 後では辺縁の一部の結節状の濃染から中心部へ と拡がっていく造影パターンが特徴的とされる.

Mesenchymal hamartomaは隔壁を有する多 房性腫瘍として見られることが多いが、嚢胞部 分が小さい場合は充実性腫瘤として認められ





Fig.2 Hemangioendothelioma, a 1-day-old

- a: CT scan early after a bolus injection of contrast medium demonstrates intense peripheral enhancement.
- b: Later CT image demonstrates the enhancement proceeding centrally.

る. 血流増加や動静脈短絡のためうっ血性心不 全を呈することもある.

FNHやadenomaは小児肝腫瘍のうち約2% を占め、まれな腫瘍である.

FNHでは典型的には中心部に線維性結合織 からなる星芒状の瘢痕がみられ、線維状の結合 織が周囲に向かって放射状にのびる。単純CT では約半数で中心瘢痕部が低濃度領域として認 められる. 造影剤を投与した動脈相では中心瘢 痕部に動脈をみることもある. MRIでは中心瘢 痕部はT1WIで低信号, T2WIでは高信号にみら れる. コロイド肝シンチでは腫瘍部に集積がみ られた場合は診断的価値がある.

Adenomaはtype I 糖原病, Fanconi anemia, ガラクトース血症に合併することが知られてお り、梗塞、出血、破裂などで腹痛を来すことが ある。造影剤投与後では動脈相で造影され、門 脈・静脈相では周囲肝と同程度前後の造影を示 すなど、特徴的な所見に乏しい.

転移性腫瘍としては, Wilms tumor, neuroblastoma, rhabdomyosarcoma, lymphomaな どからの肝転移が多くみられる.

転移性腫瘍は多くの場合は肝内に多発性に腫 瘤がみられるが、単発のこともある。USでは 多くは低輝度を呈するが,高輝度のこともあり、 時にbull's eve signと呼ばれるようなring状の構 造がみられることもある. びまん性に転移性腫 瘍が見られるとエコー上は不均一なエコーを示 し、腫瘤としての診断が困難なこともある (Fig.3c). 単純CTでは低濃度, MRIのT1WIで は低信号, T2WIでは高信号を示し、中心部の 変性壊死部はより高信号を呈することが多い. 造影剤投与後は早期では辺縁が造影され後期で は低濃度域として描出されることが多いが、よ り高濃度にみえたり、逆に周囲肝実質と同程度 の濃度になり不明瞭化することもある.

### 2) 肝臓腫瘍の鑑別診断

以上, 肝腫瘍の画像の特徴を述べたが, 鑑別 診断は実際には年齢と頻度から大きく絞られて くる. マーカーの上昇がみられた場合はさらに 限られる.

生後まもない時期に巨大肝腫瘍をみた場合. hepatoblastoma, hemangioendothelioma, 転移 性腫瘍 (特にneuroblastoma VI-S) が鑑別に挙 がる、hepatoblastoma, hemangioendothelioma の鑑別は血管原性腫瘍の特徴(血管拡張、造影 パターン、MRIでの強いT2延長、心不全など の症状)があるかどうかで鑑別される、転移性 腫瘍は通常多発性であること、原発腫瘍の存在 などから鑑別できる. Mesenchymal hamartoma で充実性成分が大きいときはhepatoblastomaと の鑑別が困難になる.

乳児期以降では、hepatoblastomaとhepatocellular carcinoma, hemangiomaなどがまず挙 げられるが、hemangiomaは上記血管原性腫瘍の 画像上の特徴がみられるかどうかで比較的容易

に除外できる. hepatoblastoma, hepatocellular carcinomaの両者の鑑別は画像上は困難で、年 齢や基礎疾患などから推定される.

Central scar様の所見がみられた場合は、 fibrolamellar hepatocellular carcinomaとFNHが 挙がってくる。 コロイド肝シンチが鑑別に役立つ。

Adenomaはまれだが、基礎疾患や出血など に基づく症状があった場合,鑑別診断に挙げら れる.

### 胆道系腫瘤の画像診断

胆道系から発生した腫瘤性病変としては. choledochal cystが挙げられる。肝外胆管(総 胆管)の拡張であり、肝内胆管との交通が証明

できれば診断は容易である。通常はUS で診断 容易だが、客観的な観察と膵胆管合流異常の検 索もかねてMRCPが有用である。

ほかに胆道系との交通を証明する手段として は、<sup>99m</sup>Tc-HIDAによる胆道シンチ, DIC-CTな どもある。

右上腹部にみられる嚢胞性腫瘤の鑑別診断の 中に挙げられ, mesenteric cyst, omental cyst, duplication cyst, pancreatic cystなどとの鑑別 で問題となることがある.

Cholangiocarcinomaの発生が知られており、 年齢が長じた例では内部の充実性腫瘤の有無に 注意する必要もある (Fig.3)<sup>2)</sup>.



Cholangiocarcinoma arising in the choledochal cyst with hepatic metastases, a b c d a 14-vear-old girl

- a: Axial T2 weighted image shows multiple hepatic masses.
- b: Axial T2 weighted image shows dilated common bile duct. Note the irregular inner surface of the wall.
- c: Transverse sonogram demonstrates inhomogeneous liver parenchyma. Note no definite hepatic mass reveals, whereas MRI revealed multiple hepatic masses.
- d: Transverse sonogram shows the tumor in the wall of dilated common bile duct.

### 膵臓腫瘍の画像診断

### 1) 各膵臓腫瘍の特徴

膵臓原発の腫瘍は大きくexocrine tumor, endocrine tumor, cystic tumorの3つに分けら れる.

Exocrine tumorとしては, pancreatoblastoma, adenocarcinomaが挙げられる.

Pancreatoblastoma は平均 6 歳で発見されて おり、膵臓のどの部分からも発生する. αfetoproteinは25~55%で上昇し、副腎皮質ホル モンを分泌しそれによる症状を呈することもあ る<sup>3)</sup>. 辺縁はlobulateしたような形態を示し、 大きい場合は周囲の臓器へ進展し、十二指腸や 左副腎, 左腎, 脾臓などへの浸潤もみられる. 内部には壊死や石灰化を伴い、リンパ節、肝臓、 肺への転移が見られる. 膵管の拡張はまれであ る. USでは不均一なエコー輝度を呈し、単純 CTでは低濃度, MRIではT1WIで低信号, T2WIで等高信号を示す. 造影剤では軽度増強 される.

Adenocarcinomal ductal origin, acinar cell originいずれもあるが、pancreatoblastomaとの 鑑別は困難とされる。ductal adenocarcinomaは 通常は小さく、 膵頭部に発生することが多く、 膵管の拡張を伴うことが多い. 壊死や石灰化は 少ないが大きくなると壊死を伴う. 造影早期相 では低濃度にみられる. acinar cell carcinoma は通常は大きく造影剤でよく増強され、壊死部 は低濃度を呈する。周囲組織に浸潤性に発育す ることもあり、肝臓やリンパ節への転移もみら れる. 石灰化や肺への転移は少ない4).

Endocrine tumorには、functioning tumorと して, insulinoma, gastrinoma, VIPoma, glucagonoma, somatostatinomaが挙げられる. 通常,前2者は小さく(2㎝以下),後3者は大 きい(5 cm以上)ことが多い.

Nonfunctioning tumorは発見時大きく(4cm 以上), 壊死や石灰化を伴っていることが多い. sizeが大きければ大きいほど転移や周囲への浸 潤などの悪性所見がみられるようになる.

これらのislet cell tumorはいずれも造影剤投 与後早期ではよく造影される.

嚢胞性腫瘤としてはcongenital cyst, lymphangioma, cystadenoma (microcystic adenoma) が 挙げられ、これらの画像上の鑑別は困難である.

Solid and cystic (solid and papillary epithelial) tumor of the pancreasは、10歳代以降の若年女 性に多くみられ, low gradeのmalignant tumor として扱われる. 膵尾部に多いが, どの部分か らも発生する. 画像的には嚢胞性腫瘍内に充実 成分の混在した腫瘤として認められる。充実部 分は造影剤で増強され, 嚢胞部分は種々の程度 の出血や嚢胞変性を反映したものとなる. 腫瘍 内の出血成分はMRIで容易に認識できメトヘモ グロビンが存在すれば、T1WIで高信号を呈す る (Fig.4).

そのほかには、膵炎、外傷後にpseudocystが みられることが多く, von Hippel-Lindau病では 膵臓にcystが多発性にみられることがある.

### 2) 膵臓腫瘍の鑑別診断

膵臓に充実性の腫瘍をみた場合, pancreatoblastomaをはじめ、上述の腫瘍が鑑別診断に挙 がる. いずれも鑑別診断は困難だが, 特に pancreatoblastomaが大きく浸潤傾向を示した 場合は、neuroblastomaとの鑑別が難しい場合



Fig.4 Solid and papillary epithelial tumor of the pancreas, a 12-year-old boy

Coronal T1 weighted image shows the tumor with solid and cystic component in the pancreatic tail. The latter shows high intensity reflecting hemorrhage.

がある. ductal adenocarcinomaやacinar cell carcinomaとの鑑別は、これらには石灰化が少 ないことや、ductal adenocarcinomaでは膵管拡 張がみられることが多いのに対し、pancreatoblastomaでは腫瘍が大きい割に膵管拡張はほと んどみられないことなどが鑑別点になる.

膵尾部に出血を含んだ嚢胞成分を伴う腫瘤を みた場合は, solid and cystic (solid and papillary epithelial) tumorの可能性が高い. 特 に女児であればその可能性はさらに高くなる.

### 消化管

### 1) 各消化管・腸間膜腫瘍の特徴

小児の消化管原発の充実性腫瘍のなかで最も 多いのはmalignant lymphomaである。消化管 の壁のびまん性あるいは限局性の肥厚像として 認められる (Fig.5), これはUS, CT, MRIの いずれでも認められる. USでは均一な非常に 低輝度の壁肥厚像が認められ、CT、MRIでは 造影剤による増強効果は乏しい. 同時に他の部 位のinvolvementとして、腸間膜や傍大動脈領 域のリンパ節の腫大や実質臓器内の占拠病変あ るいは臓器の腫大などが認められる (Fig.5). 腸間膜リンパ節の腫大では血管を挟むような特 徴的な像(sandwich sign5))がよく知られている.

他の充実性腫瘍としてはleiomyoma, hamartoma, hemangiomaなどが挙げられる. 前2者 は球形の均一な腫瘤として認められる. leiomyomaでは石灰化がみられることもある. hemangiomaは腸管壁の限局性あるいびまん性の肥厚 としてみられ、造影剤でよく造影される. leiomyosarcoma, adenocarcinomaは非常にま れである.

嚢胞性腫瘤としては、duplication cystが挙げ られる. 壁の平滑な嚢胞性腫瘤として認められ る. USでは内面に粘膜に相当する一層の高輝 度帯が認められることが特徴的とされる. 異所 性の胃粘膜あるいは膵組織を伴っていることが あり、これにより出血や炎症などを伴うとそれ による内部の液体の性状が変化し、US, CT, MRIではそれを反映した輝度や濃度、信号の変 化がみとめられる. 胃の嚢胞性腫瘤としては cystic teratomaも挙げられる. 嚢胞成分と石灰

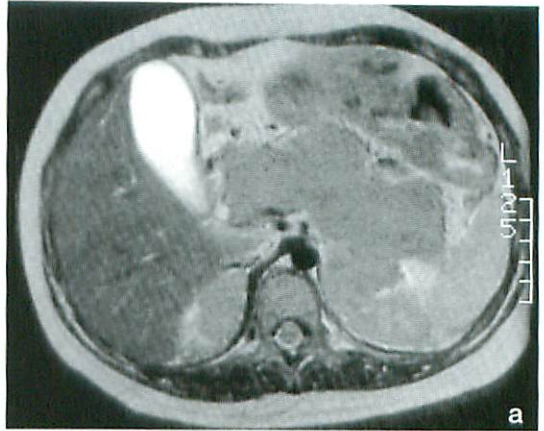




Fig.5 Malignant lymphoma, a 9-year-old boy a: Axial T2 weighted image demonstrates

diffuse swelling of the pancreas and bilateral adrenal masses. Distinction from neuroblastoma or pancreatoblastoma is difficult.

b: Contrast enhanced axial T1WI shows bowel wall thickening, suggesting malignant lymphoma because of its multi-organ involvement.

### 化、脂肪成分などが混在する.

腸間膜由来の嚢胞性腫瘤としては、mesenteric cyst, omental cystが挙げられ、形態的に 多房性嚢胞性腫瘤として認められる. 腫瘤内部 の隔壁はUSで最もよく描出できる。出血や炎 症を伴うとUS, CT, MRIではそれによる輝度 や濃度、信号の変化が認められる。石灰化は認 められることもあるが、まれである.

腸間膜由来の充実性腫瘤としては、lipoblastoma, inflammatory pseudotumor (inflammatory myofibroblastic tumor), rhabdomyosarcoma, mesotheliomaなどが挙げられる. Lipoblastoma は線維性の隔壁を伴った脂肪組織の腫瘤で、脂 肪組織と軟部組織の混在する不均一な濃度・信 号を呈する腫瘤として認められる。他の腫瘤は 不均一な軟部組織腫瘤としての画像を呈し,特 異的な所見には乏しい.

### 2) 消化管・腸間膜腫瘍の鑑別診断

これらの腫瘍の鑑別診断で問題となるのは. 原発臓器が特定できない場合に多い.

嚢胞性腫瘤では右上腹部でのcholedochal cyst との鑑別, 骨盤腔内前方部では卵巣のcystや teratoma, 膣や子宮の留水(血)腫, urachal cyst などとの鑑別、骨盤腔内後方すなわち仙骨前面 ではsacrococcygeal teratoma, anterior meningoceleなどとの鑑別が困難なことがある. 充実 性腫瘤ではneuroblastoma, PNET (primitive neuroectodermal tumor) や, 骨盤腔内では膣, 前立腺、膀胱、尿道などから発生したrhabdomyosarcomaなどとの鑑別が困難となることがある.

骨盤腔内の正常構造の確認、それらの圧排や 偏位の状態などをみるにはMRIが適しており、 腫瘍の石灰化の有無をみるにはCTが適してい る. 消化管の状態をみるために消化管造影が必 要なこともある.

Mesenteric cyst, omental cystでは、CT, MRIでは単房性にみえても, USでは内部の隔壁 構造が描出できる場合があり、他の嚢胞性腫瘤 との鑑別の際に有用である. これらに石灰化が 見られた場合はteratomaとの鑑別が困難となっ たり、感染・炎症や出血を合併していると内部 構造が変化し、鑑別診断が困難になることもあ る (Fig.6).

### おわりに

小児腹部腫瘍のうち、肝、胆、膵、消化管領 域に関して、断層画像の特徴的所見、鑑別診断 を中心に述べた.

一般に小児の腫瘍は大きくなった状態で発見 され、原発臓器の同定が困難なことが多い。原 発臓器が同定できれば、頻度的にまれなものは 通常は考えないので、あとの鑑別診断は比較的 限られてくることになる。比較的特異的なマー カーもあり、これらを参考にするとそれほど問



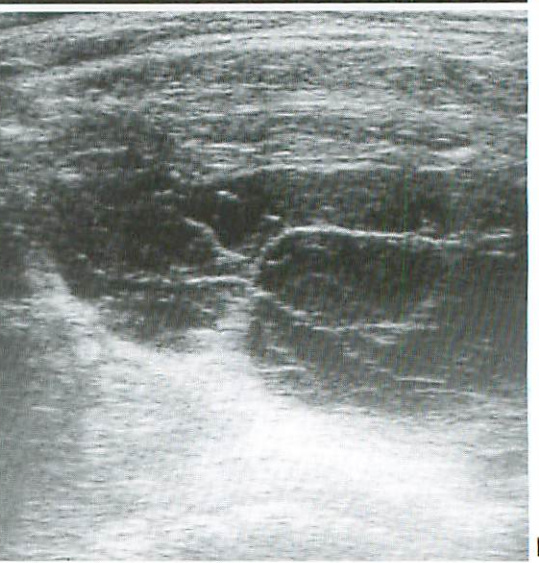


Fig.6 Complicated duplication cyst, a 5-yearold girl with abdominal pain and fever

- a: Contrast enhanced CT shows a cystic mass in the pelvic cavity. The wall of the mass is slightly enhanced. Ovarian mass, mesenteric/omental cyst, and duplication cyst are considered in the differential diagnosis.
- b: Transverse sonogram shows cystic mass with multiple septations. Duplication cyst usually is a sonolucent mass with/without inner echogenic layer and outer hypoechoic rim of muscle. When the cyst becomes infected or undergoes hemorrhage, the internal contents have echogenic debris or septations.

題となることは少ないように思う.

しかし、画像診断にはやはりおのずと限界が あり、当然のことながら腫瘍の診断確定は病理 診断によらざるをえない、画像診断には腫瘍の 進展範囲の正確な評価も重要な役割であること を強調してこの項を終えたい.

### ●文献

- Siegel MJ: Liver and Biliary Tract. Pediatric Sonography (2nd ed), Ed by Siegel MJ. New York, Raven Press, 1995, p171-236.
- 戸谷拓二,土岐 彰;胆道拡張症における癌 発生とその対策。日外会誌 1996;97:594-598
- Roebuck DJ, Yuen MK, Wong YC, et al: Imaging features of pacreatoblastoma. Pediatr Radiol 2001; 31:501-506.
- Montemarano H, Lonergan GJ, Bulas DI, et al: Pancreatoblastoma: imaging findings in 10 patients and review of the leterature. Radiol 2000; 214: 476-482.
- Mueller PR, Ferrucci JT, et al: Appearance of lymphomatous involvement of mesentery by

- ultrasonography and body computed tomography: The "Sandwich sign". Radiol 1981; 34: 467-473.
- Siegel MJ: Liver and Biliary Tract. Pediatric Body CT. Philadelphia, Lippincott Williams & Wilkins, 1999, p141-174.
- Siegel MJ: Spleen, Peritoneum, and Abdominal Wall. Pediatric Body CT. Philadelphia, Lippincott Williams & Wilkins, 1999, p175-200.
- Siegel MJ: Gastrointestinal Tract. Pediatric Body CT. Philadelphia, Lippincott Williams & Wilkins, 1999, p201-225.
- 9) 井上 豊,村上卓道:肝.画像診断学,中村 仁信編.東京,南山堂,2001,p509-555.
- 10) 細見尚弘, 黒田知純, 村上卓道: 膵. 画像診断学, 中村仁信編. 東京, 南山堂, 2001, p556-580.

# 特集 小児腹部腫瘍の画像診断と放射線治療

# 2. 小児放射線治療のための画像診断

正木英一

国立小児病院 放射線科

# Diagnostic Imaging for Pediatric Radiation Oncology Hidekazu Masaki

Department of Radiology, National Children's Hospital

### **Abstract**

The therapeutic policy for pediatric cancer is a concept of "total cell kill", and radiotherapy developed with combined modality therapy such as systemic chemotherapy and surgery.

Diagnostic radiologists must realize the treatment principles for pediatric cancer and the staging system.

Some cases of pediatric cancer (Wilms tumor, neuroblastoma and rhabdomyosarcoma) are described.

Keywords: Wilms tumor, Neuroblastoma, Rhabdomyosarcoma

### はじめに

小児悪性腫瘍の治療方針はtotal cell killの概念であり、化学療法の全身療法と、手術療法・放射線療法の局所療法をうまく組み合わせた集学的治療が功を奏している。放射線治療のために必要とされている画像診断は、その集学的治療の中で放射線治療がどのように扱われているかを理解し、その腫瘍のstaging systemを理解しなければならない。即ち、初発時の腫瘍範囲が術後照射野として必要になるのか、術前化学療法により縮小した腫瘍範囲を照射野として設定するのか等の放射線腫瘍医が要求する情報を提供しなければならない。

ここに小児腫瘍として代表的なウィルムス腫 瘍,神経芽腫,横紋筋肉腫を提示する.

### ウィルムス腫瘍

ウィルムス腫瘍は年間約50例が小児がん全国

登録に報告されている.この腫瘍はNational Wilms Tumor Study(NWTS)のrandomized trialにより,現在では治癒するものとなった.stagingは日本ではNWTS病期分類(Table 1)に準じた日本小児外科学会分類が用いられている.化学療法の強化とともに,放射線治療線量は軽減化し,ほとんど放射線の合併症を問題にしなくてすむようになった(Table 2)1.2).

### 症例 1. ウィルムス腫瘍, 3 歳女児, stage Ⅲ

腹部腫瘍で来院し、CTスキャン、血管造影にてウィルムス腫瘍と診断され、一期的手術が施行された。現在の腫瘍診断には血管造影は行われないが、この腫瘍のようにCTスキャンのみでは肝腫瘍、副腎腫瘍、腎腫瘍の鑑別が難しい場合には血管造影が適応となる。この腫瘍は右腎動脈から栄養される腫瘍であることが明らかとなっている(Fig.1a)。通常下大静脈造影は行われないが、この腎腫瘍は右腎静脈から下大静脈に腫瘍栓塞が一部突出しているのが分か

### Table 1 National Wilms Tumor Study (NWTS) Staging System

### Stage I (43% of patients)

The tumor is limited to the kidney and was completely excised. The renal capsule has an intact outer surface. The tumor was not ruptured or biopsied prior to removal. The vessels of the renal sinus are not involved. There is no evidence of tumor at or beyond the margins of exsection.

### Stage II (23% of patients)

The tumor extends beyond the kidney, but was completely resected. There is regional extension of tumor (i.e., penetration of the renal capsule, or extensive invasion of the renal sinus). The blood vessels outside the renal parenchyma, including those of the renal sinus, contain tumor. The tumor was biopsied (except for fine needle aspiration), or there was spillage of tumor before or during surgery that is confined to the flank, and does not involved the peritoneal surface. There is no evidence of tumor at or beyond the margins of resection.

### Stage II (23% of patients)

Residual non-hematogenous is present, and confined to the abdomen. Any one of the following may occur:

- Lymph nodes within the abdomen or pelvis are found to be involved by tumor. (renal hilus, paraaortic chains or beyond). (Lymph node involvement in the thorax, or other extra-abdominal sites would be a criterion for stage IV).
- 2. The tumor penetrated through the peritoneal surface.
- 3. Tumor implants are found on the peritoneal surface.
- Gross or microscopic tumor remains post-operatively (e.g., tumor cells are found at the margin of surgical resection on microscopic examination).
- 5. The tumor is not completely resectable because of local infiltration into vital structures.
- 6. Tumor spill not confined to the flank occurred either before or during surgery.

### Stage V (10% of patients)

Hematogenous metastases (lung, liver, bone, brain, etc.), or lymph node metastases outside the abdomino-pelvic region are present.

### Stage V (5% of patients)

Bilateral renal involvement is present at diagnosis,

### Table 2 National Wilms Tumor Study - 5 protocol

stage I /favorable ———————less than 24 mc		— no RT ——— no CT weighing less than 550g.	
stage I /favorable — more than 24 n I /anaplasia(focal of dif	nonths, tumor	— no RT ——— EE-4A weighing more than 550	
stage II /favorable —	— surgery —	— no RT ——— EE-4A	AMD+VCR (18 weeks)
stage II / favorable ————stage II - III / anaplasia (focal) —		— 1080cGy —— DD-4A	AMD+VCR+ADR (24 weeks)
stage IV / favorable — stage IV / anaplasia (focal) —		— 1080cGy —— DD-4A	AMD+VCR+ADR (24 weeks)
stage I - III / CCSK —	— surgery —	— 1080cGy —— I	AMD+VCR+CPM+VP-16 (24 weeks)
stage II - IV / anaplasia (diffuse)	) – surgery —	— 1080cGy —— I	AMD+VCR+CPM+VP-16 (24 weeks)
stage I -IV/rhabdoid tumor—	— surgery —	— 1080cGy —— RTK	CBDCA+VP-16+CPM (24 weeks)

AMD=dactinomycine (actinomycin D), beginning within 5 days post-nephrectomy (during week 0)

VCR=vincristine, beginning within 7 days post-nephrectomy (during week 1) VP-16=etoposide

ADR=doxorubicin (Adriamycin) CPM=cyclophosphamide CBDCA=carboplatin

Postoperative Radiotherapy: Treatment is started not later than day 9 (the day of surgery is day 0) and given in daily 180 cGy doses five days a week.

り、手術時の腎静脈結紮に際して有用な情報となった(Fig.1b). この時のCT (11秒/1 スライス) では、腫瘍塞栓は不明であったが、最近のマルチスライスやMRIでは検出可能と思われる. 右腎臓下極を圧排する巨大な腫瘍が肝臓をも圧排し、腎臓のビークサインが認められている.

下大静脈を前方に偏位させ、大動脈との間にリンパ節腫大(n1)を認めている(Fig.1c). 放射線治療においてaxial viewとしてのCTスキャン像やMRI像のみでは照射野設定が困難であり、スカウト・ビューにスライス位置情報を画像として残してもらう必要がある.

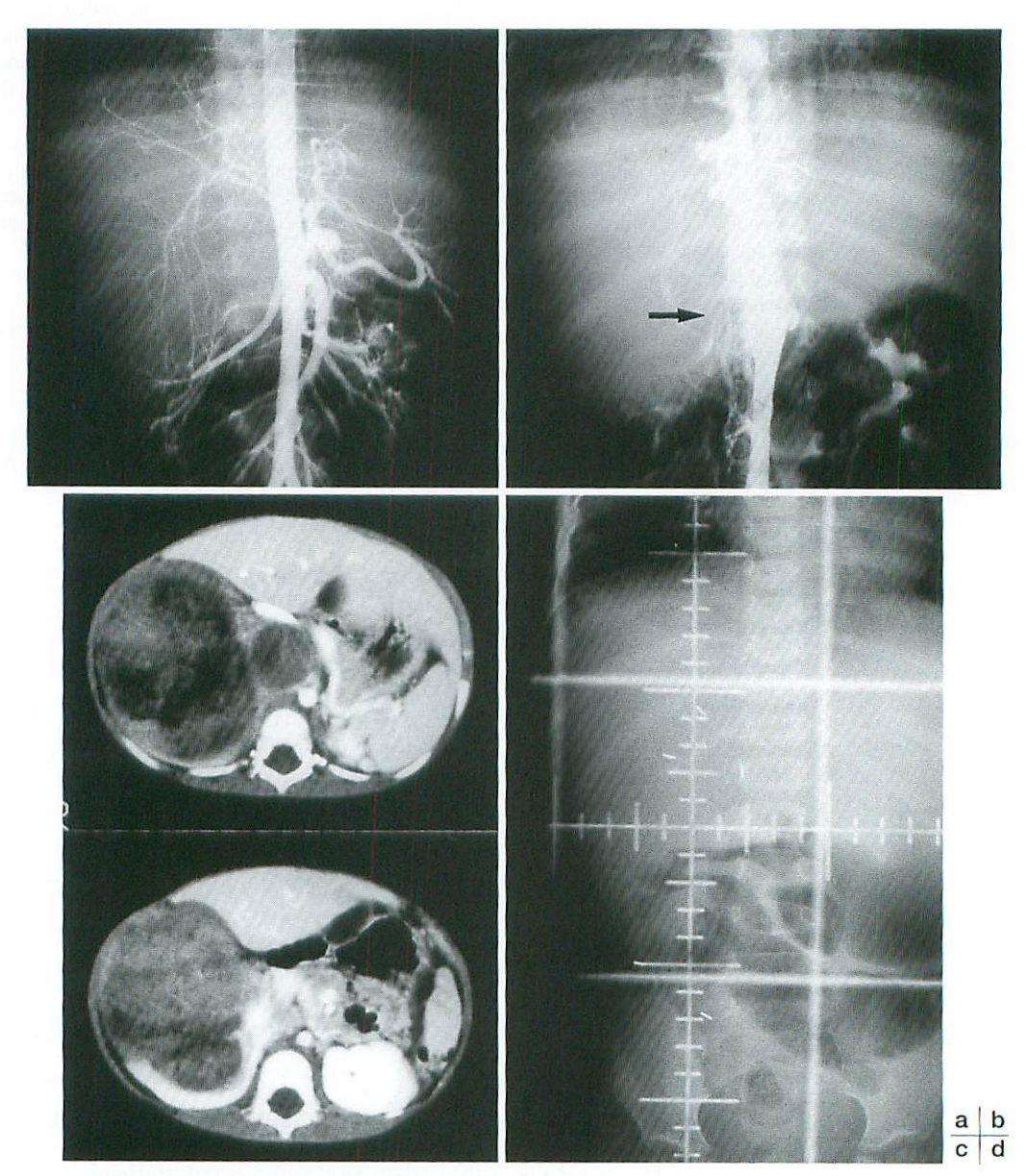


Fig.1 Wilms tumor, a 3-year-old girl, stage II

- a: Aortography revealed tumor feeded by the right renal artery.
- b: IVC-graphy revealed tumor emboli in the right renal vein (arrow).
- c: Enhanced CT scan (at admission) showed beak sign of the kidney.
- d: Simulation film for postoperative radiotherapy.

ウィルムス腫瘍は厚い腎皮膜に覆われているため、皮膜破綻なく全摘可能な腫瘍とされている。この際の放射線治療は術後照射となり、NWTSプロトコールに準じて行われる。術後照射野は術前の腫瘍床、リンパ節転移範囲を充分に含み、患側のみならず対側を含む全椎体を照射野に入れることが必要である。しかし、腎皮膜を破綻することなく全摘できた腫瘍に対しては、NWTSで言われているような側腹壁を照射野に入れる必要はない(Fig.1d)。

# 症例 2. ウィルムス腫瘍, 2 歳 4ヵ月男児, stage N

巨大腹部腫瘤にて近医入院、精査にて多発肺 転移を伴う後腹膜腫瘍と診断され当院転院. 胸 部単純写真にて両肺多発転移を認め (Fig.2a), MRI, CTスキャンにて上腹部から骨盤腔まで占 める巨大な後腹膜腫瘍を認め (Fig.2c, d). そ の腫瘍により急性右尿管閉塞を来しているため (Fig.2b), 腎外瘻術を行った. 開腹生検にて腎 外ウィルムス腫瘍と診断され、NWTS-5に従っ て術前化学療法を開始した。9週後腫瘍が縮小 し (Fig.2e, f), 根治術可能と判断され, 手術 施行するも腹膜播種が認められた. 術後化学療 法は術後6日目から開始し、術後放射線療法は 腹膜播種であるため術後9日目から全腹照射を 開始し(Fig.2g), 術後52日目からは全肺照射を 開始した(Fig.2h). ウィルムス腫瘍の肺転移へ の全肺照射は単純写真で転移が認められた時に 適応とされ、CTスキャンのみで認められるよう な転移には照射の適応がないとされている.

### 神経芽腫

神経芽腫は小児固形腫瘍の中で最も発生頻度の高い腫瘍で年間150~200例発生するとされてきたが、6ヵ月乳児検診時の尿中vanillylmandelic acid (VMA)、homovanillic acid (HVA) 定量によるマススクリーニングにてその発見頻度も高まってきた。早期診断がマススクリーニングにて可能となり、1歳以下のマススクリーニング症例では殆ど治癒するようになったが、進行症例の治療成績は相変わらず悪い。病期分類はEVANS分類に準じた日本小児外科学会分類を日本では用いているが、最近International

Neuroblastoma Staging System (INSS) が国際的に認知された (Table 3). stage I と, stage II でリンパ節転移がなく全摘されたものには術後放射線療法は必要ないが、予後不良因子であるN-myc癌遺伝子の増幅が認められたり、リンパ節転移のあるstage II 以上の進行期には術後放射線療法が必要で、症例により術中照射、全身照射などが適応となる (Table 4)<sup>2,3,4)</sup>.

神経芽腫の発生起源は、胎生期の神経提 (neural crest) 細胞から形成された神経節である. 交感神経節は脊髄の両側に連鎖を形成した交感神経幹となり、その一部が副腎髄質を形成する. これらから神経芽腫が発生するため、マスクリーニング陽性とされた患児の原発巣検索には全身検索が必要となる. 小児の腫瘍検索手段のfirst choiceとされている超音波検査に次いで、I-123 metaiodo-benzylguanidine (MIBG)シンチグラフィが神経芽腫検索の特異的診断となる<sup>5,6</sup>.

### 症例 3. 神経芽腫, 3 歳男児, stageⅢ

腹痛のため近医入院し、CTスキャンにて後腹膜腫瘍と診断され、当院入院となった、CTスキャンにて石灰化を伴う左副腎腫瘍で巨大な一塊となった大動脈リンパ節転移を認める(Fig.3a)、VMA陰性、HVA高値であり、神経芽腫stage IIIと診断し、開腹生検を行った、N-myc70 copies、嶋田分類Unfavorable histologyとされ厚生省班プロトコールによる化学療法4回施行したところ腫瘍縮小効果を認め(Fig.3b)、4ヵ月後に全摘術施行された、術後12日目から術後化学療法を開始し、33日目から術後放射線療法が始められた。

この症例のように化学療法で腫瘍縮小をはかり根治術を行うことは、delayed primary surgery として小児がんでは多くの腫瘍に適応されていることであり、このことにより治療成績が向上してきた経緯がある。放射線治療としても、この化学療法の進歩により照射線量を軽減できるようになってきている。

しかし、術後照射野の設定には、初発時のリンパ節転移巣を含む腫瘍巣を全てカバーすることが必要であり、腫瘍縮小がはかれたからといって照射野縮小は考えられない。但し、なるべく

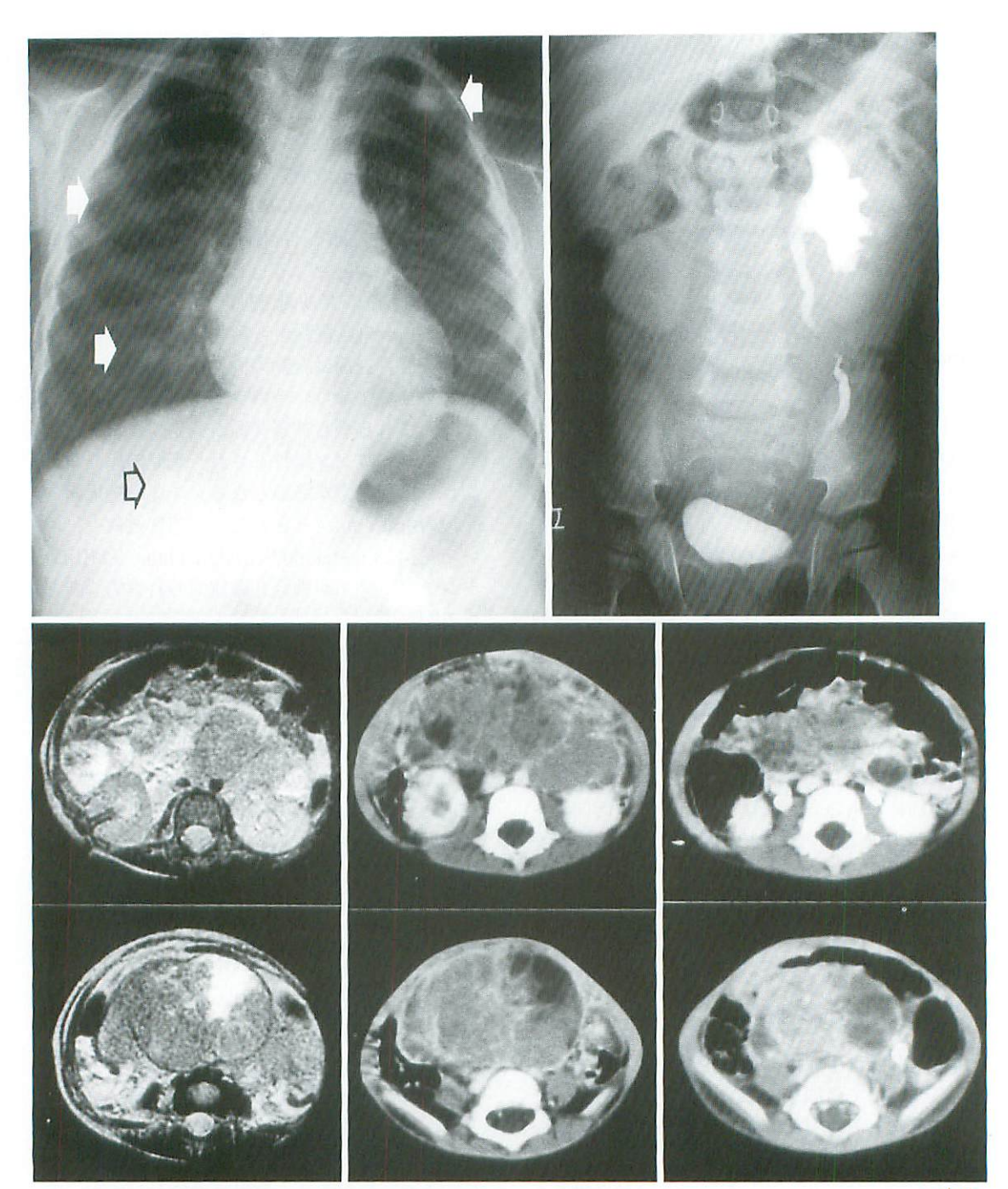
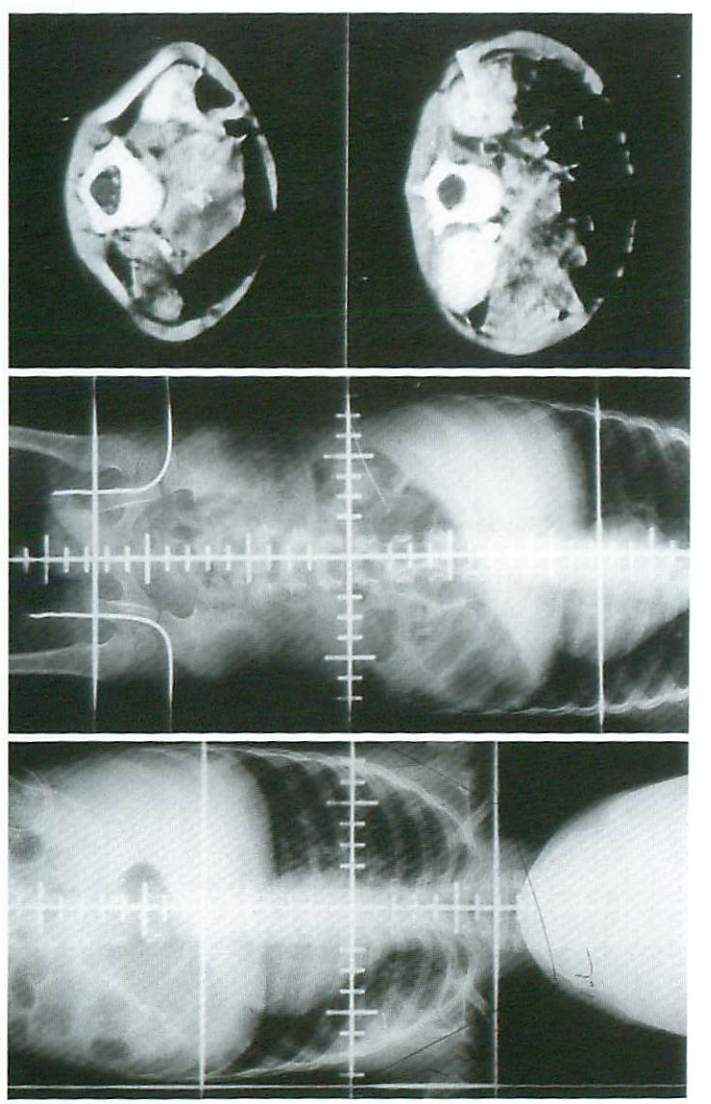


Fig.2 Wilms tumor, a 2-year and 4-month-old boy, stage  $\!\mathbb{N}$ 

a b c d e

- a: Chest X-ray revealed coin lesions (arrows).
- b: EU showed acute urinary tract obstruction and coin lesion in the right lung base.
- c: MRI showed huge high and low intensity mass on T2WI.
- d: Enhanced CT scan showed huge abdominal mass (at admission).
- e: After 4 weeks chemotherapy, CT scan revealed the tumor decreased in size.



f: After 9 weeks' chemotherapy, images indicated radical-operability. CT scan revealed the tumor more decreased in size and these g h

g: Whole abdominal simulation film (started at day 9 (1050cGy/13 fx/10 days)). h: Whole lung simulation film (started at day 52 (1200cGy/16 fx/17days)).

# International Neuroblastoma Staging System (INSS)

- Stage 1: localized tumor with complete gross excision, with or without microscopic residual disease; with the primary tumor may be positive). representative ipsilateral lymph nodes negative for tumor microscopically (nodes attached to and removed
- Stage 2A: localized tumor with incomplete gross excision; representative ipsilateral nonadherent lymph nodes negative for tumor microscopically.
- Stage 2B: localized tumor with incomplete gross excision; representative ipsilateral nonadherent lymph nodes negative for tumor microscopically.
- Stage 3: unresectable unilateral tumor infiltrating across the midline, with or without regional lymph node to or beyond the opposite side of the vertebral column. is defined as the vertebral column. Tumors originating on one side and crossing the midline must infiltrate tumor with bilateral extension by infiltration (unresectable) or by lymph node involvement. The midline involvement; or localized unilateral tumor with contralateral regional lymph node involvement; or midline
- Stage 4: any primary tumor with dissemination to distant lymph nodes, bone, bone marrow, liver, skin, and/or other organs (except as defined for stage 4S).
- Stage 4S: localized primary tumor (as defined for stage 1, 2A, or 2B), with dissemination limited to skin. the bone marrow. results of the meta-iodobenzylguanidine (MIBG) scan (if performed) should be negative for disease minimal (i.e., liver, and/or bone marrow (limited to infants less than 1 year of age). Marrow involvement should be More extensive bone marrow involvement would be considered to be stage 4 disease <10% of total nucleated cells identified as malignant by bone biopsy or by bone marrow

Table 4 Protocol for Neuroblastoma in National Children's Hospital

stage I -		— S (CR)—	— no RT —	- no CT or mild CT
stage II -		— S (CR)————	— no RT —	— mild CT
		— S (no CR or unfavorable type) —	— RT ——	— mild CT
stage III —		- S	— RT* —	— intensive CT+/-ABMT
	— intensive CT —	S (delayed primary)		
stage IV-A	— intensive CT —	— S (delayed primary) ————	— RT* —	— intensive CT+/-ABMT
stage IV-B				
stage IV-S	—— (CT or RT**) —	- S	— no RT —	— no CT or mild CT

S=surgery

CR=complete resection

CT=chemotherapy

mild: JAMES method (vincristin 1.5mg/m², cyclophosphamide 300mg/m² on alternate weeks) intensive: multiagent chemotherapy-doxorubicine, DTIC, cisplatinum, etc.

RT=radiotherapy

RT\*: intraoperative radiotherapy for elder children

CT or RT\*\*: emergency therapy to avoid liver rupture or impediment of circulation

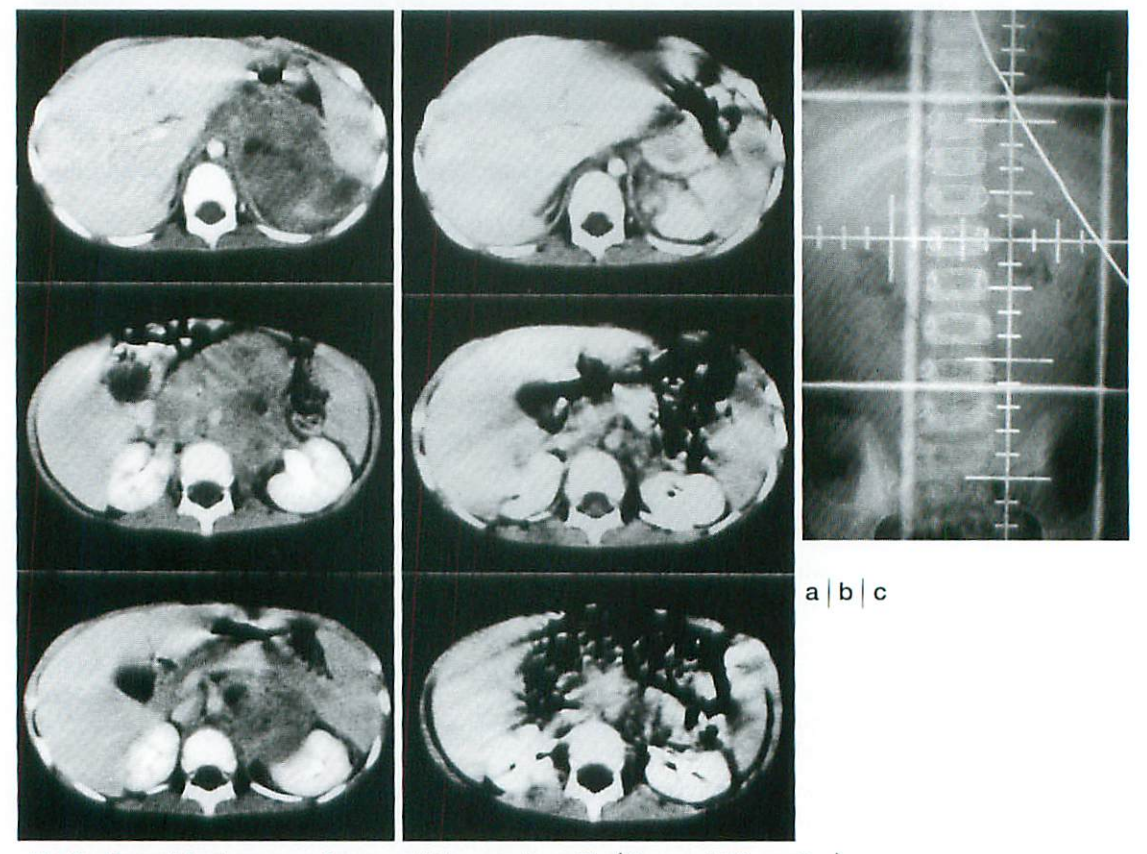


Fig.3 Neuroblastoma, a 3-year-old boy, stage II (N-myc: 70 copies)

- a: Enhanced CT scan revealed huge calcified left adrenal mass with paraaortic lymphnode metastases.
- b: After 4 cycle chemotherapy, CT scan revealed the tumor decreased in size and these images indicated radical-operablity.
- c: Simulation film for postoperative radiotherapy.

両側頭骨腫脹にて来院. CTスキャンにて左腎

上極に3cm大の腫瘍を認め,両側頭骨に骨破壊

像を認め、骨転移を伴う神経芽腫と診断された (Fig.4a, b). またI-123 MIBGシンチグラフィにて

正常組織を照射野に入れないよう鉛ブロックで 遮蔽することは必要である(Fig.3c).

症例 4. 神経芽腫, 11ヵ月女児, stageNA

原発巣および全身骨格に集積を認めた(Fig.4c). 左側頭骨生検施行し、Neuroblastoma、嶋田分

Fig.4 Neuroblastoma, an 11-month-old girl, stage IVA

- a: Enhanced CT scan revealed left adrenal mass with calcification and paraaortic lymphnode metastases.
- b: Head CT scan showed bilateral temporal bone metastases.
- c:I-123 MIBG scintigram (at admission) showed positive findings at multiple skeletal regions and primary lesion. Bilateral temporal lesions were bone metastases, but other lesions were bone marrow metastases.
- d: After 3 cycle chemotherapy, I-123 MIBG scintigram showed positive finding at right temporal lesion and other lesions were negative.
- e: After 5 cycle chemotherapy and temporal irradiation, all skeletal findings had disappeared.

類Unfavorable histology, N-myc 120 copiesと病 理診断された. この側頭骨以外の全身骨格系へ のI-123 MIBG集積は骨髄転移と考えられてい る. 化学療法 (CDDP, VP-16, THP-ADR, CPM 6 cycle) と両側頭骨放射線治療 (1920cGy/ 10fx/15 days) によりI-123 MIBGシンチグラムが 陰性化した (Fig.4d, e). この神経芽腫に特異 的な核医学診断法であるI-123 MIBGシンチグラ フィは治療効果判定に用いられており、この結 果により骨・骨髄転移巣がcomplete remission と診断されたので、原発巣のdelayed primary surgeryと術中照射 (6 MeV 電子線1200cGy) が 行われた. 術中照射の照射野は術後照射野と同 じ考えで、初発時のCT所見を参考に左副腎腫瘍 巣とリンパ節転移巣を充分に含む照射野とし, 大きめの矩形アクリル・ツーブスを挿入し術者 と放射線治療医がその確認をする、術後化学療 法 (CDDP, VP-16, THP-ADR, CPM 4 cycle) は 術直後から開始でき、TBI (1200cGy/6fx/4 days (A & P ports, b.i.d.)) を全処置とする自家骨 髄移植が行われた.

### 横紋筋肉腫

Intergroup Rhabdomyosarcoma Study (IRS) により手術後の化学療法と放射線療法の有効性が示された。病期分類は日本ではIRSのclinical grouping system (Table 5) に準じた日本小児外科学会分類が用いられている。組織分類では胎児型 (embryonal type),組織型では胎児型に属するぶどう肉腫型 (botryoid type) は予後良

好であり、胞巣型 (alveolar type) は予後不良 である。治療はIRS-5に準じた治療プロトコールが本邦で現在検討されている $^{2.7,8)}$ .

### 症例 5. 横紋筋肉腫 (後腹膜原発), 6 歳女児, stage Ⅲ

腹部腫瘤にて近医入院. 悪性腫瘍疑いにて当 院転院し、CTスキャンにて造影効果のある仙 骨前部後腹膜原発腫瘍 (Fig.5e), MRI T2WIに Thigh intensityの腫瘍であった (Fig.5d). Ga-67-citrateシンチグラフィにて原発巣のみ陽性所 見が認められ、遠隔転移は認められなかった (Fig.5a). 開腹生検にて横紋筋肉腫胎児型と診 断され,一期的根治術は不可能とされたため IRS-44プロトコールにて化学療法が開始され た. Ga-67-citrateシンチグラフィにて化学療法 の効果を確認し (Fig.5b, c), 5 クール終了時の CTスキャン (Fig.5f) にて根治術可能と判断さ れ. delayed primary surgeryが施行された. 同 時に術中照射を計画していたが、手術時に腫瘍 が椎管孔に浸潤していたため、術中照射のみで は根治不可能と考え、外照射が必要と判断され、 術中照射は小線量(6MeV 電子線1000cGy)とし た、その際に、術後照射野から卵巣が外れるよ うに左卵巣を骨盤腔左側に偏位させた. 手術時 の判断により、初発時の腫瘍巣を充分に含む術 後照射3960cGv (b.i.d.) を施行したが、左卵巣 は照射野から外れていることがシミュレーショ ン写真で確認できる (Fig.5g).

### Table 5 Intergroup Rhabdomyosarcoma Studies (IRS) clinical grouping system

Group I (13% of all patients): localized disease that is completely resected with no regional nodal involvement.

### Group II (20% of all patients)

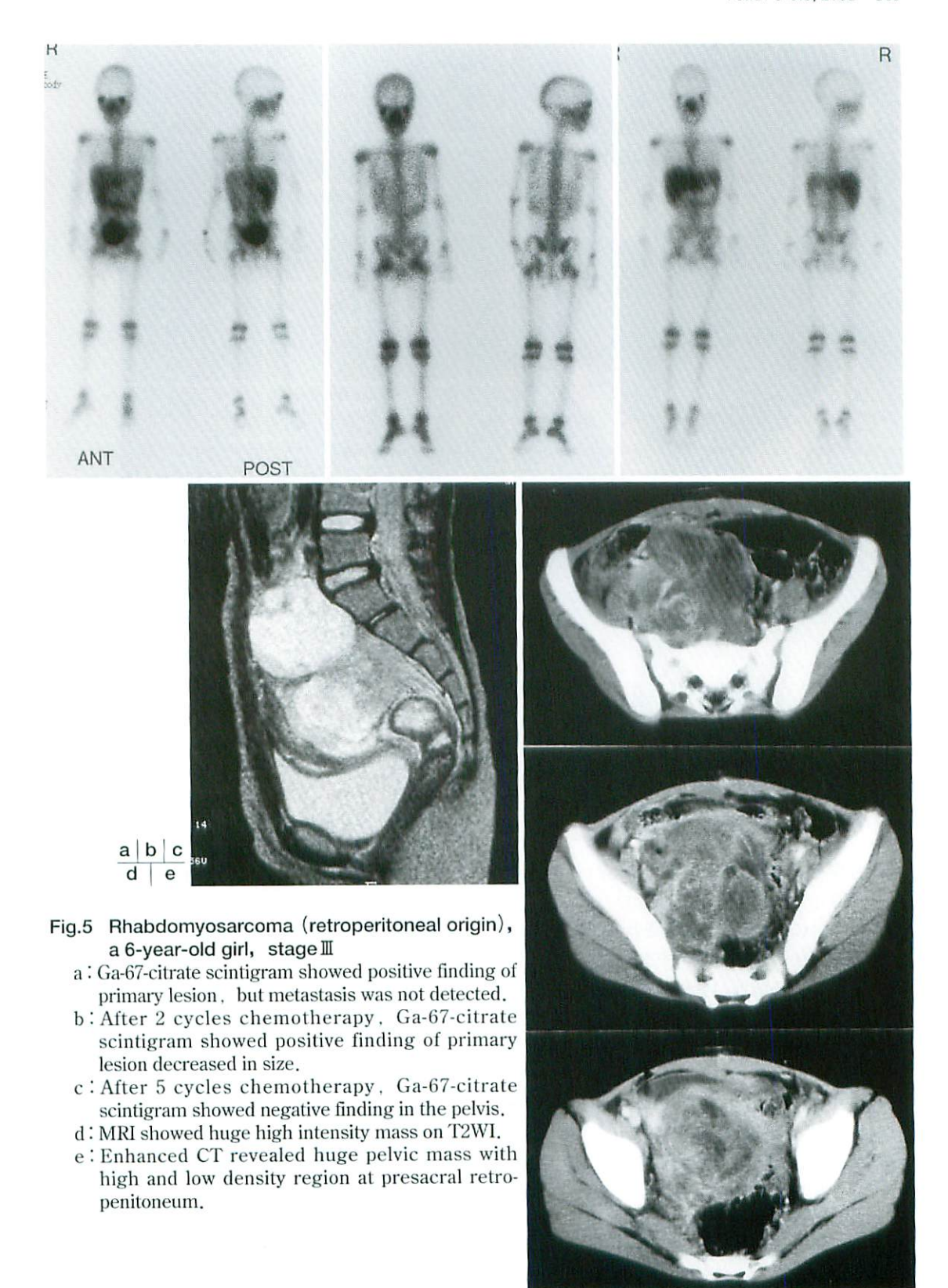
Group II A: grossly resected tumor with microscopic residual disease, but no regional nodal involvement.

Group II B: regional disease with involved nodes, with complete resection and no residual disease.

Group II C: regional disease with involved nodes, grossly resected, but with evidence of microscopic residual and/or histologic involvement of the most distal regional node (from the primary site). Approximately are in this group.

Group II (48% of all patients): incomplete resection (or biopsy only) of the primary site and therefore has gross residual disease.

Group V (18% of all patients): distant metastatic disease present at the time of diagnosis.





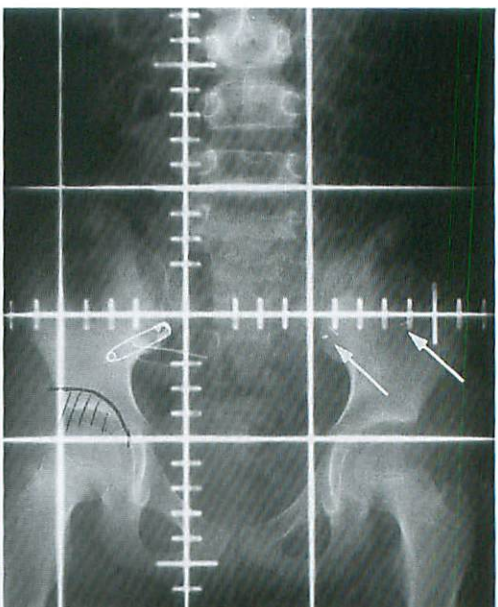


Fig.5

- f: After 5 cycles chemotherapy, CT scan revealed the tumor decreased in size and these images indicated radical-operability.
- g: Simulation film for postoperative radiotherapy revealed markers of the left ovary which was relocated outside the radiation field (arrows).

治療効果判定

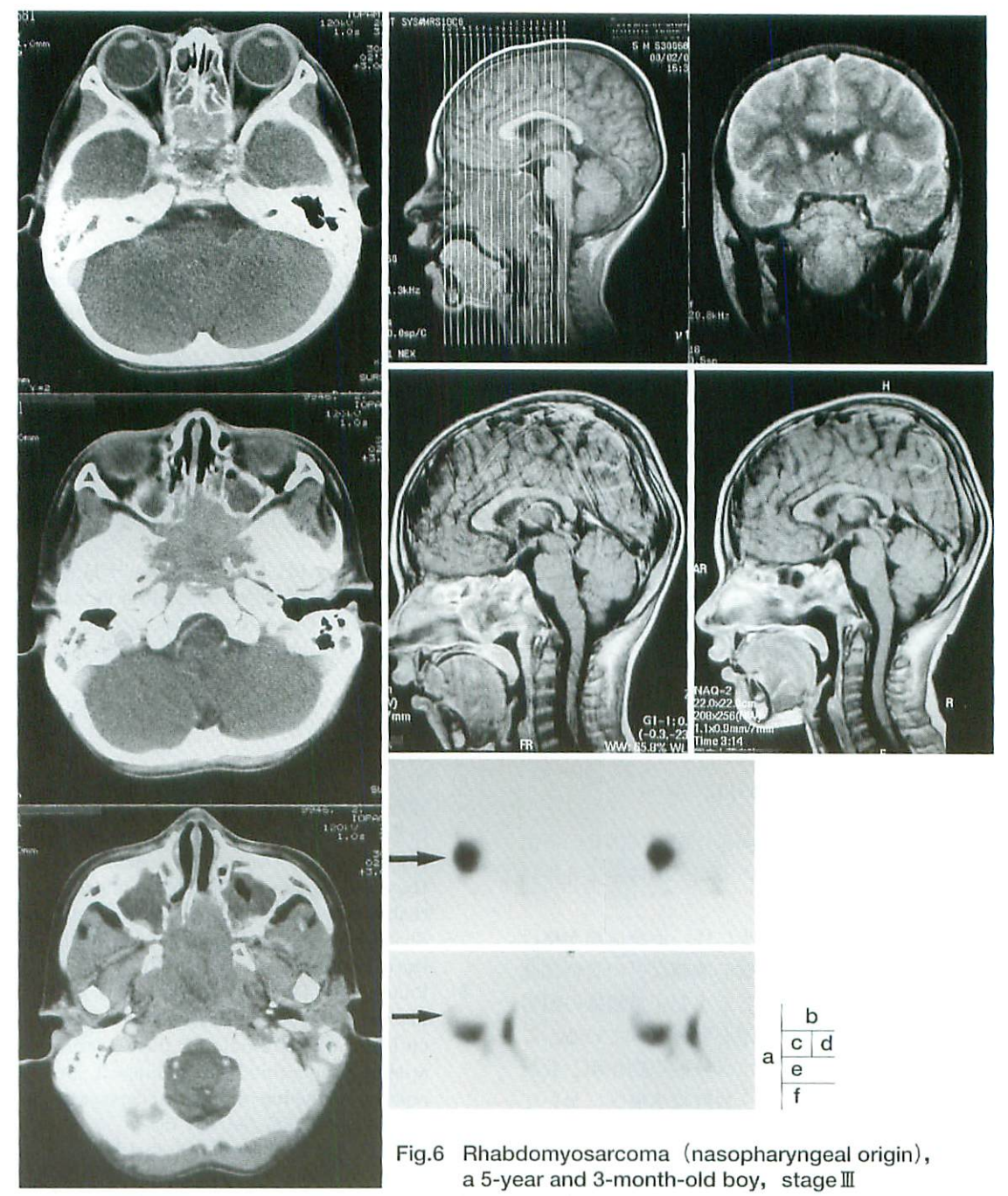
悪性腫瘍の治療効果判定にGa-67-citrateシンチグラフィを用いることは少ない。これは化学療法によりGa-67集積が影響されるためであり、通常はTl-201-chlorideシンチグラフィが有用とされている。脳腫瘍の放射線治療後脳壊死か腫瘍再発かの鑑別<sup>9)</sup>、横紋筋肉腫の治療による腫瘍のviabilityの診断にもTl-201-chlorideシンチグラフィが用いられている<sup>6,10)</sup>。

神経芽腫ではI-123 MIBGシンチグラフィが治療効果判定と経過観察に用いられている<sup>6)</sup>.

### 症例 6. 横紋筋肉腫 (副鼻腔原発), 5 歳 3 ヵ月 男児, stage Ⅲ

鼻閉・呼吸困難にて近医入院。CTスキャン (Fig.6a), MRI (Fig.6b) にて頭蓋底を破壊しトルコ鞍まで達する上咽頭・副鼻腔腫瘍を認め、当

院転院となる. 両視神経圧迫症状が急速に認め られ、左眼の視力が光覚のみ分かる程度となり、 両眼失明の恐れのため緊急照射となる(Fig.6g). 照射と同時期に生検を施行し横紋筋肉腫胎児型 と診断された. 照射による腫瘍縮小効果が認め られ、照射野縮小を数度にわたり行った、照射 開始2週後には左視力が回復したので、化学療 法と放射線療法の併用療法を続行することとな った. 照射終了後もMRIにて造影効果のある腫 瘍の残存を認めたため(Fig.6c), 腫瘍のviability を見るためにTl-201-chlorideシンチグラフィを 行い, 初診時Ga-67-citrate SPECTにて陽性所見 が認められた鼻咽頭には (Fig.6e), Tl-201chloride SPECTにて陰性所見を得たのでviability ないものとして化学療法のみ続行した(Fig.6f). その後の経過観察にて腫瘍は縮小し、瘢痕組織 を認めるのみとなった (Fig.6d).



- a: Enhanced CT revealed huge nasopharyngeal mass with bone destruction of skull base.
- b: MRI showed huge nasopharyngeal mass adjacented to the brain on T1WI.
- c: After radiation therapy (5000cGy/25 fractions/33 days), MRI showed residual mass with Gd enhancement on T1WI.
- d: One year later, MRI showed no mass at the nasopharynx on T1WI.
- e: SPECT of Ga-67-citrate (sagittal view) at first admission showed positive finding in the nasopharynx
- f: After radiation therapy (5000cGy/25 fractions/33 days), SPECT of Tl-201-chloride (sagittal view) showed negative finding in the nasopharynx (arrow).



Fig.6 g: Linacgraphy showed huge nasopharyngeal mass in the radiation field.

### おわりに

ここに提示した小児がん症例は症例6のみ治 療後1年無病生存中であるが、他は全て5年以 上無病生存中である.

近年の化学療法の進歩に伴い治療成績が格段 に向上したが、まだ横紋筋肉腫などの骨軟部腫 瘍は放射線治療から見ると小児正常組織の耐容 線量を超えた治療線量が必要とされている。こ のことは, 小児においては放射線副作用, 放射 線合併症が必発とされ、放射線治療医において 小児がんの放射線治療を敬遠する傾向にある. それ故に,正常組織を避けて放射線合併症がで ないようにする局所コントロールとしての放射 線治療の適応を決定するのに必要な条件は、放 射線診断医がその腫瘍の局在および進展範囲を 明確に診断することであるということを銘記し ていただきたい。

最後に, 小児がんに対して治療方針を検討す る国立小児病院Tumor Boardが、小児腫瘍・血 液科医, 小児外科医, 放射線科医, 病理医を中 心として多くの診療科医をまとめて、小児がん 患者にチームとして取り組んできたことによ り、小児がんの治療成績の向上に大きな役割を 果たしてきたことを、ここに彼らへの感謝とと もに報告して、稿を終わらせて頂きます。

### 海文献

- 1) INT-0150/POG 9440/CCG 4941: National Wilms Tumor Study - 5: Therapeutic Trial and Biology Study.
- 2) 正木英一:放射線療法,小児がん,赤塚順一, 土田嘉昭,藤本孟男,山崎洋次編:医薬ジャー ナル社、2000、pp.190-205.
- 3) Evans AE, August CS, Kamami N, et al: Bone marrow transplantation for high risk neuroblastoma at the Children's Hospital of Philadelphia: an update. Med Pediatr Oncol 1994; 23: 323-
- Castleberry RP, Kun LE, Shuster JJ, et al: Radiotherapy improves the outlook for patients older than 1 year with pediatric oncology group stage C Neuroblastoma. J Clin Oncol 1991; 9: 789-795.
- 正木英一:神経芽腫におけるI-123 MIBGシン チグラフィの有用性、日小放誌 1995;11:22-33.
- 正木英一:アイソトープ診断、小児がん、赤 塚順一, 土田嘉昭, 藤本孟男, 山崎洋次編. 医薬ジャーナル社. 2000; pp.149-160.
- Donaldson SS, Asmar L, Breneman J, et al.: Hyperfractionated radiation in children with rhabdomyosarcoma: results of an Intergroup Rhabdomyosarcoma Pilot Study. Int J Radiation Oncol Biol Phys 1995; 32: 903-911.
- Raney RB, Tefft M, Newton WA, et al.: Improved prognosis with intensive treatment of children with cranial soft tissue sarcomas arising in nonorbital parameningeal sites: a report from the Intergroup Rhabdomyosarcoma Study. Cancer 1987; 59: 147-155.
- Lorberboym M, Baram J, Feibel M, et al: A prospective evaluation of thallium-201 single photon emission computerized tomography for brain tumor burden. Int J Radiat Oncol Biol Phys 1995; 32: 249-254.
- 10) Maini CL, Tofani A, Sciuto R, et al: Thallium-201 scintigraphy and chemotherapeutic response in rhabdomyosarcoma. Clin Nucl Med 1994; 19: 607-610.

# 小児腹部腫瘍の画像診断と放射線治療

# 3. 小児腹部腫瘍の核医学診断

奥山智緒、牛嶋 陽。西村恒彦

京都府立医科大学 放射線医学教室

# Nuclear Medicine for Pediatric Abdominal Tumors Chio Okuyama, Yo Ushijima, Tsunehiko Nishimura

Department of Radiology, Kyoto Prefectural University of Medicine

### Abstract

The peculiar roles and utility of nuclear medicine for the clinical pediatric oncology are described. The advantage of nuclear medicine is that the accumulations reflect the tumor characteristics and that a single administration can examine the whole body. For tumor imaging, there are some specific and non-specific tracers. Radioactive-iodine-labeled metaiodobenzylguanidine (MIBG) visualizes neuroblastoma with very high specificity. 131I (123I)-MIBG scintigraphy is very useful for the diagnosis, staging, the monitoring during and after the treatment of neuroblastomas.

<sup>67</sup>Ga scintigraphy and <sup>201</sup>Tl are the representative non-specific tumor imaging tracers. These tracers and some specific tracers are also introduced.

Keywords: Pediatrics, Abdominal tumors, Scintigraphy, MIBG scintigraphy

### はじめに

小児腫瘍の臨床において、正確かつ迅速に診 断を下す目的の上で画像診断の果たす役割は極 めて重要である.一般に核医学イメージは.他 の形態学的画像診断法に比べて分解能に劣り, 小病変の検出は困難である. しかし, 一方で核 医学検査では腫瘍の生物学的特性を画像化して いる点が大きな特徴である. 小児固形腫瘍とし て最も頻度の高い神経芽細胞腫においては、 Metaiodobenzylguanidine (MIBG) が腫瘍細胞 内に特異的に取り込まれるため、その診断、病 巣の把握に有用である。1回の放射性医薬品の 投与により全身の検索が容易に施行可能である ため、病期診断にも適する、腫瘍シンチ製剤に はその他に、<sup>67</sup>Ga citrate (<sup>67</sup>Ga) や<sup>201</sup>TICl (<sup>201</sup>TI) など、腫瘍非特異性のものもあり、さまざまの

腫瘍において核医学検査が施行される。本稿で は、<sup>131</sup>I (<sup>123</sup>I) -MIBGシンチグラフィを中心に 各種シンチグラフィ製剤の特徴を説明し、小児 の腹部腫瘍に対する核医学検査の有用性と適切 な検査の選択法について述べる.

### 131 I-MIBG • 123 I-MIBG

MIBGは、グアネチジンの誘導体であり、 ノ ルエピネフリンと同様にナトリウム依存性の Uptake-1 により交感神経終末に取り込まれ る<sup>1)</sup>,神経芽細胞腫内においては、同様の機序 で取り込まれたのち神経内分泌顆粒内や細胞内 に貯留し優れた検出精度 (sensitivity 70~95%, specificity 95~100%) を有する<sup>2)</sup>.

131I-MIBGの場合は、10~40MBqを静注し1 日後と2日後に撮像をする。123I製剤を用いる 場合には、37~111MBqを静注し、24時間以内

に撮像するのが通常である。甲状腺の被曝を防ぐためにルゴールによる前投薬を行う。

神経芽細胞腫は副腎や全身のあらゆる交感神経節から発生し、骨、骨髄、肝、皮膚などに高率に転移を有する.近年は、乳児マス・スクリーニングの普及により無症状の時期に発見される症例が全体の6割以上を占めている.本疾患が疑われた場合、通常は胸部単純X線写真や腹部超音波により原発腫瘍が同定される.原発腫瘍が同定されなかった場合の検索や、転移巣の検索にシンチグラフィの果たす役割が大きい(Fig.1, 2). また、本疾患は通常、尿中VMAやHVAの上昇により容易に診断されるが、マーカーの上昇が見られないことがあり、MIBGの集積が診断に結びつく場合もある。

神経芽細胞腫の骨転移の検索には他の腫瘍 と同様に骨シンチが使用されることも多いが、 骨シンチでは骨皮質の転移しか捉えられないた め骨髄転移を検出することはできず(Fig.3)、 MIBGシンチの併用により骨髄転移と骨転移の

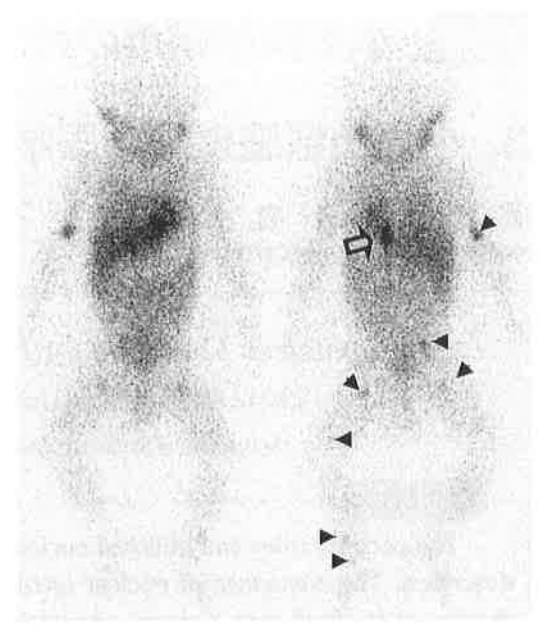


Fig.1 A case of neuroblastoma discovered by mass screening (a 1-year-old girl) <sup>123</sup>I-MIBG demonstrates mediastinal tumor (open arrow) and some skeletal lesions (arrowheads).

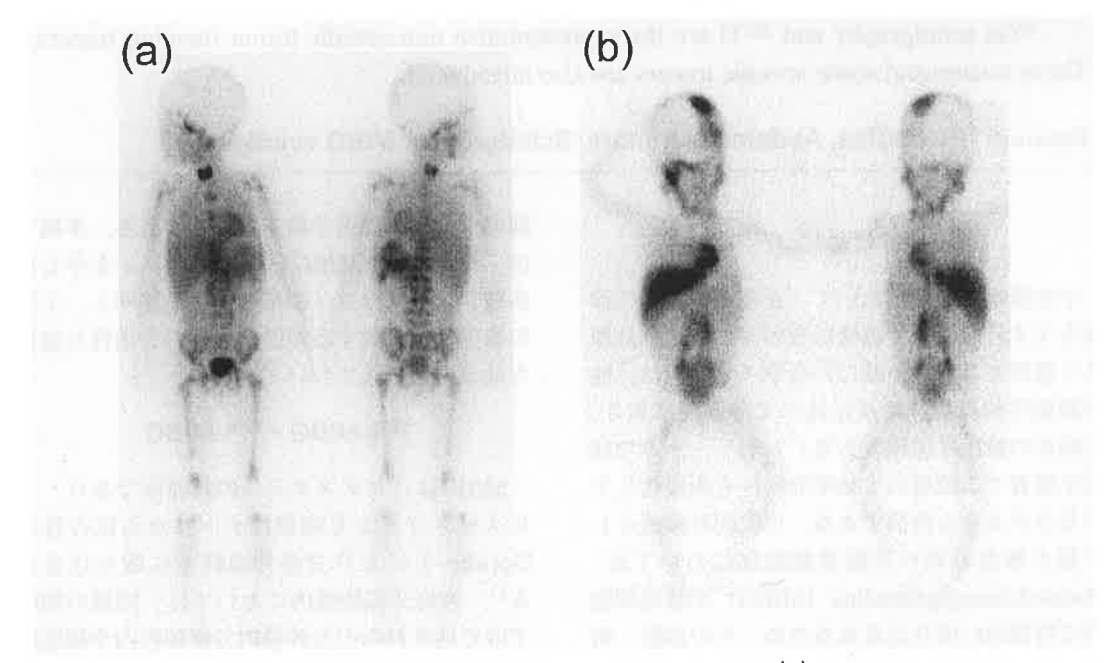


Fig.2 Two cases of advanced neuroblastomas of a 4-year-old girl (a) and an 11-month-old girl a: 123I-MIBG demonstrates a large primary tumor originating from the left adrenal gland, and diffuse bone marrow metastases.

b: 123I-MIBG shows not only a small accumulation in the primary tumor originating in the right adrenal gland but also multiple abnormal accumulations in the skull, orbits, and other skeletal lesions of the lower extremities and left supraclavicular and paraaortic lymph node metastases.

鑑別が可能となる3)、病期診断には初めに MIBGを施行し、異常が見られた場合に骨シン チを追加することが望ましい.

MIBGは腫瘍細胞への特異的な集積機序を有 しているため、集積が治療による変化を受けに くく、治療効果を正確に反映して描出されるこ とも特徴である4)、化学療法に対する反応性は 腫瘍マーカーと同様に集積程度や範囲の変化と して現れ、反応性をみると同時に病変部位の把 握が可能である。骨・骨髄病変はときに治癒後 にも瘢痕, 出血などを残し, MRIや骨シンチで 異常所見が残存することもあるが5)、MIBGで は偽陽性を呈することはない、また、治療後の 経過観察においても再発病変を鋭敏に検出でき る (Fig.4). 筆者らは、腫瘍マーカーが正常値 を示しMIBGで検出できた再発を複数経験して おり、定期的なMIBGでの経過観察が重要であ ると考えている。

MIBGシンチグラフィは、神経芽細胞腫以外 に褐色細胞腫やパラガングリオーマ、カルチノ イド, 甲状腺髄様癌などにも集積し, MEN-Ⅱ 型などの遺伝性疾患での全身検索にも有用と考 えられている<sup>6)</sup>が、現在日本において、腫瘍 シンチ製剤としては<sup>131</sup>I-MIBGのみが保険適応 となっており123I-MIBGの適応は認可されてい ない、131I製剤は半減期が8日と長く、γ線の みならずβ線を放出するために被曝量が多いこ

とに加え、γ線のエネルギーが高く、投与可能 量が少ないために得られる画質が123 製剤と比 べるとはるかに劣っている (Fig.5). 小児患者

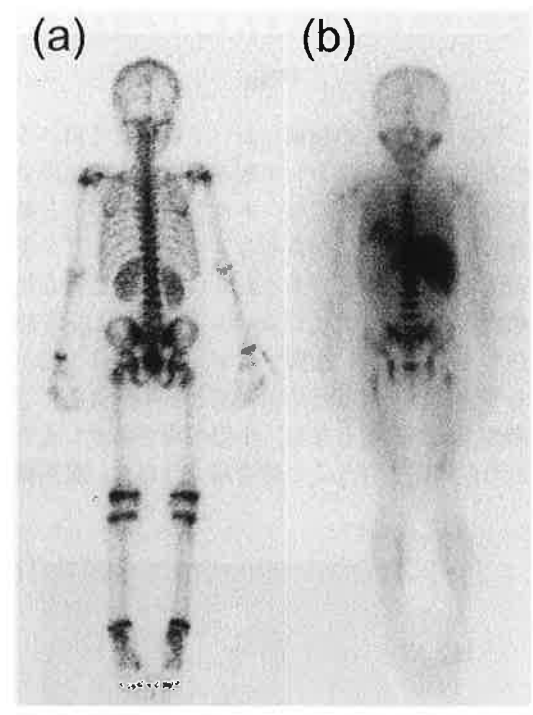


Fig.3 Diffuse bone marrow relapse of neuroblastoma of a 7-year-old boy Bone scan (a) shows an almost normal image, while abnormal visualization of the diffuse bone marrow is seen on 123I-MIBG scintigraphy (b).

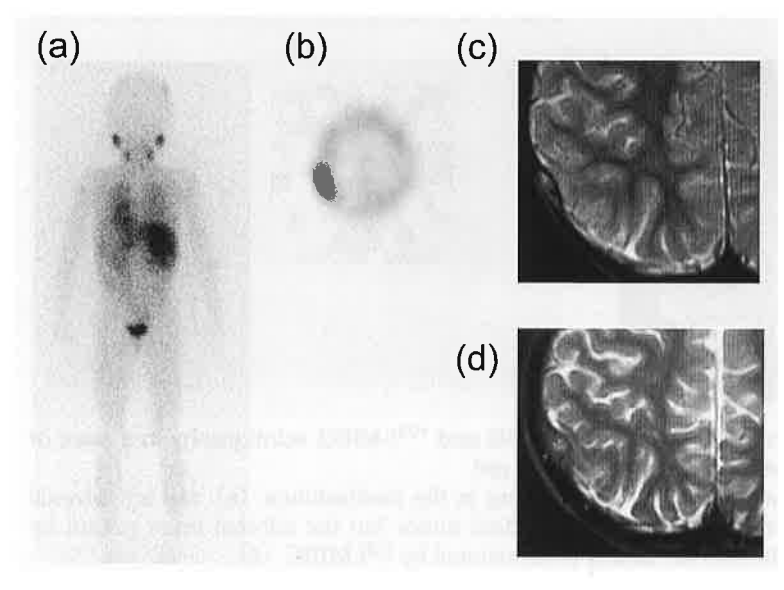


Fig.4 Relapse of neuroblastoma in the skull of a 4-year-old girl

A follow-up 123I-MIBG scintigraphy reveals abnormal accumulation in the head (a: whole body image, b: SPECT).

Biochemical markers were within normal limits, and abnormality could not be easily detected by MRI T2WI (c) at the same time. One month later, the tumor was detected in the following MRI T2WI (d).

の被曝量軽減,検出能の向上のためには $^{123}$ I製剤が適するが,多くの施設において保険請求上の都合で $^{131}$ I製剤がやむなく用いられている現状は残念であり,患児のために一日も早く $^{123}$ I製剤の保険適応が拡大されることが望まれる.

### <sup>67</sup>Ga

67Gaは、多くの腫瘍において最もよく用いられる代表的な腫瘍シンチ製剤である。生体内では鉄と似た動態を示し、トランスフェリンと結合して腫瘍細胞に存在するトランスフェリン受容体に結合すると考えられているが、正確な集積機序は解明されていない。37~111MBqを静注し2~3日後に撮像するが、本製剤は大腸から分泌排泄されるため前処置として撮像前に下剤や浣腸が必要となる。小児の場合必ずしもそれら前処置を行うことは容易ではなく、腹部腫

瘍の精査の場合、それらの生理的分布の影響を 軽減するためにはSPECT撮像を追加すること が望ましい。

本剤は、腫瘍においては非特異的にさまざまの腫瘍に集積し、腫瘍以外にも炎症巣にも高いsensitivityを有している。一般的には良性腫瘍には集積せず、分化度の高いものよりも未分化なものとの親和性が高い。臨床的に最も有用性が高いのは悪性リンパ腫であり、70~90%以上の陽性率を有する<sup>7)</sup>. その集積は特異的に強く、全身を一度に検索できるため病期診断、治療効果判定、経過観察に有用である(Fig.6).

その他の疾患に対しては、軟部肉腫への集積が70~90%程度、神経芽細胞腫の検出率は50%以下、Wilms腫瘍では50%程度で、肝芽腫や奇形腫などには通常集積しない<sup>8)</sup>. また、筆者らは小児腎細胞癌での陽性例(Fig.7)、膵芽腫で

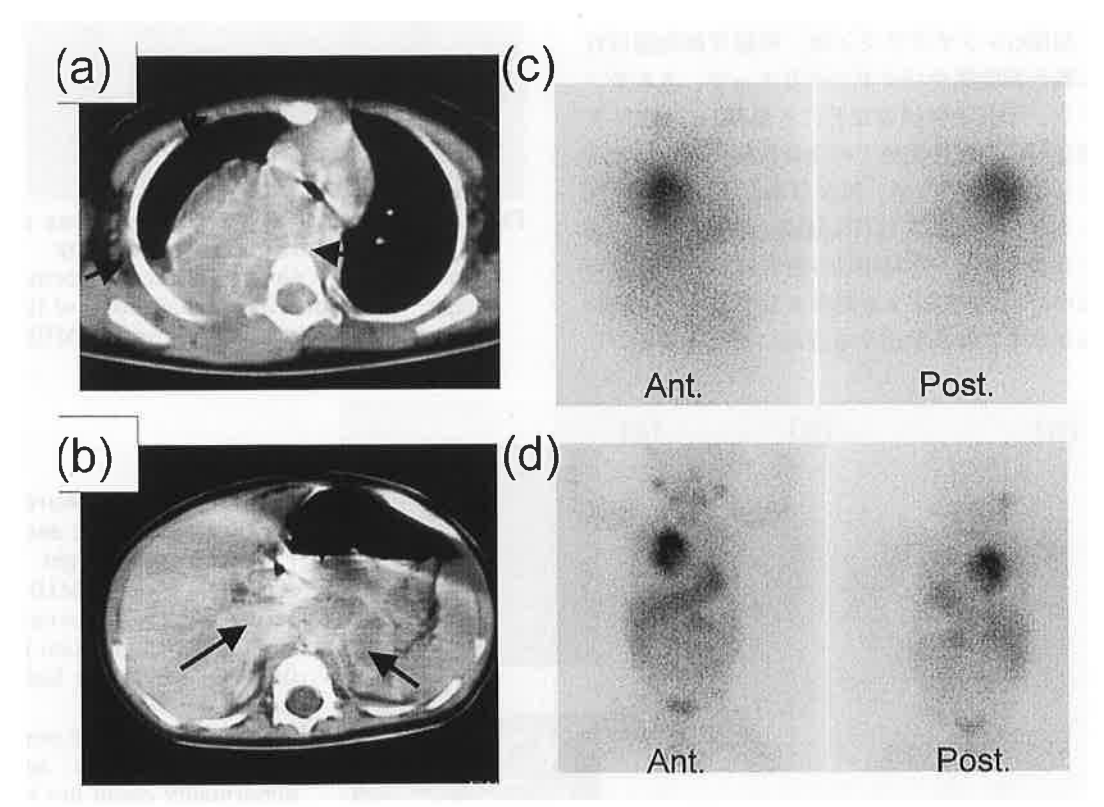


Fig.5 Comparison of the images between <sup>131</sup>I-MIBG and <sup>123</sup>I-MIBG scintigraphy in a case of multicentric neuroblastoma of an 8-year-old girl

The patient has two big neuroblastomas originating in the mediastinum (a) and left adrenal gland (b).  $^{131}$ I-MIBG demonstrates the mediastinal tumor but the adrenal mass cannot be detected (c), while both tumors are clearly demonstrated by  $^{123}$ I-MIBG (d).

の陽性例、肝未分化肉腫での偽陰性例を経験し ている

67Gaの生体内での動態には前述のようにトラ ンスフェリンが関与するため、輸血や鉄剤の投 与により血中のトランスフェリンが鉄で飽和さ れている状態(低UIBC血症)では腫瘍への集 積を示さないことがある9)。67Ga陽性の腫瘍の 治療効果判定や経過観察に再度67Gaシンチグラ フィが施行されるが、肝集積が低下し腎臓や骨 の集積が亢進している場合には低UIBC血症が 考えられ、腫瘍の集積を評価できなくなること を認識しておかねばならない (Fig.8).

### 201**TI**

<sup>201</sup>Tlは, K<sup>+</sup>と類似の挙動を示し, Na-K ATPaseにより能動的に腫瘍内に入ると考えら れているが、他に、血流やCaチャンネル、細 胞膜透過性などさまざまな要素が集積に影響を 及ぼすとされる<sup>10)</sup>、37~111MBqを静注し、投 与5~10分後の早期像と3~4時間後の後期像

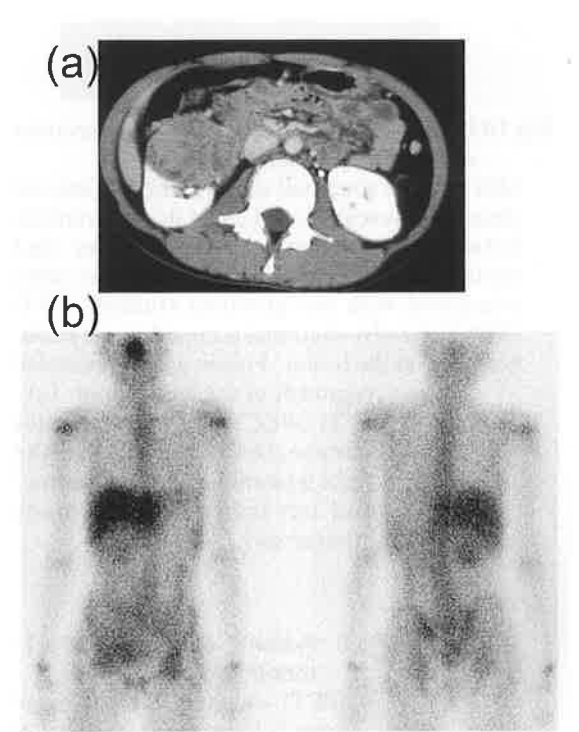


Fig.7 67Ga scintigrams of renal cell carcinoma in a 12-year-old girl

<sup>67</sup>Ga accumulates in the renal mass.

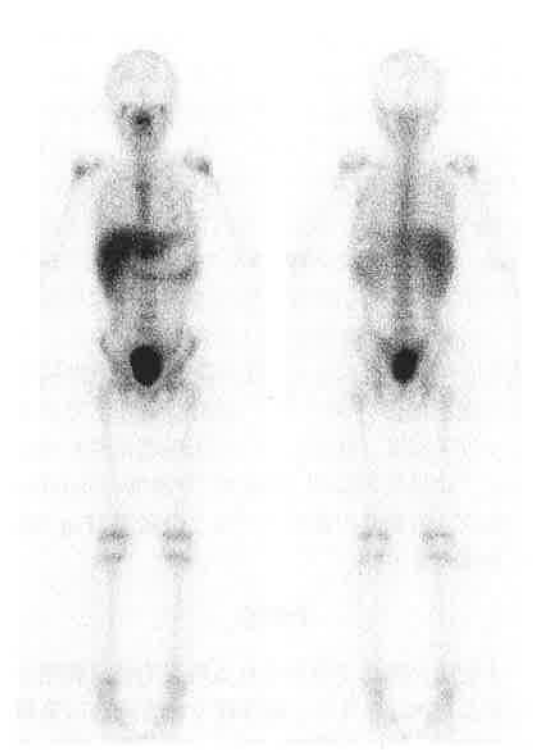


Fig.6 A case of lymphoma of a 9-year-old boy <sup>67</sup>Ga scintigram shows an apparent accumulation in the pelvis.

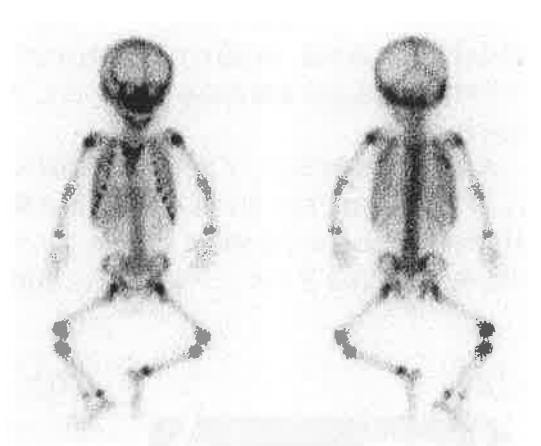


Fig.8 67Ga scintigrams of a case of lymphoma during the chemotherapy (a 3-year-old boy)

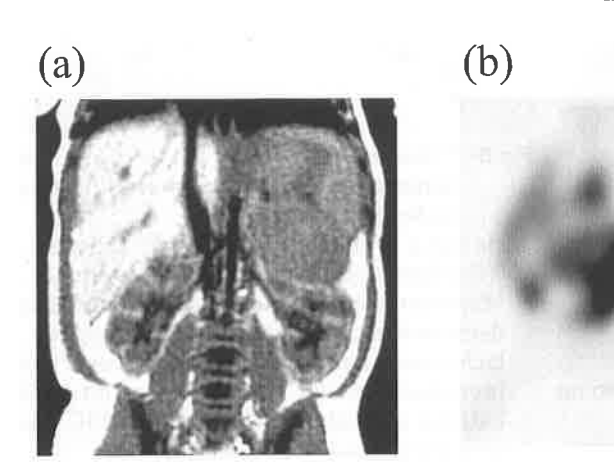
He has a large tumor in the upper abdomen. <sup>67</sup>Ga shows no accumulation in the tumor. Moreover the scintigram shows remarkably decreased accumulation in the liver, spleen, lachrymal glands, and salivary glands and increased uptake in the bones and both kidneys is faintly visualized. His UIBC was very low because of transfusion.

を撮像する。早期像においては炎症巣や良性病 変にも集積しうるが、後期像でも集積が残存す るのは悪性病変が多く, 肺腫瘍や骨軟部腫瘍に おいての検討が多くなされている11) 本剤は 肝臓、腎臓や腸管への生理的分布が強いうえ, γ線のエネルギーが低く体内での吸収が大きい ため、腹部腫瘍の精査のためにはSPECTが必 要である。また、腸管への分布は血流に依存す るため検査前に3時間以上の絶食を行うことが 望ましい。小児においても脳腫瘍や骨軟部腫瘍 での検討が多いが<sup>12,13)</sup>,適切な条件下で検査 を施行すれば、腹部においても腫瘍集積を確認 でき、良悪性の鑑別 (Fig.9) や腫瘍のviability の検査、治療後の瘢痕と再発との鑑別 (Fig.10) に有用である.

### その他

小児腹部腫瘍で用いられる特異的腫瘍製剤と してはMIBG以外に、血管腫や血管肉腫に集積 する<sup>99m</sup>Tc-RBCや<sup>99m</sup>Tc-HSA(D)(Fig.11)が よく知られており<sup>14)</sup>、肝腫瘍や後腹膜腫瘍に 用いられることがある。また、mesoblastic nephromaに<sup>99m</sup>Tc-DMSAが集積し<sup>15)</sup>,肝臓の 限局性結節性過形成(FNH)には99mTc-PMT や<sup>99m</sup>Tc-Sn-colloidの集積がみられる<sup>16)</sup> ことが 知られている.

非特異的腫瘍製剤としては67Gaや201Tl以外 に、<sup>99m</sup>Tc-MIBIが時に用いられる。本剤は膜 電位勾配にしたがって受動的にミトコンドリア 内に取り込まれるとされ、分布は201Tlと類似



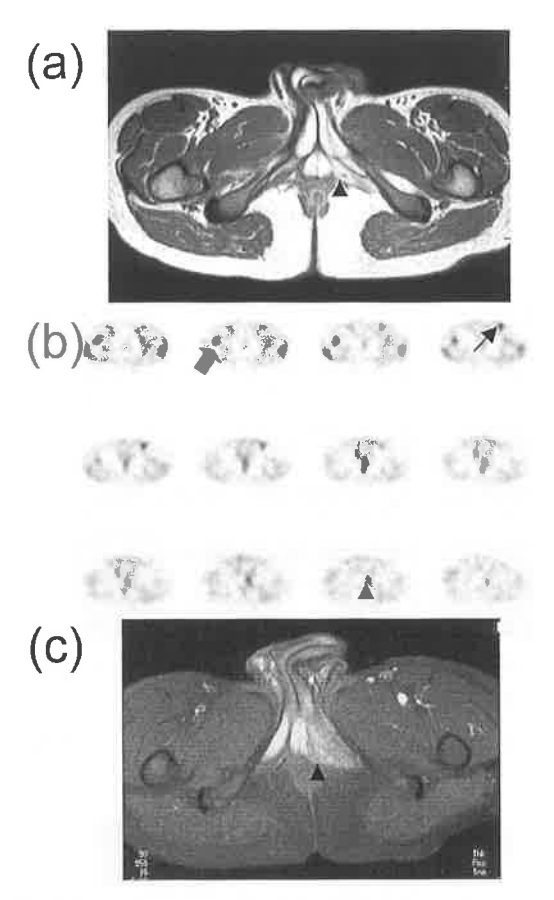


Fig.10 Local recurrence of rhabdomyosarcoma of an 11-year-old boy

MRI showed abnormal signal in the left internal obturator muscle (a), but could not differentiate between post-treatment-granulation and recurrence, because no change was seen compared with the previous studies. <sup>201</sup>Tl SPECT showed abnormal accumulation (arrowhead)(b) at the lesion. Follow up MRI revealed

> regrowth of the local tumor (c). <sup>201</sup>Tl SPECT also demonstrates unexpected metastases in the right femoral bone (thick arrow) and left inguinal lymph node (thin arrow).

### Fig.9 Adrenal carcinoma of a 7month-old boy

MRI T1 weighted coronal image shows a large mass on the left kidney (a), and 201Tl SPECT demonstrates abnormal accumulation (b).

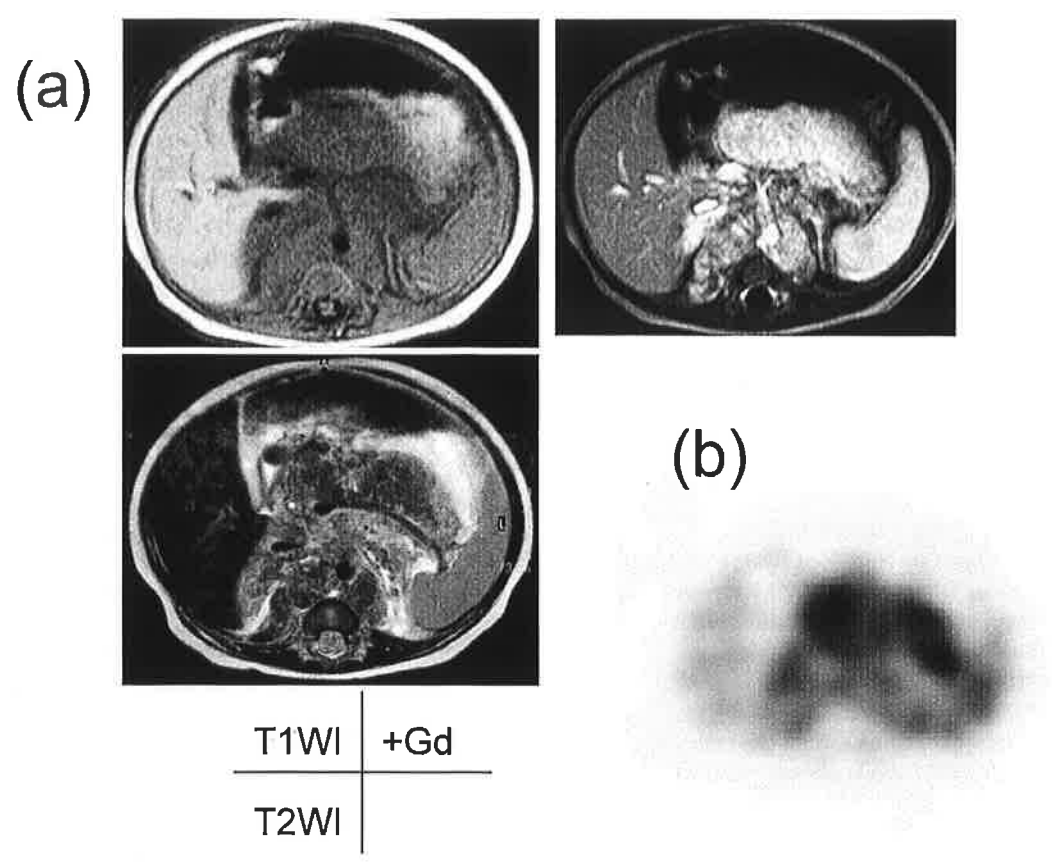


Fig.11 A huge hemangioma in the retroperitoneum of an 8-month-old boy The MRI (a) shows a large tumor, which shows low signal on T1WI, low and high signals on T2WI, and good enhancement, <sup>99m</sup>Tc-HSA (D) SPECT (b) shows intense accumulation corresponding with the tumor.

している. 抗癌剤の多剤耐性に関与するP糖蛋 白により細胞外に汲み出されるとされており、 腫瘍の抗癌剤耐性を画像化する製剤として成人 の肺癌や骨軟部腫瘍での研究が進められてい る<sup>17,18)</sup>, 小児腫瘍での報告は少なく腹部の生 理的分布が多いため読影には細心の注意が必要 であるが、各種腫瘍の治療効果予測の判定材料 として期待される<sup>19)</sup>.

### おわりに

核医学検査は、空間分解能がCT, MRIと比 べて低く、正確な病変部の指摘や進展範囲の診 断が容易ではない. 小児の被曝に対する警戒心 も強く敬遠されることも多いようであるが、疾 患によっては感度や特異性が非常に高く, 簡便 に全身像が得られるため、適応を正しく選んで 用いることで臨床的に価値の高い検査となる。

### ●文献

- 1) Wieland DM, Wu JL, Brown LE, et al: Radiolabeled adrenergic neuron blocking agent: adrenormedullary imaging with [131I]iodobenzylguanidine. J Nucl Med 1980: 21: 349-353.
- Shulkin BL, Shapiro B: Current concepts on the diagnostic use of MIBG in children. J Nucl Med 1998; 39: 679-688.
- 奥山智緒,牛嶋 陽,杉原洋樹,他:123I-MIBGシンチグラフィを用いた神経芽細胞腫の 診断-病期分類のための撮像方法の検討-. 核 医学1998;35:835-842.
- 4) Maurea S. Lastoria S. Caracó C, et al : Iodine-

- 131-MIBG imaging to monitor chemotherapy response in advanced neuroblastoma: Comparison with laboratory analysis. J Nucl Med 1994; 35:1429-1435.
- Tanabe M, Takahashi H, Ohnuma N, et al: Evaluation of bone marrow metastasis of neuroblastoma and changes after chemotherapy by MRI. Med Pediatr Oncol 1993; 21: 54-59.
- Moll LV, McEwan AC, Shapiro B, et al: Iodine-131 MIBG scintigraphy of neuroendocrine tumors other than pheochromocytoma and neuroblastoma. J Nucl Med 1987; 28: 979-988.
- 7) McLaughlin AF, Magee MA, Israel O, et al: Current role of gallium scanning in the management of lymphoma. Eur J Nucl Med 1990; 16:755-771.
- 8) Edeling CJ: Ga-67 imaging in pediatric oncology. Clin Nucl Med 1983; 8: 205-209.
- Roswig DM, Spencer RP: Decreased hepatic concentration of radiogallium — <sup>67</sup>Ga. Semin Nucl Med 1984: 14: 57-58.
- 10) 利波紀久:腫瘍のタリウム診断、核医学 1993;30:449-455.
- 11) Tonami N, Shuke N, Yokoyama K, et al: Thallium-201 single photon emission computed tomography in the evaluation of suspected lung cancer. J Nucl Med 1989; 30:997-1004.
- Nadel HR: Thallium-201 for oncological imaging in children. Semin Nucl Med 1993; 23: 243-254.

- 13) Howman-Giles R, Uren RF, Shaw PJ: Thallium-201 scintigraphy in pediatric soft tissue tumors. J Nucl Med 1995; 36: 1372-1376.
- 14) Murata Y, Yamada I, Umehara I, et al: The use of three-phase scintigraphy for diagnosing hemangiomas of the extremities. A clinical evaluation. Clin Nucl Med 1997; 22: 372-375.
- 15) Cowling MG, Dicks- Mireaux C, Gordon I: A Further diagnostic test in neonatal / infant solid renal mass: two cases of mesoblastic nephroma showing uptake of Tc-99m-DMSA. Clin Radiol 1993; 47: 259-261.
- 16) D'Souza VJ, Sumner TE, Watson NE, et al: Focal nodular hyperplasia of the liver imaging by differing modalities. Pediatr Radiol 1983; 13: 77-81.
- 17) Taki J, Sumiya H, Asada N, et al: Assessment of P-glycoprotein in patients with malignant bone and soft tissue tumors using technetium-99m MIBI scintigraphy. J Nucl Med 1998; 39: 1179-1184.
- 18) Luker GD, Fracasso PM, Tobkin J, et al: Modulation of the multidrug resistance P-glycoprotein: Detection with Tc-99m sestamibi *in vivo*. J Nucl Med 1998; 38: 369-372.
- 19) Burak Z, Yüksel DA, tingül N, et al: The role of <sup>99</sup>Tc<sup>m</sup>-sestamibi scintigraphy in the staging and prediction of the therapeutic response of stage IV neuroblastoma: Comparison with <sup>131</sup>I-MIBG and <sup>99</sup>Tc<sup>m</sup>-MDP scintigraphy. Nucl Med Commun 1999; 20: 991-1000.

# 時集 小児腹部腫瘍の画像診断と放射線治療

# 4. 小児腹部腫瘍の画像診断一副腎・泌尿生殖器-

野坂俊介,堤 義之1),岡田良行1),正木英一

国立小児病院 放射線科, 国立大藏病院 放射線科1)

# Imaging Characteristics of Abdominal Tumors —Adrenal Gland and Genitourinary Tract—

Shunsuke Nosaka, Yoshiyuki Tsutsumi¹¹, Yoshiyuki Okada¹¹, Hidekazu Masaki

Department of Radiology, National Children's Hospital Department of Radiology, National Ookura Hospital<sup>1)</sup>

### **Abstract**

This review outlines imaging characteristics as well as clinical features of tumors involving the adrenal gland and genitourinary tract in children. Of these, neuroblastoma, adrenocortical carcinoma, pheochromocytoma, Wilms tumor, nephroblastomatosis, congenital mesoblastic nephroma, rhabdoid tumor of the kidney, clear cell sarcoma of the kidney, renal cell carcinoma, renal involvement secondary to hematologic malignancies, ovarian tumor and rhabdomyosarcoma are included. Age dependent approach is important to differentiate these tumors. Plain radiograph has a limited role in diagnosing abdominal tumor. A variable combination of ultrasound, CT and MRI is important to reach an accurate diagnosis. Nuclear imaging is reserved for selected purposes to evaluate primary and metastatic disease and tumor viability.

Keywords: Children, Abdominal tumor, Adrenal gland, Genitourinary tract, US, CT, MRI, Nuclear imaging

### はじめに

腹部腫瘍に対する画像診断検査には、単純X線写真(単純写真)、超音波検査(US)、CT、MRI、核医学検査、消化管造影や血管造影がある。通常、小児画像診断を行う上で重要なことは、小児の身体的特徴を考慮した上で、必要かつ十分な検査計画を立てることである。これらの基本的な事項は、腹部腫瘍の画像診断においても例外ではない。

本稿では、小児腹部腫瘍の画像診断に対する 各種画像診断検査法を解説したのち、副腎・泌 尿生殖器の代表的腫瘍性病変の診断をすすめる うえで必要な臨床的特徴および画像所見につい て解説する.

### 画像診断総論1,2)

腹部腫瘍の多くは腹部腫瘤を主訴とする場合が多いが、そのような患児に対して画像診断を行う上で重要なことは、腫瘤の存在部位と腫瘤の性状および腫瘤の進展範囲を正確に把握することである。さらに腫瘤性病変をみとめた場合、外科的切除が可能か否かの判定も重要である。

一般的に,小児の腹部腫瘤は,患児の年齢に よりその発生部位が異なる.通常,新生児期で は,腹部腫瘤の発生部位は,腎臓(55%),内性 器(15%), 消化管(15%), 腎以外の後腹膜(10%) および肝胆道系(5%)の順である. ところが, 乳児期以降になると, 腎臓(55%), 腎以外の後腹膜(23%), 消化管/肝胆道系(18%), 内性器(4%) となる.

以下,各検査法について解説する.通常,CT やMRIは、被検患児が4~5歳以下の場合は鎮静剤を投与して検査すべきである。鎮静方法は各施設により様々で、現状では担当医に一任している場合が多い。筆者らの施設では、他の検査法に比べ検査時間の長いMRIについては麻酔科医の協力により、必要に応じて全身麻酔下で実施することがある。核医学検査は、検査時に被検患児の体動を抑制する砂嚢などを適切に配置するなどの工夫で満足できる画像が得られる場合が多い。血管造影は、通常被検患児が10歳以下の場合は全身麻酔下に行うべきで、麻酔科医の協力が必須である。

### a. 単純写真

単純写真の意義は、後述するUS、CTあるいはMRIの普及にともなって低くなった。単純写真では触知される腹部腫瘤と消化管ガス像との関係、腫瘤内石灰化巣の有無と性状、腹水の有無、さらには骨格系の異常の有無を評価する。

### b. US

USは単純写真に次ぐ検査法で、無侵襲、簡便かつ任意の断面で腫瘤の評価ができる。特に、新生児や乳児はUSに適した体格で、5.0MHz以上の高周波探触子が使用可能で、高解像度の画像が得られる。通常はUSのみでほとんどの情報が得られる。また、USではカラードップラあるいはパワードップラにより血流情報も得られるが、呼吸停止など患児の協力が必要となる。USの欠点は所見が術者の技量に依存することおよび所見の再現性が低いことである。一般的に腫瘤が大きい場合や、続いて外科的治療が予定されている場合はCTやMRIが追加される。なお、USはすでに診断の確定している病変の治療効果判定や経過観察に適している。

### c. CT

ヘリカルCTの導入により画像解像度は、従来型のCTと比較して向上し、検査時間も短縮した。また、ヘリカルCTでは、被曝線量が減少

し、患児が動かず安静呼吸の状態であればほとんどアーチファクトのない画像が得られる。CTは造影CTが必須で、通常造影剤(300mgI/mℓ)は2 mℓ/kgを用手的にボーラス注入するかインジェクターを用いて注入し撮像する。さらに最近ではマルチスライスへリカルCT (MDCT) が臨床導入され、急速に普及しつつある。MDCTでは検査時間は飛躍的に短縮し、患児の被曝線量もこれまで以上に減少した。またMDCTにより、正確な3次元画像を得ることも可能になった。

### d. MRI

MRIの利点は、被曝することなく優れた軟部組織分解能を有する画像が任意の断面で得られることである。最近では、高速撮像法の導入により検査時間が大幅に短縮した。MRIでは腫瘤と隣接する脈管との関係、腫瘤が後腹膜に存在する場合は脊柱管内への進展の有無、および腫瘤内の出血の有無をはじめとする腫瘤内容の評価が容易に行える。

### e. 核医学検査

US, CTおよびMRIの導入により核医学検査が行われる頻度は少なくなったが、核医学検査が有用な疾患・病態は、神経芽腫の原発巣および転移巣の検索における $^{123}$ I MIBGシンチ、神経芽腫をはじめとする原発性悪性腫瘍の骨転移検索における $^{99}$ mTc MDP骨シンチおよび腫瘍のactivityを評価する $^{67}$ Ga citrateを用いたシンチなどである。

### f. 消化管造影

消化管造影は、US、CTおよびMRIが普及した今日では、腫瘤が消化管由来かあるいは消化管と密接に関係する場合を除き、行われることは少なくなった。

### q. 血管造影

血管造影は、診断のみを目的として行われることはほとんどなくなった。今日では、血管造影は術前あるいは手術不可能例に対する経カテーテル的治療(Interventional Radiology)を目的に行われることがほとんどである。

### 画像診断各論

### 副腎

神経芽腫 (Neuroblastoma)2~8)

神経芽腫は神経提から発生する腫瘍で, 小児 領域では中枢神経系を除いた固形腫瘍では最多 である。神経芽腫は90%が5歳までに診断され る、神経芽腫の65%は後腹膜に発生し、そのう ち40%が副腎髄質由来である。この項では副腎 のみならず副腎外の後腹膜腔から発生する神経 芽腫についても述べる.

わが国では、神経芽腫に対するマススクリー ニングが普及している。マススクリーニングで 発見された神経芽腫の多くは予後良好で、Nmvc遺伝子の増幅は例外的である。 マススク リーニングで発見されたstage I の神経芽腫で、 その大きさが 5 cm以下の場合は無治療で経過 観察し、定期的にUSで大きさを計測し、尿中 のVMA、HVAの推移を見るという試みもある. 実際にはこの方法で多くのマススクリーニング 検査陽性stage I 神経芽腫の自然退縮が確認さ れており、今後は症例を重ねて検討されるべき であろう.

その他、神経芽腫の特殊型としては、stage IV-S(原発巣が原発臓器に限局し正中を越えな いで、転移が肝、皮膚および骨髄に限局し、骨 皮質には転移がない)があり、通常は生後6ヵ 月未満に見られ予後良好である.

神経芽腫は、単純X線写真では腫瘍が大きい 場合は軟部腫瘤影として認識できる(Fig.1a). 腹部神経芽腫の腫瘍内石灰化は55%と言われて いる。

USでは神経芽腫は充実性で不均一高エコー を示すことが多い(Fig.1b), 腫瘍内石灰化は高 エコー巣として認められる. 腫瘍と肝や腎臓と の関係はリアルタイムに評価できる. 一般的に 病変が大きい場合はCTあるいはMRIが有用で ある(Fig.1c-e).

CTは腫瘍の性状および拡がりを評価する点 でUSを凌ぐ、腫瘍内の石灰化は腹部原発神経 芽腫の場合は90%以上の頻度で認められる。造 影CTにより腫瘍と大血管の関係を評価できる (Fig.2).

神経芽腫の画像診断においてMRIの方がCT やUSより優れている点は、多断面で評価可能 であること、脊柱管内への腫瘍の進展が評価で きる(Fig.3)こと、骨髄浸潤の評価ができるこ

と、および造影剤を投与することなく隣接する 脈管に対する影響を評価できることなどであ る、神経芽腫はMRI T1強調画像では低信号を、 T2強調画像では高信号を呈する(Fig.1d,e). さ らに、stage IV-Sの場合、肝内に無数に広がる 転移巣はCTで認識困難な場合があるが、MRI T2強調画像では高信号巣として容易に認識で きる(Fig.4). しかし、治療に伴う信号の変化 の意義については未だ明確ではない.

骨シンチは骨転移の評価に用いられる。 また 骨シンチでは約70%の神経芽腫症例において 原発巣への核種の集積が認められるが、その機 序は不明である. <sup>123</sup>I MIBGシンチでは、原発 巣(Fig.1f)に加え転移巣にも核種が集積する. MIBGの骨格系への集積については、骨皮質へ の集積と骨髄への集積は区別できないという欠 点がある。従って、骨シンチが正常で、123I MIBGシンチで集積があれば骨髄転移といえ る. 123I MIBGシンチの問題点は、神経芽腫に 対して保険適応外であることで、今後解決され なければならない.

### 副腎皮質癌 (Adrenocortical carcinoma) 5)

副腎皮質癌は、小児ではまれであるが、小児例 の75%が診断時5歳以下である。副腎皮質癌は 女児に多い、副腎皮質癌はBeckwith-Wiedemann 症候群や半身肥大症に合併する. 副腎皮質癌の 75%以上が機能性で、多くの場合はアンドロゲ ン産生に伴う男化徴候を呈する. 鑑別診断は、 腺腫、神経芽腫、および褐色細胞腫である。ホ ルモン産生を伴う副腎の腫瘤を診た場合は副腎 皮質癌を考慮する必要がある. 診断時, 副腎皮 質癌は大きく(直径 6cm以上). 石灰化する場合 もある(Fig.5a). 一方, 副腎腺腫は小さく, 機 能性の場合も非機能性の場合もある。腫瘍の良 悪の鑑別は組織学的にも困難である。したがっ て、悪性の場合は、被膜への浸潤および転移に より診断される。

USでは、特徴的な高エコーの瘢痕を認める. CTでは、腫瘍は不均一で、造影剤投与により 不規則に造影増強効果を示す(Fig.5b), 腫瘍は 局所浸潤を示し、しばしば下大静脈へ進展し、 さらに右房におよぶこともある. MRIでは、原

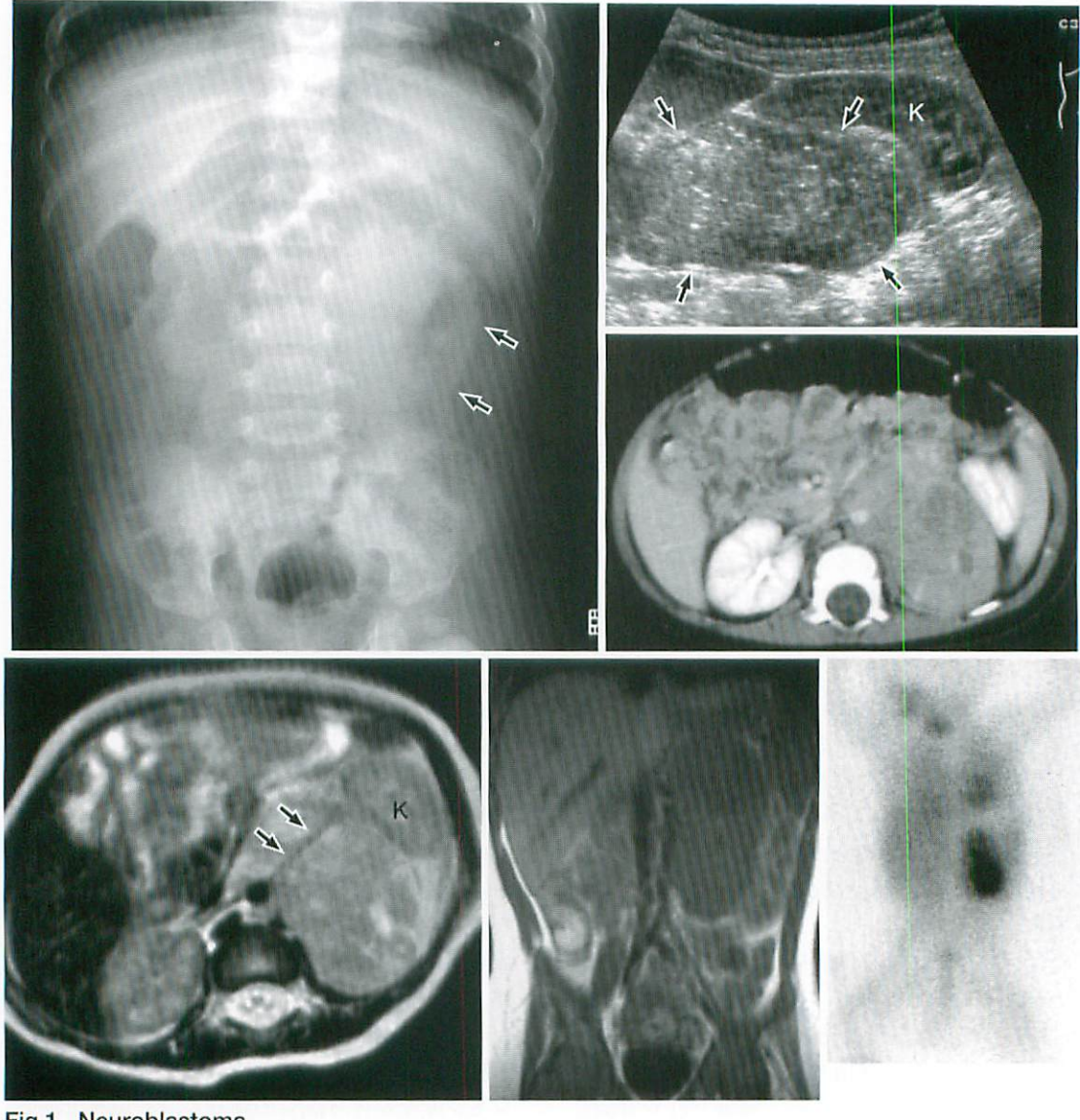


Fig.1 Neuroblastoma

A 9-month-old boy with a positive result of mass screening. A plain abdominal film (a) reveals downward displacement of the left kidney (arrows). A longitudinal view of the abdominal Ultrasound (b) shows a well defined mass (arrows) slightly hyperechoic comparing with the left kidney (K). Contrast-enhanced CT of the abdomen (c) reveals a mass in the left paraaortic region. Axial T2-weighted image of the abdomen (d) demonstrates a well defined intermediate signal mass in the left paraaortic region displacing left renal artery (arrows) as well as the left kidney (K). A coronal T1-weighted image of the abdomen (e) shows a well defined mass with signal intensity similar to that of muscle in the left paraaortic region. Note the left kidney displaced inferiorly as suspected on the plain abdominal film. Subsequent <sup>123</sup>I MIBG scan (f) shows an abnormal area of increased uptake corresponding to the mass.

(Courtesy of Yasuo Nakajima, MD, Department of Radiology, St. Marianna University School of Medicine)



Fig.2 Neuroblastoma

A 3-year-old boy with stage IV neuroblastoma arising from left adrenal gland. Contrastenhanced CT of the abdomen reveals a large mass in the left suprarenal region with extension of the tumor to the pancreas (arrows). Anterior displacement of the abdominal aorta is demonstrated (arrowhead).

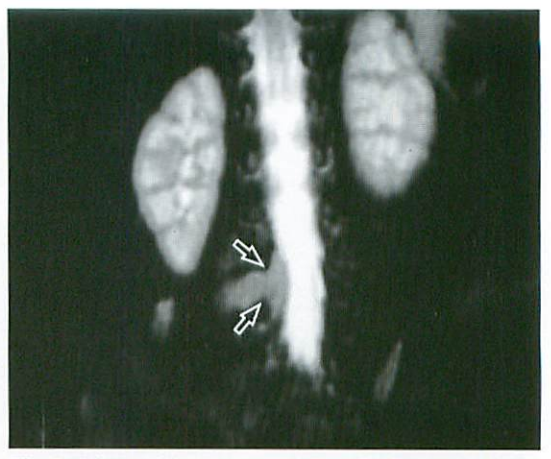
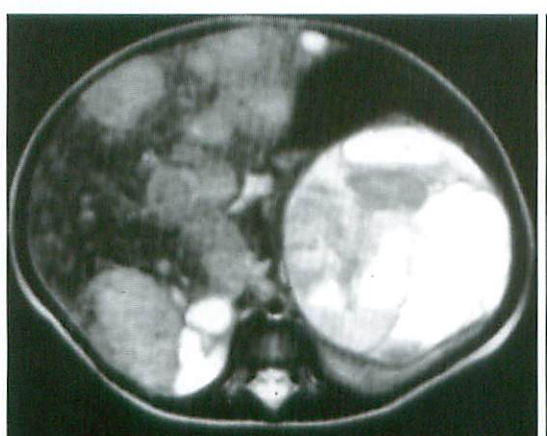


Fig.3 Neuroblastoma arising from paraspinal ganglion

An 8-month-old boy with a positive result on mass screening. Ultrasound of the right lower abdomen (not shown) reveals a well defined mass in the paraspinal region. Subsequent coronal T2-weighted MR image demonstrates a well defined intermediate signal mass extending into the spinal canal (arrows). (Courtesy of Yasuo Nakajima, MD, Department of Radiology, St. Marianna University School of Medicine)



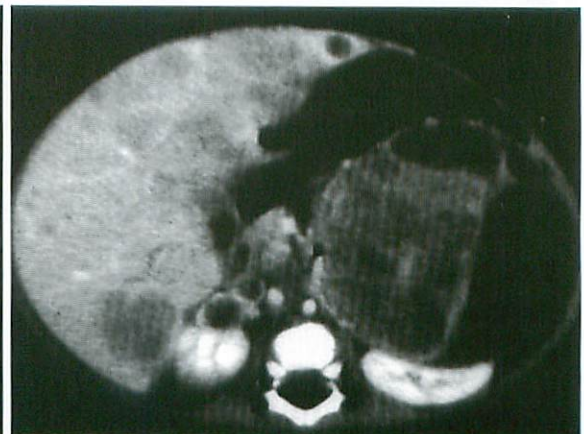


Fig.4 Neuroblastoma with hepatic involvement

A 3-month-old boy presented with abdominal distension. T2-weighted MR image (a) demonstrates bilateral adrenal tumors larger on the left. Multiple hepatic metastases are well recognized as high intensity foci. Metastatic lesions in the liver, however, are not clearly recognized on contrastenhanced CT (b). (Courtesy of Yasuo Nakajima, MD, Department of Radiology, St. Marianna University School of Medicine)

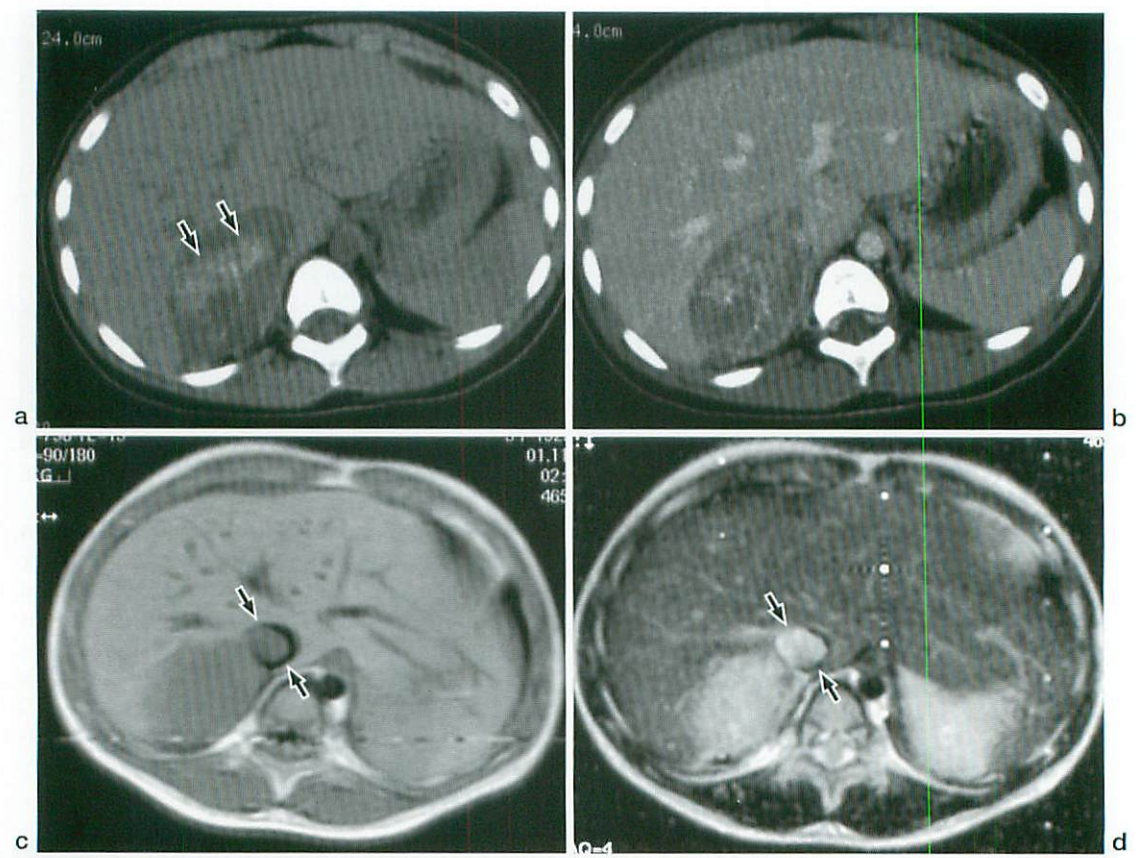


Fig.5 Adrenocortical carcinoma

A 3-year-old girl presented with virilization. Nonenhanced CT of the abdomen (a) reveals a mass in the right suprarenal region with internal calcification (arrows). Subsequent contrast-enhanced CT reveals heterogeneous enhancement of the tumor with possible extension of the tumor to the IVC. Both T1-weighted (c) and T2-weighted (d) images of the abdomen clearly demonstrate tumor as well as tumor extension into the IVC (arrows). The patient underwent surgery and the postoperative pathological diagnosis was adrenocortical carcinoma.

発巣に加え、下大静脈への進展 (Fig.5c, d) や 肝転移を描出することができる. 副腎皮質癌の 予後は不良で、外科的切除が第一選択の治療と なる.

## 褐色細胞腫 (Pheochromocytoma) 3,5)

褐色細胞腫は、小児領域ではまれである(全 体の約5%が小児に発生).神経芽腫同様,褐 色細胞腫は神経提由来で, 副腎髄質あるいは交 感神経節に発生し、カテコールアミンを分泌す る. 褐色細胞腫の約70%が副腎髄質由来で. 両 側発生は約5%で、悪性褐色細胞腫の頻度も約 5%である. 褐色細胞腫は神経線維腫症, von Hippel-Lindau病, あるいはSturge-Weber syndromeに合併する. 多発性内分泌腺腫症に 合併する褐色細胞腫は両側性で、悪性の場合が 多い。

褐色細胞腫の症状は、通常、腫瘍が分泌する カテコールアミンの作用による持続性あるいは 発作性の高血圧に起因する頭痛である。また. 褐色細胞腫は、高血圧の精査中に発見される場 合もある.

褐色細胞腫を疑った場合は、123I MIBGスキャ ンを行うとよい (保険適応外であるが)、MIBG スキャンで異常集積を認めたら次にCTかMRI を行う、もちろん、核医学検査の設備が無い場 合は、はじめにUSを行い、続いて、CTかMRI が選択される、CTで造影を行う場合は、事前

に高血圧発作に対する治療の準備をする必要が ある(一般的に、褐色細胞腫に対しては造影剤 の投与は禁忌である). 褐色細胞腫は, USや CTでも描出可能であるが、MRIは他疾患との 鑑別に役立つ。MRI T1強調画像では肝実質よ り低信号を,T2強調画像では著明な高信号を 呈する. しかしながら, 画像所見からは良悪性 の鑑別は不可能である。悪性褐色細胞腫の診断 は、肝臓、肺、骨やリンパ節などクロム親和性 細胞以外の臓器への転移がある場合に確定でき る.

褐色細胞腫に対しては, 外科的切除が第一選 択の治療法となる.

#### 腎

### 腎芽腫 (Wilms tumor) 1~3, 9, 10)

腎芽腫は胎児期の腎組織の遺残から発生する 悪性腫瘍である. 腎芽腫の約80%が1~5歳に 診断される(ピークは3~4歳)が、性差はない、 腎芽腫は腹部腫瘤を主訴に発見されることが最 も多い (75~95%). 両側性の腎芽腫の頻度は 4~13%で、多くは同時発症である。両側性腎 芽腫は,片側性の場合と比較して若年で発症し, 合併する先天奇形の頻度が高く, nephroblastomatosisの頻度が高い。 先天奇形を伴った 腎芽腫は若年で発症する傾向にある. 腎芽腫に 合併する先天奇形は、泌尿生殖器が最多(5%) で片身肥大(2.5%)と無虹彩症(1%)が続く. 泌尿生殖器の奇形ではcryptorchidismと尿道下 裂が腎芽腫を合併する頻度が高い. 腫瘍は大き い傾向にあり、偽被膜あるいは圧排された正常 腎組織に囲まれている. 腫瘍内には出血巣, 壊 死巣や嚢胞形成を伴うことが多い. 腫瘍の下大 静脈あるいは右心房への進展は約4%の頻度で 認められる. 腎芽腫の転移は腎門部あるいは大 動脈周囲のリンパ節および血行性に肺へ転移す る。治療は腎切除および術後の化学療法が主体 である、組織学的には、腎芽腫の90%が予後良 好のいわゆるfavorable histologyである。下大 静脈あるいは右心房へ進展した症例では化学療 法が先行される.

腎芽腫の画像所見としては、腹部単純写真で 側腹部の軟部腫瘤や腫瘤にともなう腸腰筋陰影 の消失と消化管ガスの圧排を認める. 腫瘤に一 致した石灰化は約9%の頻度である。排泄性尿 路造影は、所見の特異性が低く現在は造影CT で代用されている.

USでは、境界明瞭で不均一な腫瘍を認め、 壊死, 石灰化や脂肪成分の存在による, 正常腎 との境界には高エコー帯(偽被膜)あるいは低エ コー帯(圧排された正常腎組織)を認める. US では、腎静脈および下大静脈への腫瘍塞栓の評 価が可能で、特にカラードップラが役立つ.

CTは腫瘍の拡がりの評価に有用で、リンパ 節や肝への転移の評価ではUSより正確に評価 できる, 腫瘍は境界明瞭で内部は不均一である. 造影CTでは腫瘍の造影効果は正常腎組織の造 影効果より弱い(Fig.6). CTでは局所のリンパ 節腫大の有無を評価できるが、反応性リンパ節 腫大と腫瘍浸潤によるリンパ節腫大の鑑別は不 可能である. 造影CTにより腫瘍の腎静脈およ び下大静脈への進展を評価可能であるが、診断 能はUSよりやや劣る.

MRIではCT同様腫瘍の存在部位を評価でき る. 一般的に、T1強調画像で低信号、T2強調 画像で高信号と非特異的で、造影MRIでは不均

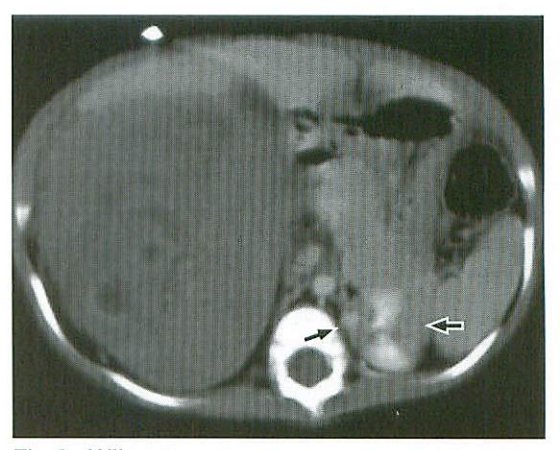


Fig.6 Wilms tumor

A 3-year-old boy presented with abdominal mass. Contrast-enhanced CT of the abdomen reveals a large mass with heterogeneous density in the region of the right kidney. Diagnosis of Wilms tumor was suggested and was confirmed by pathological analysis. Several low density foci are recognized in the left kidney suggesting focal nephroblastomatosis (arrows).

一に造影され境界をより正確に評価できる。 リ ンパ節腫大が腫瘍浸潤によるか反応性かは鑑別 困難である。MRIでは肝転移や下大静脈浸潤を 正確に評価可能である.

### 腎芽腫症 (Nephroblastomatosis1~3,9))

Nephrogenic restとは、腎芽腫への誘導発癌 能を保持した細胞群を含む異常遺残腎芽細胞の 巣状結節が出生後も存在するもので、これが多 発性あるいはびまん性に存在するのがnephroblastomatosisである. Nephroblastomatosisは、 片側性の腎芽腫においては約40%,両側性の腎 芽腫では90%以上(同時性の両側腎芽腫ではほ ぼ100%) に認められる. Nephrogenic restは腎内 での存在部位と存在様式でperilobar, intralobar, あるいはmixedに分類される. さらにnephrogenic restの分布から, unifocal, multifocal, あるいは diffuseに分類される. 組織学的にはnephrogenic restは腎芽腫と同一である.

Nephroblastomatosisの画像診断としては, まずUSが行われることが多いが、特異的な所 見に乏しい. Focal nephroblastomatosisは, US で限局した低エコー域を示し、造影CTでは限 局性低吸収域を示す (Fig.6). Diffuse nephroblastomatosisは、USでは、腎全体が腫大し、 皮髄境界不明瞭でびまん性に低エコーを示し, 造影CTでは腎全体の腫大に加え腎盂腎杯の圧 排を認める、MRIでは、いずれの場合でも、全 ての撮像条件で正常腎より低信号を示し、造影 剤を投与しても造影されない(腎芽腫は不均一 に造影されるため鑑別に役立つ可能性あり).

Nephroblastomatosisは手術時に認識困難であ るため、画像診断が極めて重要である、Nephroblastomatosisを認めた場合は厳重な経過観察と し、増大傾向があれば切除されることになる.

## 先天性中胚葉性腎腫 (Congenital mesoblastic nephroma)1~3, 9)

CMNは、新生児期にみられる腎の充実性腫 瘍としては最多で、小児腎腫瘍の3%である、 CMNは無痛性の腹部腫瘤として気づかれ、そ の平均年齢は生後3ヵ月である。CMNは男女 比が2対1で男児に多い、通常、腫瘍は大きく

(8~30cm), 正常腎のほとんどを占拠する場合 もある、腫瘍は局所では浸潤性で、境界は不明 瞭で被膜を欠く. 組織学的には腫瘍は良性の結 合織および紡錘状の細胞からなり、その間に正 常のネフロンが存在する. また、腫瘍内には出 血,嚢胞形成,あるいは壊死巣を認める.一般 的には腎門部血管や腎盂への腫瘍浸潤はない が、被膜を越える場合がある.

画像所見は上記の病理学的変化を反映したも のとなる. 胎児期に指摘される場合もあり, 胎 児USあるいはMRIで充実性の腎腫瘤を認める. 出生後、腹部単純写真では通常大きい腫瘤によ る圧排所見を呈する. US, CTおよびMRIでは 腫瘤は様々なパターンを示す(Fig.7). 造影剤 の投与により造影効果を認めるのは腫瘍内に存 在するネフロンに造影剤が排泄される場合と腫 瘍内の血流増加による場合がある.

CMNに対する治療は、腫瘍を含む腎および 周囲への腫瘍浸潤の完全摘出が基本で、通常は 術後の化学療法は必要ない.

## 腎横紋筋肉腫様腫瘍 (Rhabdoid tumor of the kidney: RTK)1~3, 9, 11)

RTKは小児期の悪性腎腫瘍の中で悪性度が最 も高く、その頻度は小児腎腫瘍の2~3%であ る、RTKの発症年齢は、ほとんどが1歳以下で、 やや男児に多い、RTKは、腎芽腫と異なり腎の 中心部から発生し腎門部に進展し、診断時に大 きい場合が多く (9cm以上), 腎実質全体におよ んでいる. 高頻度に腎静脈へ浸潤する. RTKの 肺や肝への転移は腎芽腫と同様の頻度であるが、 中枢神経系および骨格系への転移の報告がある. 原発性の中枢神経系腫瘍を合併する場合は後頭 蓋窩由来が多く、髄芽腫かPNET(primitive neuroectodermal tumor) である.

RTKの画像所見は腎芽腫に類似し、鑑別困難 な場合が多い. しかし、CTで見られる被膜下 の液体貯留、腫瘤内の出血や壊死による低吸収 域、および腫瘤周囲の石灰化はRTKを示唆する 所見である。また、腫瘍は腎の中心部に発生し 腎門部へ進展することが特徴である(Fig.8).

## 明細胞肉腫(Clear cell sarcoma of the kidney: CCSK) 1~3, 9, 11)

CCSKはこれまで、極めて悪性な腎芽腫とさ れていたが、現在は組織学的にも臨床的にも独 立した疾患と考えられている。 CCSKは小児の 腎腫瘍の約4%の頻度である. 発症年齢のピー クは腎芽腫と同様3~5歳で、男児に多い、腫 瘍は隣接する正常腎組織に浸潤性に発育する傾 向がある、 CCSKは骨転移をする傾向があり、 その頻度は70%以上で、この点が腎芽腫と異な る. CCSKに対する治療は腫瘍の切除と化学療 法が主体である.

CCSKと腎芽腫を画像所見から鑑別すること は不可能である. これらの2疾患ともにUS,

CTおよびMRIでは腎由来の不均一な腫瘤とし て認められる. 腫瘤は造影剤の投与により造影 効果を示し(Fig.9c),内部に嚢胞状の壊死巣を 認める。CCSKに高頻度に見られる骨転移は溶 骨性(Fig.9a)あるいは造骨性で、骨シンチでは 核種の集積像(Fig.9b)あるいは集積低下として 認められる.

#### 腎細胞癌(Renal cell carcinoma: RCC)2,3,9,12)

腎細胞癌は、通常成人に見られる腫瘍である が、5歳以上の小児でも遭遇する場合があり、 性差はない(全体の0.3~1.3%が小児期にみら れる)、腎細胞癌は小児の腎腫瘍のうちの2.3~ 6.6%と少ない、腎細胞癌は尿細管上皮から発 生すると考えられ、組織学的には成人に見られ





Fig.7 Congenital mesoblastic nephroma (CMN)

A 1-day-old boy with a history of an enlarged left kidney found on prenatal ultrasound and prenatal MRI (not shown). Postnatal unenhanced abdominal CT (not shown) reveals enlargement of the left kidney, Contrast-enhanced CT of the abdomen (a) shows heterogeneous enhancement of the left kidney (arrows). Postnatal axial T2-weighted MR image (b) demonstrates increased signal of the left kidney compared with the right kidney (arrows). Combining imaging findings and age of the patient, a preoperative diagnosis of congenital mesoblastic nephroma (CMN) was made. The diagnosis of CMN was confirmed by pathological analysis. (Courtesy of Yasuo Nakajima, MD, Department of Radiology, St. Marianna University School of Medicine)

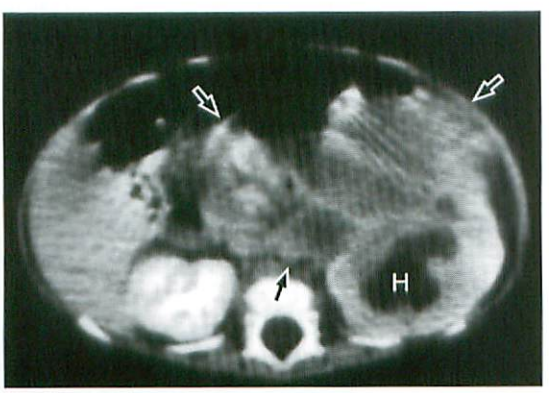


Fig.8 Rhabdoid tumor of the kidney (RTK)

A 7-month-old boy presented with an abdominal mass. Abdominal ultrasound (not shown) revealed a mass lesion arising from the left kidney associated with hydronephrosis. Contrastenhanced CT shows a mass arising from the medial aspect of left kidney (arrows). Left hydronephrosis is demonstrated (H). Patient was operated upon with a preoperative diagnosis of Wilms tumor. Pathological diagnosis was rhabdoid tumor of the kidney. (Courtesy of Yasuo Nakajima, MD, Department of Radiology, St. Marianna University School of Medicine)

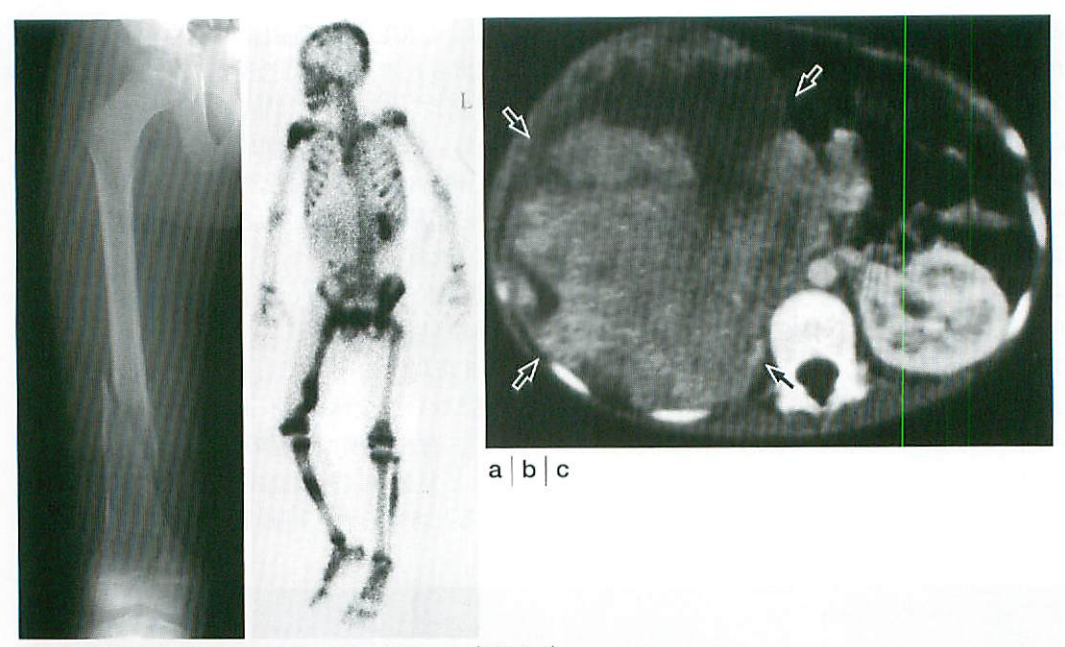


Fig.9 Clear cell sarcoma of the kidney (CCSK)

A 7-year-old boy presented with gait disturbance after minor trauma. A plain radiograph of the right femur (a) demonstrates not only spiral fracture of the distal femoral shaft but also an ill-defined radio-lucent area of the femur distal to the fracture. Diagnosis of pathological fracture of the femur was made. Anterior view of whole body bone scan (b) reveals multifocal accumulation of radiotracer in the skeletal system. Note the decreased accumulation of the radiotracer corresponding to the right kidney. Contrast-enhanced CT of the abdomen (c) demonstrates a large mass in the right kidney with heterogeneous enhancement (arrows). At surgery, right kidney was almost totally replaced by tumor. Pathological diagnosis was CCSK. (Courtesy of Yasuo Nakajima, MD, Department of Radiology, St. Marianna University School of Medicine)

る腎細胞癌と同じである. 腎細胞癌の臨床症状 は, 腫瘤触知が60%と多く, 血尿は30%である. 腫瘍は隣接するリンパ節に転移し、進展は後腹 膜を連続性に進展する. 肺、肝、中枢神経ある いは骨格系への転移は診断時に20%の症例にみ られる.

US, CTおよびMRIでは腎内の非特異的な充 実性腫瘤として認められる (Fig.10). 腎細胞 癌では石灰化の頻度が25%で、腎芽腫の5~ 15%より高頻度である (Fig.10b). 腎細胞癌で 見られる石灰化はリング状の場合もある。しか し,画像所見のみから腎細胞癌と腎芽腫を鑑別 することは困難である.

悪性リンパ腫および白血病の腎病変(Renal involvement of lymphoma and leukemia) 3, 9)

悪性リンパ腫の腎浸潤は、特に、進行した非

ホジキンリンパ腫で認める場合がある。 通常両 側腎の多発結節が典型的であるが、びまん性の 浸潤もみられる. 患児は、腎不全を呈する場合 がある. 腎不全は化学療法に起因する可能性も ある。びまん性の腎浸潤はUSでは、エコー輝度 の低下を来たし、両側性の結節も低あるいは無 エコーを示す. 造影CTでは、病変部は正常実 質部分より造影効果が弱い. 後腹膜リンパ節腫 大の存在は必発である.

白血病の腎浸潤は,両側性のびまん性腫大を 示し(Fig.11), 初診時あるいは緩解期に認めら れる.しかし、高血圧や腎不全を示すことはま れである. USおよびCTでは腎は腫大し、腎杯 は圧排され(Fig.11)、実質のエコーおよび濃度 は異常を呈する.

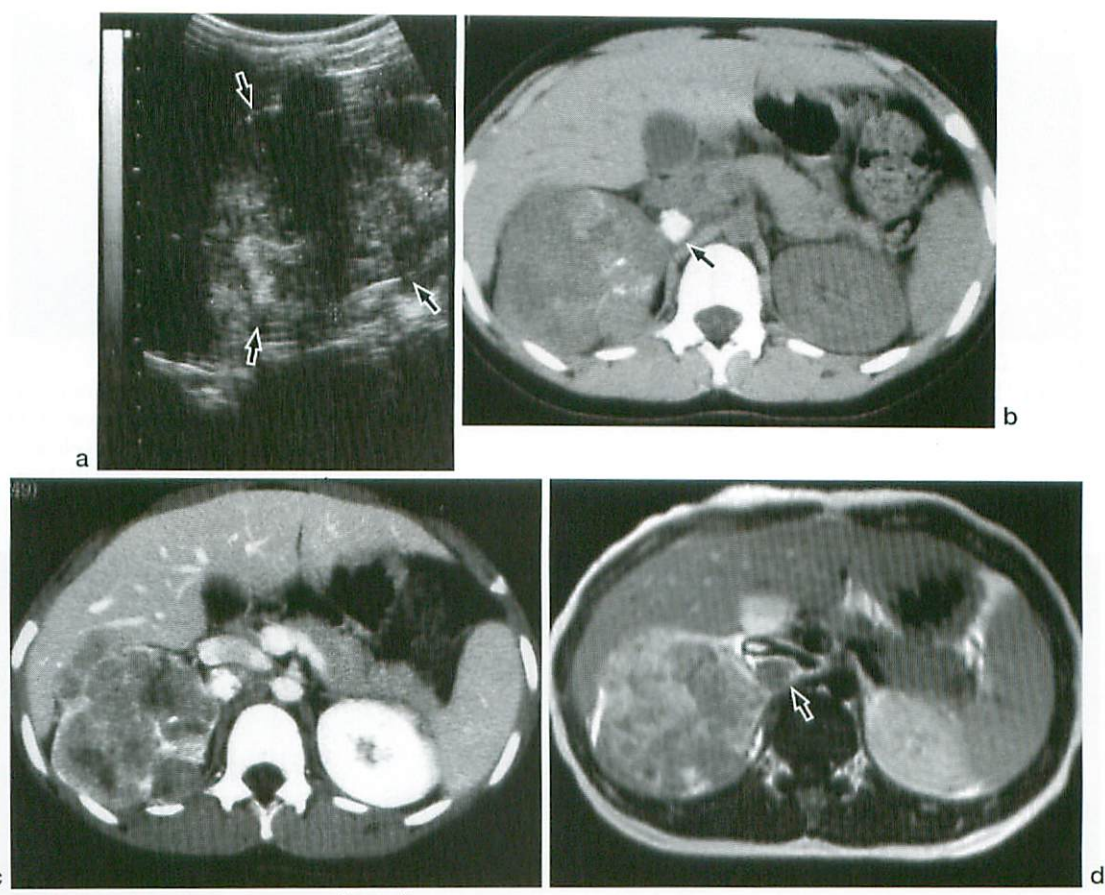


Fig.10 Renal cell carcinoma (RCC)

A 9-year-old girl presented with macrohematuria and abdominal pain.

A longitudinal view of the abdominal ultrasound (a) reveals a mass with heterogeneous internal echo in the upper pole of the right kidney (arrows). Noncontrast CT of the abdomen (b) shows enlargement of the right kidney in association with faint calcification in the enlarged kidney. A calcified paracaval node is also noted (arrow). Contrast-enhanced CT of the abdomen (c) demonstrates heterogeneous enhancement of the mass. Contrast-enhanced axial T-1 weighted MRI (d) reveals heterogeneous enhancement of the mass. The enlarged paracaval node is well demonstrated (arrow).

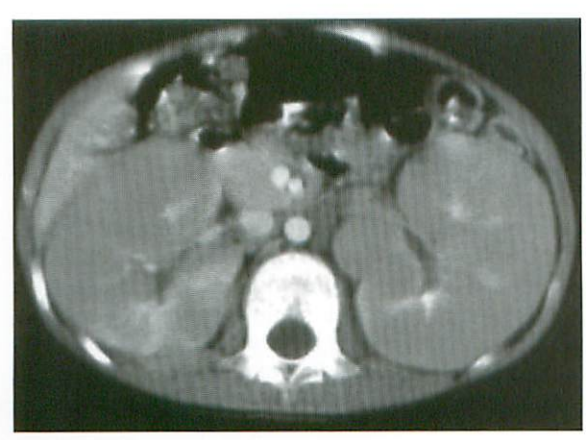


Fig.11 Leukemic infiltration of the kidney

A 5-year-old boy underwent abdominal CT for the initial evaluation of acute lymphocytic leukemia. Contrast-enhanced CT of the abdomen reveals diffuse enlargement of both kidneys with heterogeneous parenchymal enhancement.

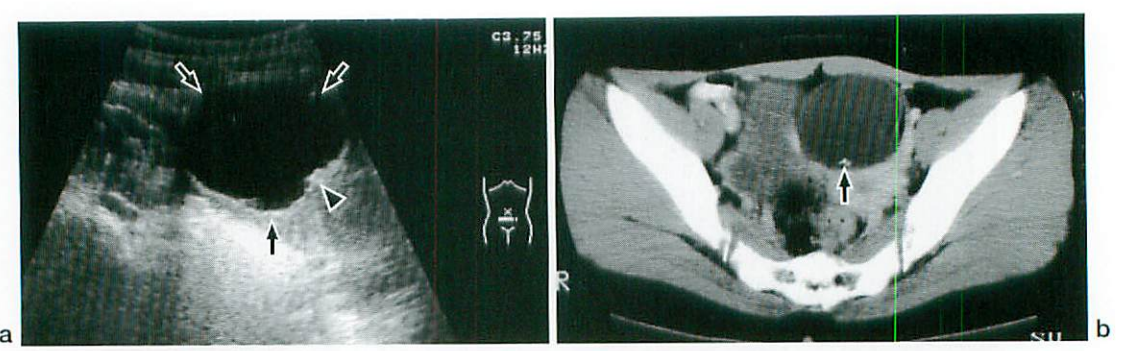


Fig.12 Dermoid cyst of the ovary

An 11-year-old girl with lower abdominal pain. A transverse view of US of the lower abdomen (a) demonstrates a well defined cystic mass (arrows) with echogenic focus (arrowhead). Subsequent CT (b) reveals a well defined cystic mass containing a focus of fat density structure as well as a small focus of calcification (arrow). (Courtesy of Yasuo Nakajima, MD, Department of Radiology, St. Marianna University School of Medicine)

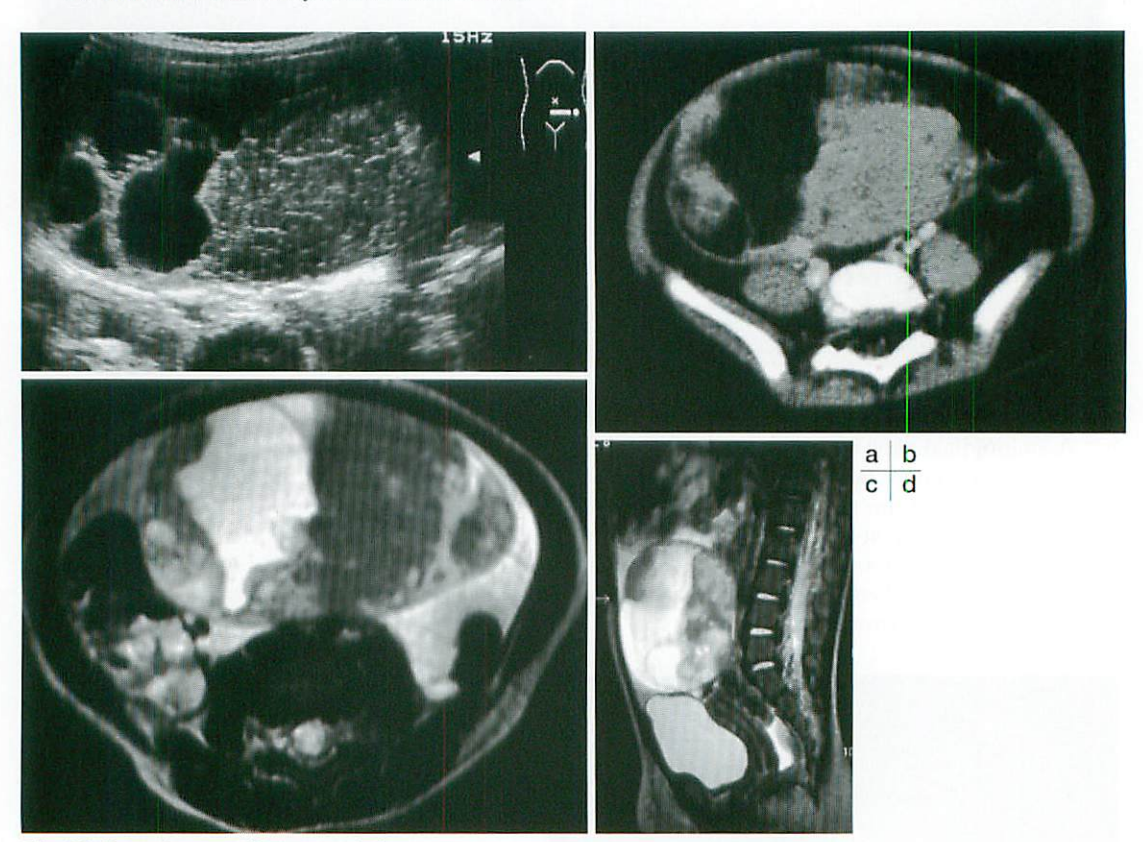


Fig.13 Granulosa cell tumor of the ovary

An 18-month-old girl presented with genital bleeding and abdominal distention. Abdominal US (a) and contrast-enhanced CT (b) reveal a large mass with both solid and cystic compornents in the mid and lower abdomen. An axial T2-weighted MR image (c) reveals a large mass with heterogeneous intensity. Configuration of the mass seen on MRI is similar to that of contrast-enhanced CT. A sagittal T2-weighted MR image (d) demonstrates a large well defined mass with heterogeneous intensity. The configuration of the uterine body shows that of an adult. (Courtesy of Yasuo Nakajima, MD, Department of Radiology, St. Marianna University School of Medicine)

#### 卵巢

#### 卵巣腫瘍 (Ovarian tumor)<sup>2, 3, 13)</sup>

小児領域の卵巣腫瘍はその65~80%が良性で ある. 良性腫瘍で最も頻度が高いのは胚細胞由 来の類皮嚢胞腫(Fig.12)である. 嚢胞腺腫の頻 度はむしろ少ない。 卵巣悪性腫瘍は小児悪性腫 傷の 1~2%である。 卵巣悪性腫瘍は胚細胞由来 が60~90%, 間質由来 (Sertoli-Leydig腫瘍, 顆 粒膜細胞腫(Fig.13)および未分化腫瘍)が10~ 12%、上皮性の癌が 5~10%である、悪性の胚 細胞腫瘍は頻度の高い順に、未分化胚細胞腫、 未分化(Fig.14) または悪性奇形腫、卵黄嚢腫瘍 (endodermal sinus tumor), 胎児性癌, および 絨毛癌である.

思春期の卵巣腫瘍は、通常無症候性の骨盤内

あるいは腹部腫瘤として発見される。顆粒膜細 胞腫は性早熟で, Sertoli-Leydig腫瘍は男化徴候 で発見される、AFP (α-fetoprotein) は卵黄嚢 腫瘍で上昇し、hCGは胎児性癌で上昇する.

卵巣の腫瘤性病変が疑われた場合は、 簡便か つ多断面での評価が可能なUSが行われる. US では腫瘤内容の評価が可能である。USで悪性 を疑う所見は, 充実部分が主体であること, 中 心部壊死、厚い隔壁、乳頭状成分の存在などで ある. CTおよびMRIは腫瘤の性状およびその 拡がりを評価できる点でUSを凌ぐ、通常、腫 傷の局所の進展の評価はCTで十分であるが、 CT所見が明確でない場合はMRIが役立つ。腫 傷内の出血成分や脂肪成分はMRIで容易に認識 できる.

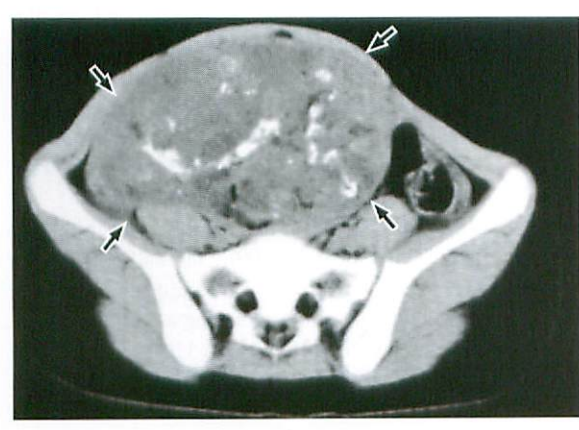
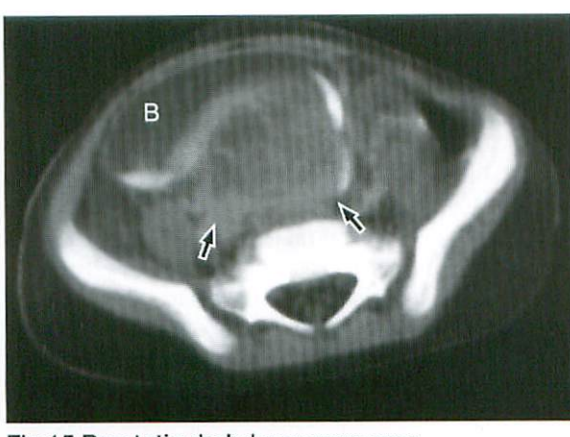


Fig.14 Immature teratoma of the ovary

A 9-year-old girl presented with a lower abdominal mass. Contrast-enhanced CT of the lower abdomen demonstrates a large mass lesion (arrows) in the lower abdomen containing soft tissue component, calcification and fat density structure. (Courtesy of Yasuo Nakajima, MD, Department of Radiology, St. Marianna University School of Medicine)



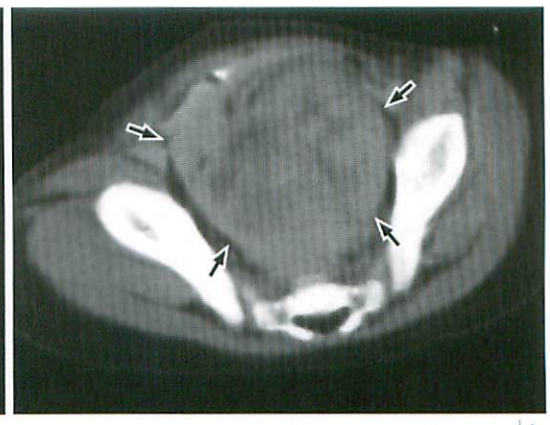


Fig.15 Prostatic rhabdomyosarcoma

A 3-year-old boy presented with abdominal pain and incontinence. Abdominal US (not shown) demonstrated a mass in the presacral region. Contrast-enhanced CT images of the lower abdomen (a, b) reveal a mass with heterogeneous attenuation in the pelvic cavity (arrows). Note the anterior displacement of the bladder (B).

## その他

## 横紋筋肉腫 (Rhabdomyosarcoma)3)

横紋筋肉腫は、小児領域の軟部組織肉腫の中で最も頻度が高い、横紋筋肉腫は、小児領域で見られる、中枢神経を除いたあらゆる臓器・組織から発生する唯一の腫瘍である。横紋筋肉腫は小児の全充実性腫瘍のうち、約10%の頻度で、通常極めて悪性で、局所浸潤、早期再発、血行性あるいはリンパ行性転移を認める。横紋筋肉腫は性差なく、2~6 歳あるいは14~18歳に多く見られる。

横紋筋肉腫は病理学的に, embryonal type, alveolar type, embryonal-botryoid type, pleomorphic type, undifferentiated typeに分類される。小児では, embryonal typeの頻度が高く, この型は最も予後がよい。同一腫瘍内に様々な組織型が混在することもある。

小児領域の横紋筋肉腫の発生部位は、骨盤および泌尿生殖器が約40%、頭頸部が約30%である。泌尿生殖器のなかには、上下部尿路、前立腺、精索、精巣、精巣上体、陰茎、膣、子宮、骨盤底、および会陰が含まれる。初発症状は腫瘍の発生部位により異なる。尿路系では腫瘍の存在部位に応じた閉塞症状や血尿が主たる症状となる。前立腺原発の場合は排尿障害、尿閉あるいは隣接臓器である直腸や下部尿管の閉塞症状を呈する。膣原発では、帯下、出血、膣内腫瘤あるいは腫瘤の膣外への脱出を認める。

画像診断所見は、腫瘍の発生部位に応じて異なる、尿路系の横紋筋肉腫は腎臓から外性器まであらゆる部位に出現するが、膀胱原発が最も多く、膀胱三角部あるいは膀胱頸部に認められる、膀胱原発の横紋筋肉腫に対する画像診断としては、先ずUSが行われるが、腫瘍の進展範囲の正確な評価にはCTまたはMRIが行われる、これらの断層画像診断および排泄性膀胱尿道造影(VCUG)では、膀胱内の分葉状腫瘤および様々な程度の膀胱壁肥厚を認める、膀胱の病変については、男児では前立腺原発の腫瘤と、女児では膣原発の腫瘤と鑑別困難な場合がある。前立腺原発の横紋筋肉腫は、US、CTあるいは

MRIで膀胱を外方から圧排・変位させる所見を認める(Fig.15)が、膀胱内腔に浸潤する場合もある。膣原発の横紋筋肉腫は女児の外陰部腫瘍では最多である。通常、腫瘍は膣上部1/3の前壁から発生し、膣内腔に発育するとともに、膀胱あるいは子宮頸部に進展する。これらの所見は、CTあるいはMRIで描出される。

#### ★文献

- Wootton SL: The child with an abdominal mass. Practical pediatric radiology (1 ed), Ed by Hilton SvW and Edwards DK. Philadelphia, W.B. Saunders Company, 1994, p357-388.
- 野坂俊介:腹部腫瘤,すぐわかる小児の画像 診断(第1版),荒木 力,原 裕子編,東京, 秀潤社,2001,p276-305.
- Barnewolt CE, Paltiel HJ, Lebowitz RL, et al: Genitourinary tract. Practical Pediatric Imaging (3 ed). Ed by Kirks DR. Philadelphia, Lippincott-Raven Publishers, 1998, p1009-1170.
- 4) 正木英一:神経芽腫における<sup>123</sup>I MIBGシンチ グラフィの有用性. 日本小児放射線学会雑誌 1995;11:22-33.
- Abramson SJ: Adrenal neoplasm in children. Radiol Clin North Am 1997; 35: 1415-1453.
- Yamamoto K, Hanada R, Tanimura M, et al: Natural history of neuroblastoma found by mass screening. Lancet 1999; 349: 1102.
- 石本浩市, 菊地正悟:神経芽腫マス・スクリーニングの問題点. 小児科診療 1999;62:1199-1203.
- 8) Nishihira H, Toyoda Y, Tanaka Y, et al: Natural course of neuroblastoma detected by mass screening: a 5-year prospective study at a single institution. J Clin Oncol 2000; 18: 3012-3017.
- Geller E, Smergel EM, Lowry PA: Renal neoplasms of childhood. Radiol Clin North Am 1997; 35: 1391-1413.
- 10) Taybi H: Syndrome. Handbook of sydromes and metabolic disorders (1 ed), Ed by Taybi H. St. Louis, Mosby-Year Book, Inc., 1998, p.1-231.
- 11) 生駒憲昭, 岩崎善衛, 野坂俊介, 他: まれな 小児腎腫瘍. 臨放 1989; 34: 219-225.
- 12) Chan HSL, Daneman A, Gribbin M, et al: Renal cell carcinoma in the first two decades of life. Pediatr Radiol 1983; 13: 324-328.
- Siegel MJ: Pelvic tumors in childhood. Radiol Clin North Am 1997; 35: 1455-1475.

## 原著論文

# MRAを用いたImpalpable testisの部位診断法

佐藤嘉治,吉田英生,松永正訓,幸地克憲,大塚恭寛,菱木知郎, 照井慶太,光永哲也,大沼直躬 千葉大学医学部 小児外科

## Evaluation of Impalpable Testis with MRA Imaging

Yoshiharu Satoh, Hideo Yoshida, Tadashi Matsunaga, Katsunori Kouchi, Yasuhiro Ohtsuka, Tomoroh Hishiki, Keita Terui, Tetsuya Mitsunaga, Naomi Ohnuma Department of Pediatric Surgery, School of Medicine, Chiba University

Abstract Cryptorchidism is a common childhood condition. Approximately 20% of undescended testes are impalpable. Preoperative localization of impalpable testes is most important because different methods of treatment are required. Present methods of preoperative investigation, (ultrasound, CT, and MRI) are not successful. We tried to localize impalpable testes by MRA imaging of the plexus pampiniformis in the current study. MRA could detect atrophic and canalicular testes near the internal inguinal ring which were not detected by MRI. If the plexus pampiniformis is not detected, we must suspect absence of testis or intra-abdominal testis and examine by laparoscopy.

Keywords

MRA, Impalpable testis, Undescended testis

#### はじめに

小児外科領域において、停留精巣は比較的よく遭遇する疾患である。外来診療の中で殆どの停留精巣が精巣を鼠径管内に触知することが出来るが、丁寧な触診を行っても精巣を触知出来ないimpalpable testisをしばしば経験する。このimpalpable testisの頻度は約20%1)といわれてる。治療に関しては腹腔内精巣や鼠径管高位の停留精巣では二期的手術を行うことがあり、術式を選択する上で精巣の部位を知ることは重要と思われる。当科では丁寧な触診や超音波検

査ではわからないimpalpable testisの部位診断法としてMRI検査を施行してきたが、高度に萎縮した精巣や腹腔内精巣では描出が難しかった。そこで、我々は通常のMRIでは描出できなかったimpalpable testisに対してMRAを用いて、部位診断の有用性を検討したので報告する。

#### 対象と方法

期間:1999年2月~2000年2月

症例:通常のMRIで冠状・水平断を撮像し精

巣を同定できなかったimpalpable testis 4 例

装置:GE社製, Signa 1.5 T

原稿受付日:2001年8月18日,最終受付日:2001年10月9日

別刷請求先:〒260-8677 千葉市中央区亥鼻1-8-1 千葉大学医学部 小児外科 佐藤嘉治

撮像法: 3D fast SPGR

撮影条件:TE/TR 6.3/1.5, flip angle 30°, slice厚 4.0mm, gap 2mm

造影剤: Gadolinium-DTPA-BMA(オムニスキャン®)

注入法:0.3mmol/kgを1.5ml/secの速度で経 静脈投与

撮像時期:注入開始後10~20秒後より撮像開始し,1 phase 20~30秒で2 phaseを息止め無しで冠状断を撮像した。

鎮静方法:検査30分前にエスクレ座薬® (一般名:抱水クロラール) を30~50mg/kgを経直 腸投与し, 検査直前にミダゾラム0.2~0.3mg/kg, ケタラール 1 mg/kgを経静脈投与した.

判定方法:蔓状静脈叢と精巣動脈の走行が高

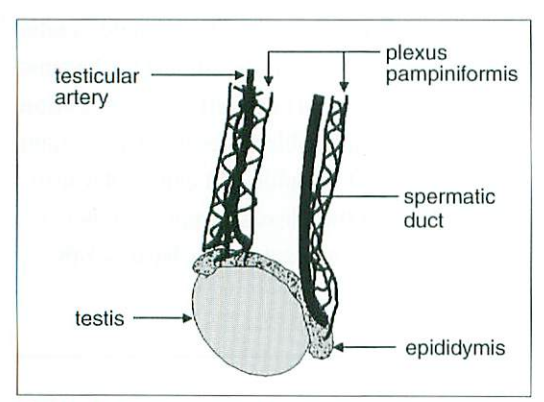


Fig.1 Lateral view of the plexus pampiniformis and testicular artery.

信号に描出されることで精巣の位置を同定した (Fig.1). また、精巣の状態や部位については、 全て鼠径部アプローチの精巣固定術又は腹腔鏡 検索にて確認した。

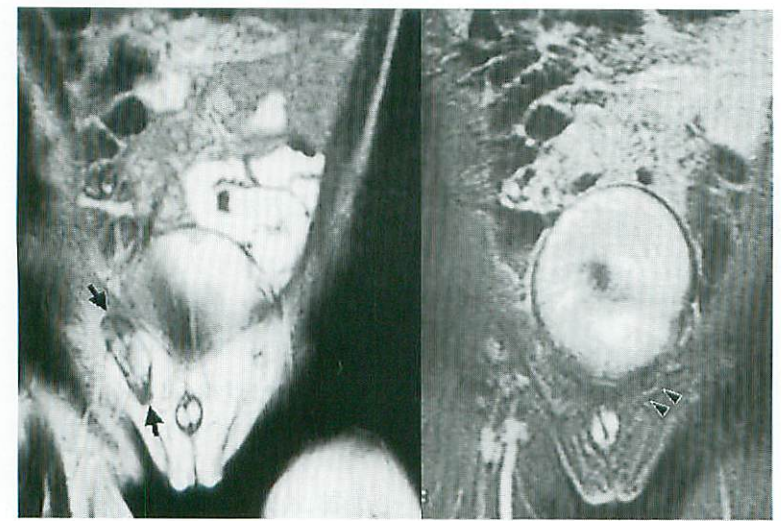
#### 結 果

症例1:2歳,両側停留精巣(左側:impalpable testis,右側:鼠径管高位に触知).右停留精巣は矢印の箇所にT2強調画像にて高信号に描出されていたが、左側精巣は描出されなかった(Fig.2a).静脈相のMRAでは矢頭の箇所に蔓状静脈叢が高信号に描出されていた(Fig.2b).以上の結果より左鼠径管内萎縮精巣の術前診断を得て、鼠径部アプローチの手術を行った。左精巣は鼠径管高位に位置し高度に萎縮しており、MRA所見と一致した。

**症例 2**:1 歳,左側停留精巣 (impalpable testis). 矢印は正常な右精巣で,左側精巣はMRIでは描出されなかった (Fig.3a).

静脈相のMRAでは、正常な右精巣の蔓状静脈 叢は描出されていたが、左側は描出されなかっ た(Fig.3b)、術前診断は左精巣無形成又は腹 腔内精巣であったため腹腔鏡検索を行った。左 側の精管は後腹膜に変位し血管は内鼠径輪付近 で途絶しており、左精巣無形成の診断を得た。

**症例 3**:1 歳,左側停留精巣 (impalpable testis). 矢印は正常な右精巣で,左側は矢頭の

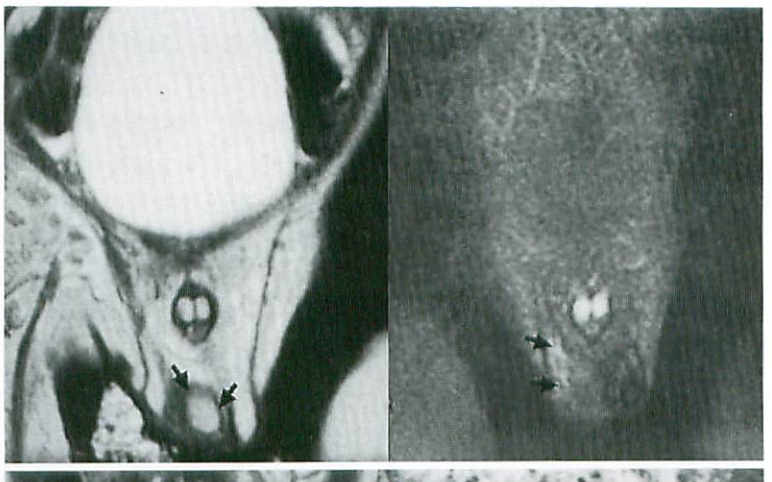


a b

- Fig.2 A 2-year-old boy with left impalpable testis and right palpable undescended testis
  - a: Coronal T2 weighted image shows right undescended testis (arrows).
  - b: MRA (coronal image) shows left plexus pampiniformis(arrowheads).

箇所に精巣様構造物を認めたが、近傍の点線で 示した矢印にも同様の構造物を認め(Fig.4a) リンパ節との区別のためMRAを行った。静脈相 のMRAでは矢印の箇所に正常な右精巣の蔓状

静脈叢が描出され、矢頭の箇所に左の蔓状静脈 叢が描出された. 点線で示した矢印の箇所は血 管の描出はなくリンパ節と判断した (Fig.4b). 以上の結果より左鼠径管内萎縮精巣の術前診断

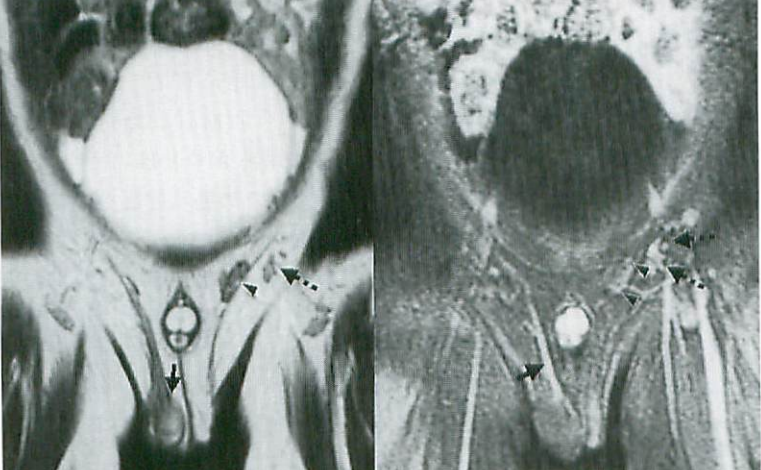


a b

#### Fig.3 A 1-year-old boy with left impalpable testis

- a: Coronal T2 weighted image shows right normal testis (arrows).
- b: MRA (coronal image) shows the right plexus pampiniformis (arrows) and does not show the left.





### Fig.4 A 1-year-old boy with left impalpable testis

- a: Coronal T2 weighted image shows right normal testis (arrow) and two images like the left testis (arrowhead and dotted arrow).
- b: MRA (coronal image) shows right (arrow) and left (arrowheads) plexus pampiniformis, and a lymphatic node (dotted arrows).

a b

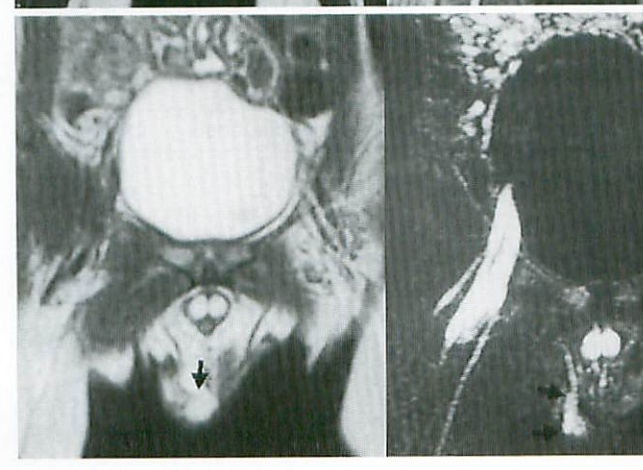


Fig.5 A 1-year-old boy with left impalpable testis

- a: Coronal T2 weighted image shows right normal testis (arrow).
- b: MRA (coronal image) shows the right plexus pampiniformis (arrows) and does not show the left.

を得て鼠径部アプローチの手術を行った。 左鼠 径管高位に中等度萎縮精巣を認め、MRA所見 と一致した.

症例 4:1 歳, 左側停留精巣 (impalpable testis). 矢印は正常な右精巣で, 左側精巣は MRIでは描出されなかった (Fig.5a). 静脈相 のMRAでは、正常な右精巣の蔓状静脈叢は描 出されていたが、左側は描出されなかった (Fig.5b) 術前診断は左精巣無形成又は腹腔内 精巣であったため、腹腔鏡検索を行った。左側 の精管,血管とも内鼠径輪付近で途絶しており、 左精巣無形成の診断を得た.

各症例の詳細を表にしてみた (Table 1). 症 例1と3では、MRA検査にて蔓状静脈叢が描 出されており高度萎縮精巣に対しては除睾術、 中程度萎縮精巣に対しては固定術を施行した. 症例2と4では、MRA検査では蔓状静脈叢の 描出はできなかったが、腹腔鏡検索の結果、内 鼠径輪付近で血管が途絶した精巣無形成であっ た

また、いずれの症例も動脈相では血管系の描 出は不十分であった. 内鼠径輪付近に血管を確 認できた精巣無形成例では蔓状静脈叢を描出で きなかった.

## 考察

Impalpable testisに対する超音波, CT, MRI 検査などの正診率は高くても約70%<sup>2)</sup>であり、 正診率の良いMRI検査でも鼠径管高位の停留精 巣や極度に萎縮した精巣に対しては50%<sup>3)</sup>と低 い、impalpable testisの部位をMooreらの分類 (Fig.6)<sup>4)</sup> を用いると大きく4つに分けられる. このうち 1-a 以外のタイプがimpalpable testis の半分以上を占める5,6)。しかも、手術法の選 択がそれぞれ異なるため、術前の部位診断が重 要となる。しかし、1-a 以外は通常のMRIで描 出するのは困難だと思われる. MRIが精巣のみ で部位診断をしているのに対して、MRAは精 巣への血管系(精巣動静脈、蔓状静脈叢)を描 出することで部位を同定する手法を用いてい る. 今回の結果より、MRAは通常のMRIでは 描出できない鼠径管内の高度萎縮精巣を同定す るのに有用であった。ただし、腹腔鏡検索で精 巣への血管を認めたにも関わらず精巣無形成例 では、MRAでも同定は困難であった。我々の 行ったMRAによる部位診断は精巣動脈の描出 が困難なため蔓状静脈叢の描出を用いた. 従っ て, 蔓状静脈叢が未発達と推測される精巣無形 成例では描出できなかったものと思われる. MRAが腹腔内精巣の同定に有用であったとす る報告7) もあるが、今回検討した症例では腹 腔内精巣がないためはっきりとは言えないが、 腸管との重なりがあるため蔓状静脈叢の描出は 困難と思われる.

そこで、蔓状静脈叢の描出が認められない例 では精巣無形成、腹腔内精巣を念頭に腹腔鏡に よる検索が必要と思われる.

#### まとめ

MRAはMRIでは描出が難しい鼠径管高位や,

Table 1 The findings and the diagnosis of 4 cases

No.	The findings of MRA	preoperative diagnosis	postoperative diagnosis	procedure
1	plexus pampiniformis at high level of inguinal canal	atrophic testis at inguinal canal	same as left	castration
2	no plexus pampiniformis at inguinal canal	intra-abdominal testis or aplasia	aplasia	laparoscopic examination
3	plexus pampiniformis at high level of inguinal canal	atrophic testis at inguinal canal	same as left	orchiopexy
4	no plexus pampiniformis at inguinal canal	intra-abdominal testis or aplasia	aplasia	laparoscopic examination

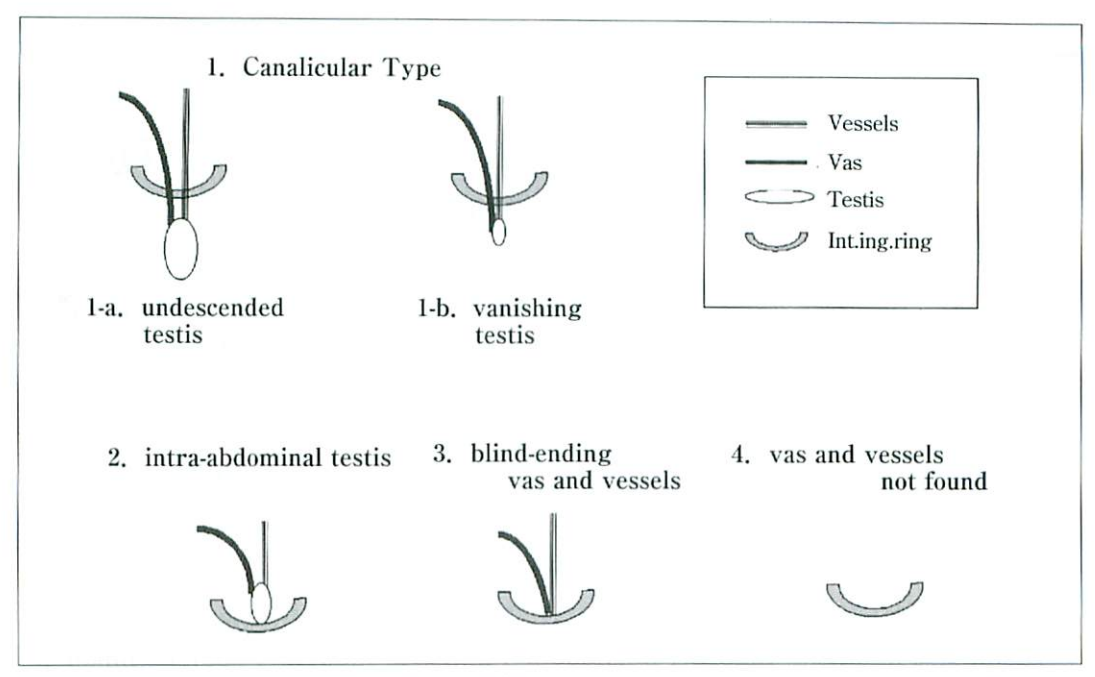


Fig.6 The classification of impalpable testis

高度に萎縮した精巣の部位診断に有用であった。ただし、蔓状静脈叢が描出されない例では 精巣無形成や腹腔内精巣を疑って腹腔鏡による 検索を併用することが必要と思われた。

#### **油文献**

- Kier R, McCarthy S, Rosenfield AT, et al: Nonpalpable testes in young boys: Evaluation with MR imaging. Radiology 1988; 169: 429-433.
- 黒川泰史: Impalpable testisの腹腔鏡診断. 小 児外科1998;30:596-600.
- 3) 窪田正幸,水田祥代,山中清一郎:停留睾丸 症例におけるMRIの有用性.小児外科 1994; 26:651-657.

- Moore RG, Peters CA, Buer SB, et al: Laparoscopic evaluation of the nonpalpable testis: a prospective assessment of accuracy. J Urol 1994; 151: 728-731.
- Cortes D, Thorup JM, Lenz K, et al: Laparoscopy in 100 consecutive patients with 128 impalpable testes. British J Urology 1995; 75:281-287.
- 6) 寺島和光、山崎 彰、穂坂正彦: Nonpalpable testis 123例の検討。日小外会誌 1985; 21:841-843.
- Wendy WM, Paul KH, Ai VHG, et al: Gadolinium-Infusion Magnetic Resonance Angiogram: A New, Noninvasive, and Accurate Method of Preoperative Localizaton of Impalpable Undescended Testes. J Pediatr Surg 1998; 33: 123-126.

## 症例報告

# バルーン拡張併用経皮経胃嚢胞ドレナージが 有用であった膵仮性嚢胞の1例

宮崎 治,野坂俊介³),宮坂実木子³),中山睦子³),今西好正,山内栄五郎,川口文夫¹),新開統子¹),宮本雄策²)

聖マリアンナ医科大学横浜市西部病院放射線科,同小児外科<sup>1)</sup>,同小児科<sup>2)</sup> 聖マリアンナ医科大学放射線医学教室<sup>3)</sup>

Percutaneous Cystgastrostomy and Balloon Dilatation for a Pediatric Patient with Pancreatic Pseudocyst. —A case report—

Osamu Miyazaki, Shunsuke Nosaka<sup>3)</sup>, Mikiko Miyasaka<sup>3)</sup>, Mutsuko Nakayama<sup>3)</sup>, Yoshimasa Imanishi, Eigoro Yamanouchi, Fumio Kawaguchi<sup>1)</sup>, Touko Shinkai<sup>1)</sup>, Yuusaku Miyamoto<sup>2)</sup>

Dept. of Radiology, Pediatric surgery <sup>1)</sup> and Pediatrics <sup>2)</sup>, St. Marianna University Yokohamashi Seibu Hospital Dept. of Radiology, St. Marianna University School of Medicine <sup>3)</sup>

Abstract We report a case of a 10-year-old male who underwent percutaneous cystgastrostomy and balloon dilatation for treatment of recurrent pancreatic pseudocyst. He had been suffered from epilepsy due to viral encephalitis at about two years of age.

A large pancreatic pseudocyst was found incidentally by abdominal CT performed for evaluation of liver dysfunction.

Percutaneous cystgastrostomy was carried out under endoscopic and CT guidance because the size of pseudocyst seemed to be enlarged on follow-up CT. Connection between pseudocyst and pancreatic duct was identified by fistulography. We therefore tried to do balloon dilatation at the posterior wall of stomach but failed.

Approximately 2 months after extubation of drainage tube, recurrence of pseudocyst was diagnosed by follow-up CT.

Percutaneous cystgastrostomy was repeated. Firstly, balloon dilatation of posterior wall of stomach which failed in the initial trial, was done before the placement of the drainage catheter. Then, additional balloon dilatation was carried out two weeks after the procedure. There has been no recurrence of pseudocyst since removal of the drainage tube. Here we discuss the relationship between pancreatitis and many anticonvulsant drugs. We stress that percutaneous cystgastrostomy with balloon dilatation is a useful procedure for recurrent pancreatic pseudocyst.

Keywords Pancreatic pseudocyst, Percutanous cystgastrostomy, Children, Balloon dilatation

原稿受付日:2001年7月10日,最終受付日:2001年8月24日

別刷請求先: 〒241-0811 横浜市旭区矢指町1197-1

聖マリアンナ医科大学横浜市西部病院放射線科 宮崎 治

## はじめに

今回我々は脳性麻痺患児に発症した膵炎後の 仮性膵嚢胞に対し、バルーン拡張術を併用した 経皮経胃仮性嚢胞ドレナージを施行したので報 告する.

## 症 例

症例:10歳男児

主訴:けいれん重積、肝機能異常、不明熱

(37.5度前後)

既往歴:平成11年12月中旬に頭痛,発熱,けいれん重積発作があり,近医受診後に当院へ転送.けいれんの原因はウイルス性脳炎が疑われたが,脳炎の原因は明らかにできなかった.けいれんのコントロールは不良であり,症候性てんかんに移行し,当院小児科病棟に入院中で

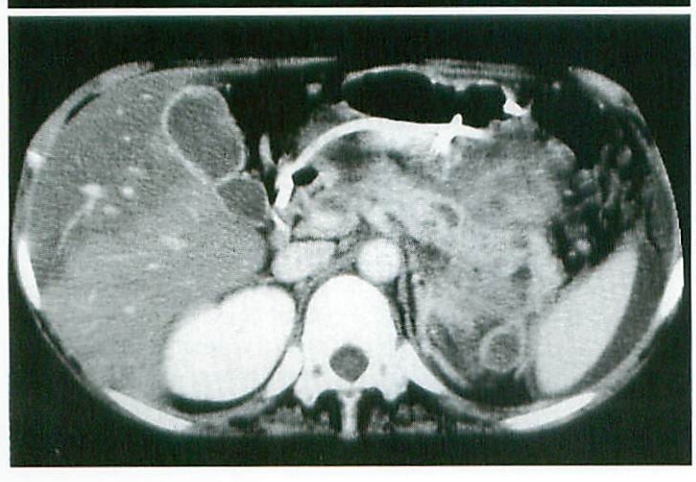
あった.

家族歴:特記事項なし

起始経過:血液生化学データ上肝機能異常(総ビリルビン 1.2 mg/dℓ, AST 262 IU/ℓ, ALT 220 IU/ℓ, LDH 550 IU/ℓ, ALP 1625 IU/ℓ, γ GPT 1975 IU/L) を認めたため、定期的に腹部CTが施行され、脂肪肝あるいは薬剤性のびまん性肝障害が疑われていた。平成12年12月26日に施行されたフォローアップの腹部単純CTにて、以前にはみられなかった左上腹部の嚢胞性病変が出現し、翌年1月17日に施行された造影CT (Fig.1)では嚢胞は増大傾向を示し、膵の腫大、膵内の低吸収域、膵周囲の後腹膜脂肪織の濃度上昇および腹水の出現を認めた。CT上急性膵炎にともなう膵仮性嚢胞の形成と診断した。血液データ上は白血球12,000/μℓ, CRP 19.8mg/dℓと炎症所見を認め、アミラーゼは346



a b



- Fig.1 Pseudocyst and acute pancreatitis diagnosed by contrast enhanced abdominal CT
  - a: Note pancreatic pseudocyst as an oval shaped low density area between stomach and spleen. There is a gastrostomy tube in the stomach (arrow). Right lobe of liver shows a segmental low density area.
  - b: Note the inhomogenous retroperitoneal fat density around pancreas. Also, pancreatic parenchyma shows multiple small cystic components.

IU/ℓ (正常値55~175 IU/ℓ), 膵由来アミラーゼは108 IU/ℓ (正常値22~70 IU/ℓ) と高値を示し膵炎が示唆された. また持続する不明熱は膵炎と膵仮性嚢胞の感染が原因と考えられた. CT上膵仮性嚢胞は増大し, 抗生剤投与等の内科的治療後も炎症の改善は見られず, 経皮的嚢胞ドレナージの適応と考えられた.

平成13年1月29日に全身麻酔下,内視鏡ガイド下,およびCTガイド下にて経皮経胃膵嚢胞ドレナージを施行した(Fig.2). 患児はすでに胃瘻が造設してあったため胃壁固定は行わず,内視鏡にて送気し胃壁を腹壁に密着させ,皮膚マーカーを付けて位置決めを行い,18ゲージのPTCD針にて穿刺後,8Fr.のピッグテール型ドレナー

ジチューブ (ユレシル社製) を留置した. 初回ドレナージ排液のアミラーゼは5750 IU/ℓと高値を示し,嚢胞内の高濃度の膵液貯留が疑われた. その後白血球とCRPの軽度上昇は持続したが,膵嚢胞は縮小し血液データ上アミラーゼは正常化した. 同年3月5日(ドレナージチューブ留置より35日目)に瘻孔造影を施行すると,嚢胞と主膵管との交通が確認されたため,透視下に胃後壁の貫通部のバルーン拡張を試みたが,ガイドワイヤーが逸脱したためドレナージチューブを抜去した. その後経過中CTにて膵嚢胞の再発は認めなかったが,穿刺から約2ヵ月後のCT (Fig.3) にて,胃内側に13×8cm大の仮性嚢胞が再発した. このため同年5月21日

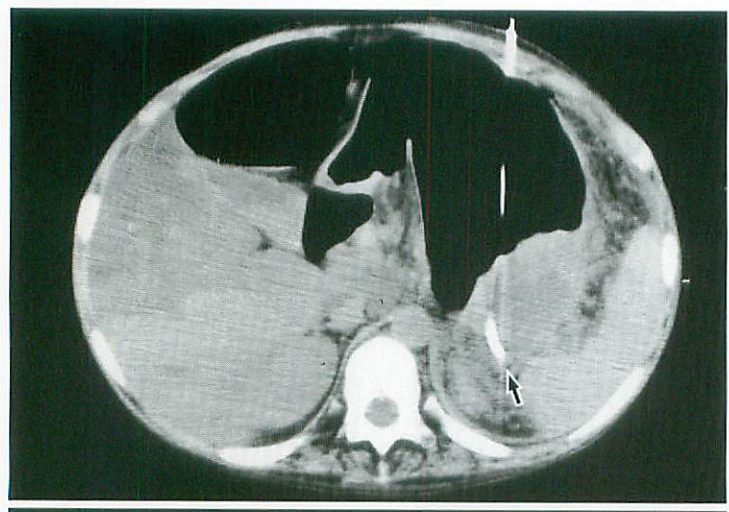


Fig.2 Percutaneous cystgastrostomy under CT guidance 8Fr. pig-tail catheter is placed. Note tip of catheter in pseudocyst (arrow).

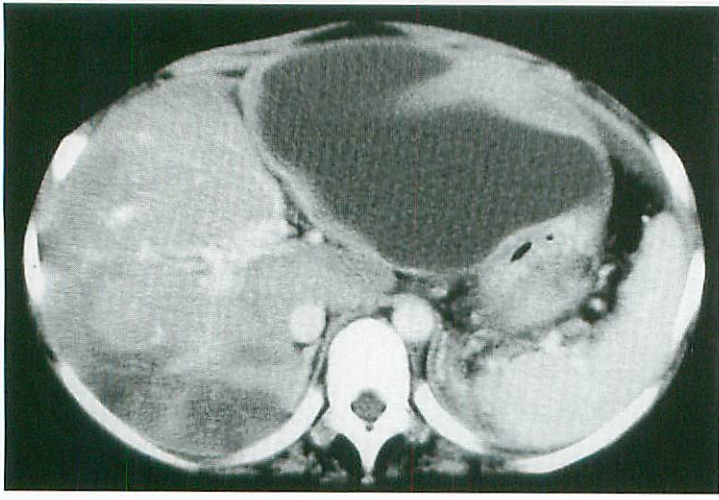


Fig.3 Recurrence of pseudocyst

Note large cystic lesion in medial side of stomach as a recurrence of pancreatic pseudocyst. It seems to be different in origin compared to initial pseudo cyst.

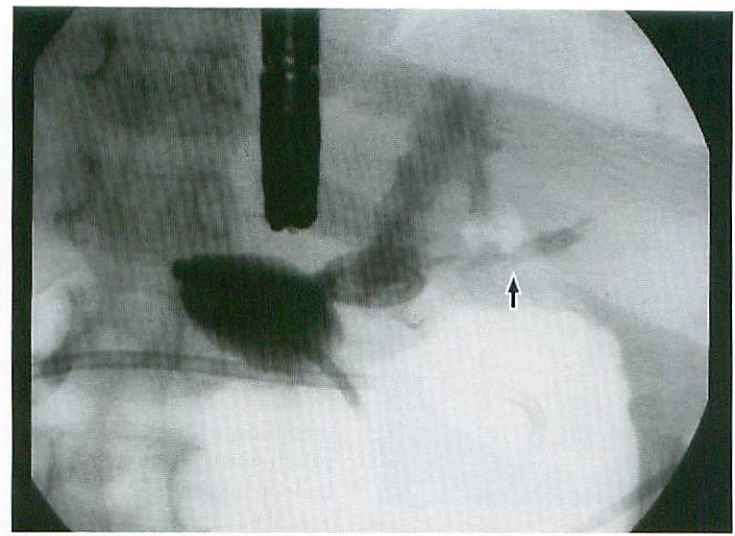


Fig.4a Fistulography
Pancreatic duct (arrow) is
contrasted by fisutulography.
Connection between pseudocyst and pancreatic duct is

established.

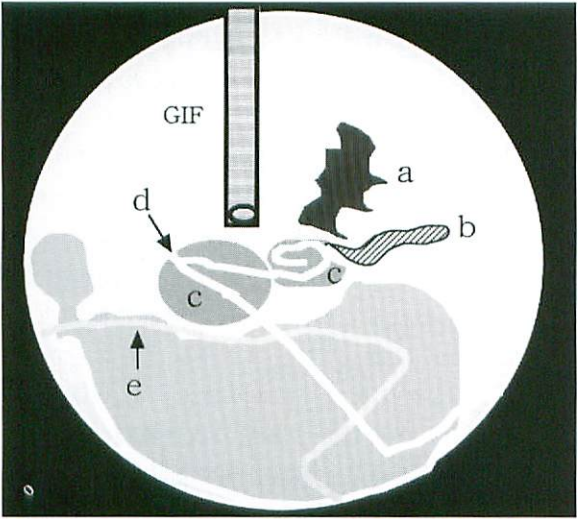


Fig.4b Diagram of fistulography

a; contrast material in cardia of stomach, b; a pncreatic duct, c; pancreatic pseudocyst, d; pig tail catheter for pseudocyst, e; ED tube from gastrostomy

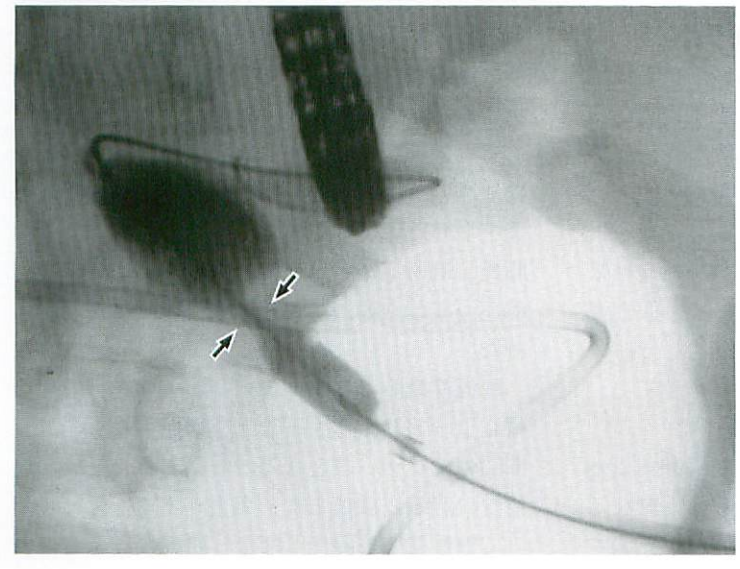


Fig.5 Balloon dilatation of transfixion

Note waist of balloon catheter (arrow) at transfixion of posterior wall of stomach before dilatation,

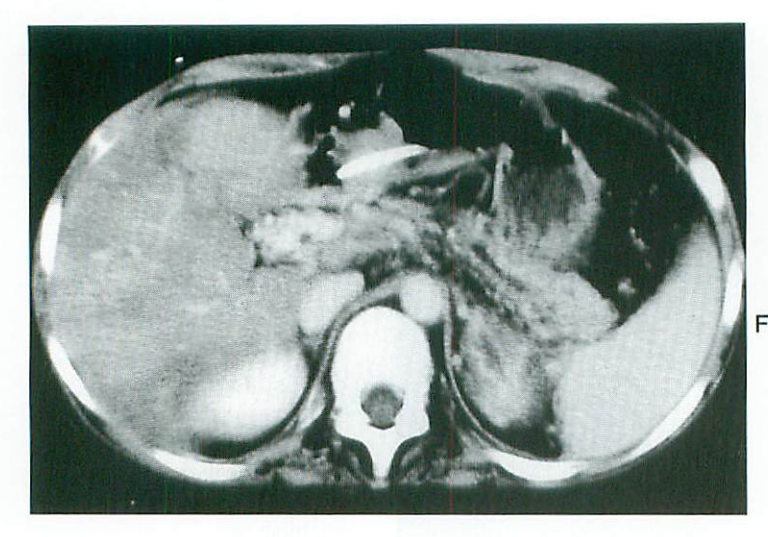


Fig.6 Disapearance of pseudocyst on follow-up CT Previously demonstrated pseudocyst has disappeared on follow-up CT, which was performed 2 months after balloon dilatation.

に、再度全身麻酔下、内視鏡下、CTガイド下に て経皮経胃膵嚢胞ドレナージを施行した. 2回 目の手技は1回目にバルーン拡張術が失敗した ことを踏まえ、穿刺直後のドレナージカテーテ ル留置に先立ちバルーン拡張術を施行した。バ ルーンは10mm径、4 cm長の血管拡張用バルーン (power flex plus, コーディス社製) を使用し, 内視鏡にて位置を確認して10気圧,30秒2回拡 張を行い、その後ピッグテールカテーテルを留 置した. さらにその2週間後に透視下にて嚢胞 と膵管との交通を確認後 (Fig.4) に前回同様 のバルーン (10mm径, 4 cm長, power flex plus, コーディス社製)を使用し、バルーン拡張術を 追加した、バルーンのくびれが消失するように 10気圧, 30秒 2 回施行した (Fig.5). 拡張術施 行後の確認の造影にて注入した造影剤の胃への 良好な流出を認めた. その後3週間ドレナージ チューブをクランプにて留置した後にチューブ を抜去した. 手技の全経過を通じ明らかな合併 症の発現はみられなかった。またバルーン拡張 術施行約2ヵ月後のCT (Fig.6) にて、仮性嚢 胞の再発はみられなかった.

## 考察

小児の急性膵炎の原因として特発性膵炎以外 に外傷,感染症,先天性胆道拡張症,薬剤など による続発性膵炎が挙げられる. 膵炎を惹起す

る薬剤にはステロイド, 抗癌剤, 免疫抑制剤, 利尿剤, 抗けいれん剤などが知られている. 抗 けいれん剤のなかでもバルプロ酸ナトリウム投 与中の膵炎の合併は多数報告されている1,2).

本例も脳炎後のてんかんに対しバルプロ酸ナ トリウム投与の既往はあるが、膵炎発症の約1 年前に投薬を中止されており、その関連性は低 いと思われる。本例は膵炎の発症を前後して、 てんかんに対してフェニトイン(アレビアチン 注)、ミダゾラム (ドルミカム) を、また感染 症に対し多種類かつ多量の抗生物質を使用し, さらに高カロリー輪液管理や脂肪製剤(イント ラファット注)も投与されていた。フェニトイ ンに起因する膵炎の合併は稀と思われるが過去 に数例の症例報告があり3)、脂肪製剤による膵 炎も報告されている4)。また高カロリー輸液に よる過栄養が脂肪肝を惹起し,血液データ上肝 機能異常を認め、CT上肝内の不均一な低吸収 域を呈した可能性も考えられる. 本例における 膵炎, 肝障害の直接的な原因は不明であるが, 前述の薬剤や輸液等に起因する可能性が示唆さ れた

膵仮性嚢胞は経皮的にドレナージを行って治 療しようとしても、膵管と交通があるものは長 期間のドレナージとなることがあり、ときに難 治性の膵液皮膚瘻となる場合がある. また手術 にて仮性嚢胞を除去しても, 再発することが多

く治療に難渋する5). これに対し経皮経胃アプ ローチによる膵嚢胞ドレナージは、たとえ膵管 との交通があり永久的な瘻孔が出来ても,胃の 内腔へ膵液が流出するため膵液皮膚瘻や再発等 を起こしにくい<sup>5)</sup>.

小児の膵仮性嚢胞は約80%は経過観察にて自 然消失すると報告されており6)、Karaguzelら7) は小児膵仮性嚢胞の治療法の第一選択としての 経皮的ドレナージを疑問視し、その適応は感染 を合併したものや再発例に効果的であると述べ ている。彼らは小児の膵仮性嚢胞10例に対し8 例の経皮経胃膵嚢胞ドレナージを,2例に外瘻 や手術的にドレナージを行い、最長15年間の長 期経過観察を報告している。その結果経皮経胃 アプローチは経皮的な直接ドレナージに比し, 入院日数が短く、長期観察において再発例もな く有用な方法であると述べている。 本例は初回 ドレナージに約1ヵ月チューブを留置したにも かかわらず仮性嚢胞が再発し、またドレナージ チューブからの造影にて嚢胞と膵管との交通を 確認したため、2回目は通常の経皮経胃仮性嚢 胞ドレナージに加え、胃後壁の穿通部のバルー ン拡張術を併用した、これはカテーテル周囲の 径路内腔が拡大し、そこを膵液が通ることによ りカテーテル抜去後の閉塞を防ぎ、経路がより 半永久的に保たれるようにするためである8). バルーン拡張は胃後壁と仮性嚢胞が広い範囲で 強固に癒着しており、拡張操作によってもこの 癒着が剥がれないという前提が必要となるが. 山内5) は成人例において、ドレナージチュー ブ留置1週間後に経路が安定した後,週1~2 回拡張し2週間ほどかけて最終的に10~15mm程 度まで径を広げることを推奨している。今回は 成人に比し体格の小さい小児であるため10㎜径 のバルーンを使用した.

本例のような仮性嚢胞の再発が予測される場 合にはバルーン拡張術を併用することで、胃膵 仮性嚢胞瘻が十分に形成され再発予防に有用な

方法と思われた8)。

#### 考 察

脳性麻痺患児にみられた膵炎後の仮性嚢胞に 対し,経皮経胃嚢胞ドレナージを施行した1例 を報告した. 膵炎の原因として薬剤の関与が疑 われたが、確定は困難だった、本例のように膵 管と交通がある場合はバルーン拡張術を併用す ることで胃膵仮性嚢胞瘻が確実となり再発予防 に有用と思われた.

本論文の要旨は第37回日本小児放射線学会(2001 年6月、千葉)において発表した。

#### ●文献

- Levin TL, Berdon WE, Siegel RR, et al: Valproic-acid-asociated pancreatitis and hepatic toxicity in children with endstage renal disease. Pediatr Radiol 1997: 27: 192-193.
- 桃田哲也, 伊藤誠子, 小林 謙, 他:バルプ 口酸ナトリウム投与中に発症した急性膵炎の 1例. 脳と発達 1993; 25: 453-458.
- Sepulveda VAC, Lopez AE, Yanez LP, et al: Sodium diphenlhydantoin as a probable cause of pancreatitis. Rev Gastroentero Mex 1999: 64: 186-189.
- Lashner BA, Kirsner JB, Hanauer SB: Acute pancreatitis associated with high-concentration lipid emulsion during total parenteral nutrition therapy for Crohn's disease. Gastoenterology 1986; 90: 1039-1041.
- 山内栄五郎:膵炎:ドレナージ、消化器病セ  $\xi + 1998; 70:191-203.$
- King LR, Siegel MJ, Balfe DM: Acute pancreatitis in children: CT findings of intra- and extrapancreatic fluid collections. Radiology 1995 ; 195: 196-200.
- Karaguzel G, Senocak ME, Buyukupamukcu N, et al: Surgical management of the pancreatic pseudocyst in children: A long-term evaluation. J Pediatr Surg 1995; 30:777-780.
- 山内栄五郎, 熊野玲子, 池田隆久, 他:CTカ イド下経皮経胃膵仮性嚢胞穿刺・ドレナージ 術. 胆と膵 2001;22:317-322.